



2018年8月20日(月)-24日(金) 千葉大学総合校舎1号館4階情報演習室2  
宇宙磁気流体・プラズマシミュレーションサマーセミナー

# MHD近似リーマン解法

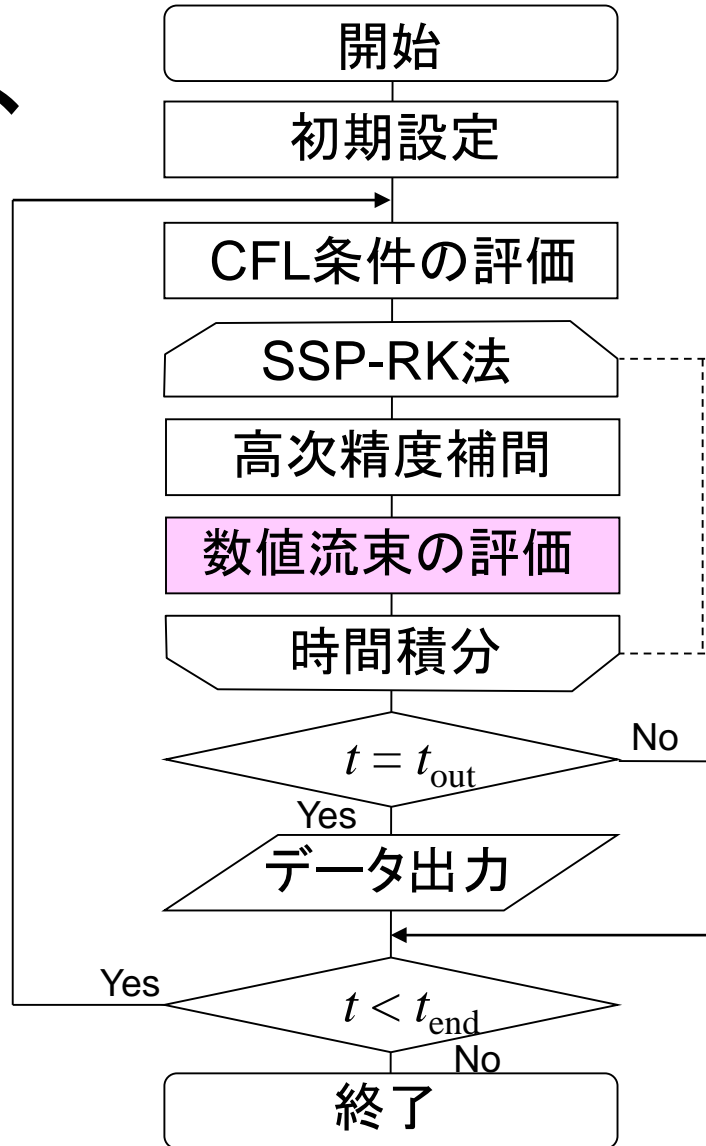
三好 隆博

広島大学大学院理学研究科



# フローチャート

と言っても、

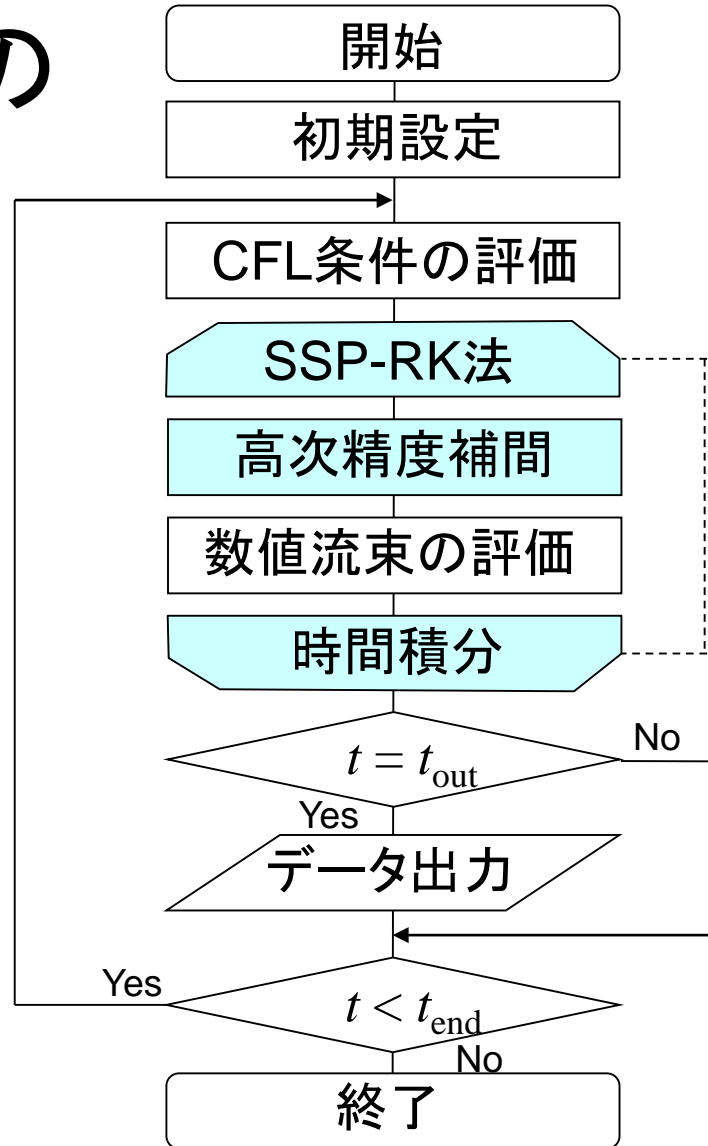


本講義では  
➡ ここだけ！



# フローチャート

飯島先生の  
講義では、



+ 多次元化

おおお、相当大変…



# 内容

- はじめに
- 流れの基礎方程式
- MHD方程式
- 風上型解法の基礎
  - スカラ一方程式の解法
  - システム方程式の解法
- MHD方程式の近似リーマン解法
  - 線形近似リーマン解法
  - HLL型近似リーマン解法
- フローチャート



---

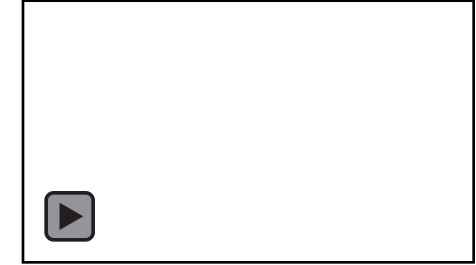
# はじめに



# 流体

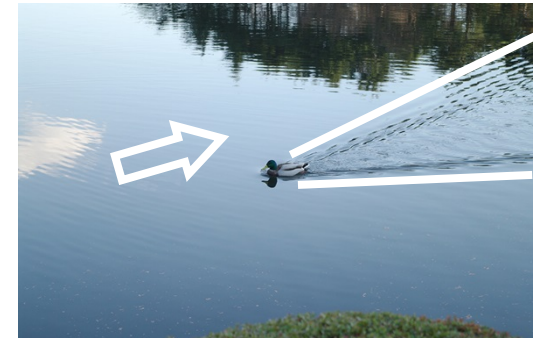
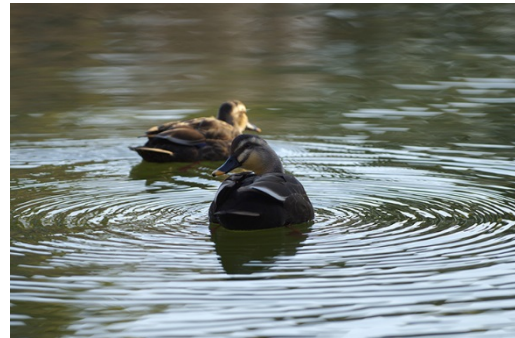
□ 身近な流れは**非圧縮性流体**として非常によく近似

- 縮まない(密度変動が少ない)流れ
- 低マッハ数(流速/音速 < 0.3)流れ
- ただし、音響学分野では音波考慮



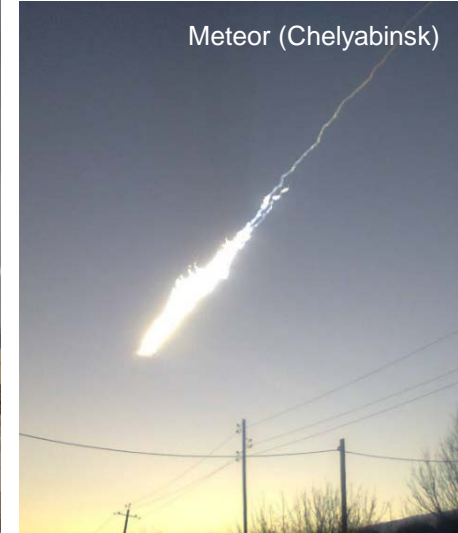
□ 非日常的で極限的な流れでは**圧縮性**が本質的に重要

- 高マッハ数(流速/音速 > 1)流れ
- **衝撃波**



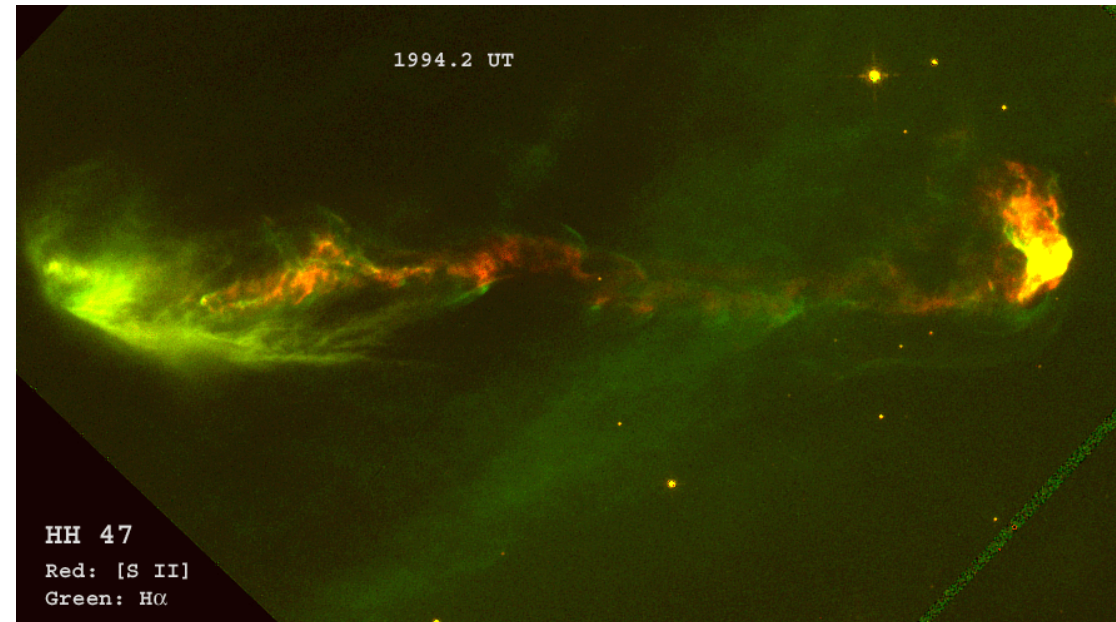
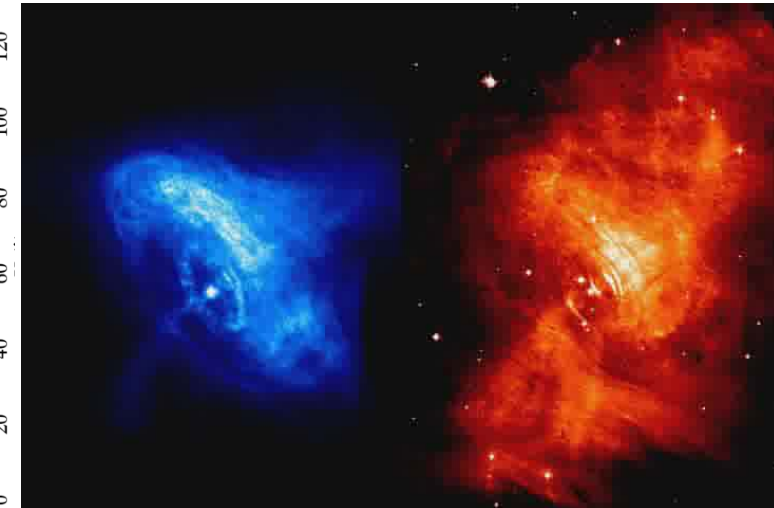
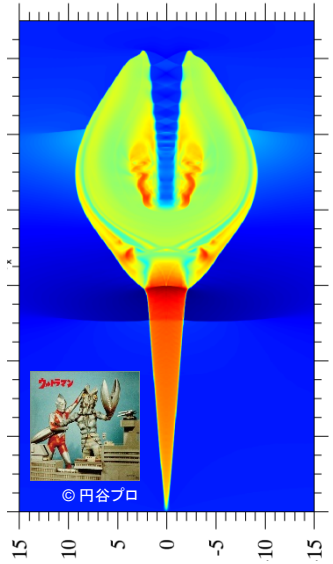
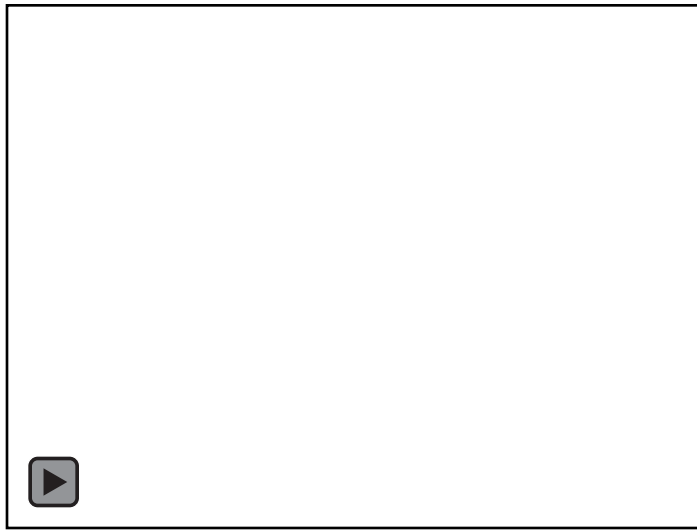


# 地上での衝撃波





# 宇宙流体





# 野望

□ 宇宙流体は圧縮性流体としての取り扱いが不可欠

- 密度・圧力変動が大きい流れ
- 高マッハ数(流速/音速  $>> 1$ )流れ
- 磁場、放射などが流体と非線形相互作用
- 高エネルギー天体周りでは相対論的効果

遍在する磁気流体力学(MHD)的な不連続！

本講義では、不連続解をも恐れぬ  
数值磁気流体力学の猛者を養成



---

# 流れの基礎方程式



# 流れの基礎方程式

## □ 線形移流方程式

$$\frac{\partial u}{\partial t} + a \frac{\partial u}{\partial x} = 0, \quad a = \text{const.}$$

$$\Leftrightarrow \frac{\partial u}{\partial t} + \frac{\partial f}{\partial x} = 0, \quad f \equiv au \quad (\text{保存形式})$$

$a \equiv dx/dt$  とすると、

$$\frac{\partial u}{\partial t} + \frac{dx}{dt} \frac{\partial u}{\partial x} \equiv \frac{du}{dt} = 0, \quad \frac{d}{dt} \equiv \frac{\partial}{\partial t} + \frac{dx}{dt} \frac{\partial}{\partial x}$$

$$\Rightarrow \frac{dx}{dt} = a \text{ に沿って } du = 0$$



# 流れの基礎方程式

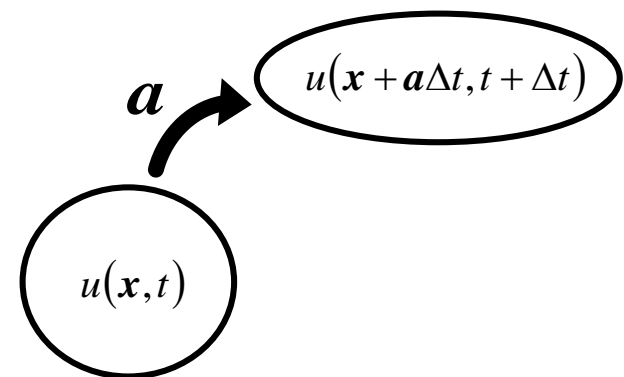
## □ ラグランジュ微分

$$\Delta u = u(x + a\Delta t, t + \Delta t) - u(x, t)$$

$$= u(x, t) + a\Delta t \frac{\partial u}{\partial x} + \Delta t \frac{\partial u}{\partial t} + O(\Delta t^2) - u(x, t)$$

$$= \left( \frac{\partial u}{\partial t} + a \frac{\partial u}{\partial x} \right) \Delta t + O(\Delta t^2)$$

$$\frac{d}{dt} u = \lim_{\Delta t \rightarrow 0} \frac{\Delta u}{\Delta t} = \left( \frac{\partial}{\partial t} + a \frac{\partial}{\partial x} \right) u$$

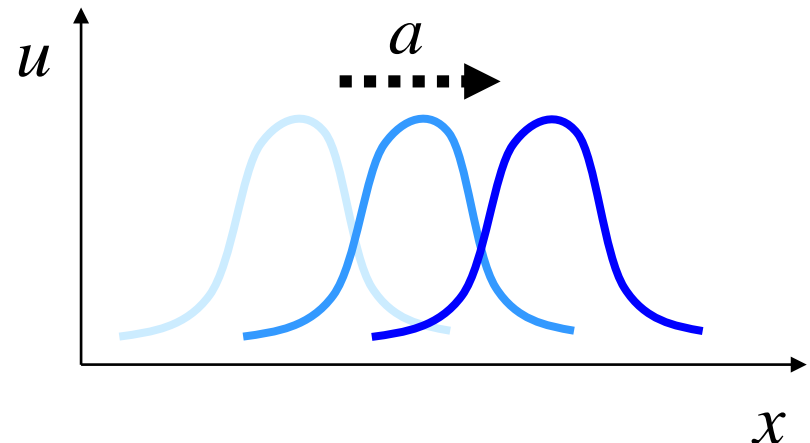
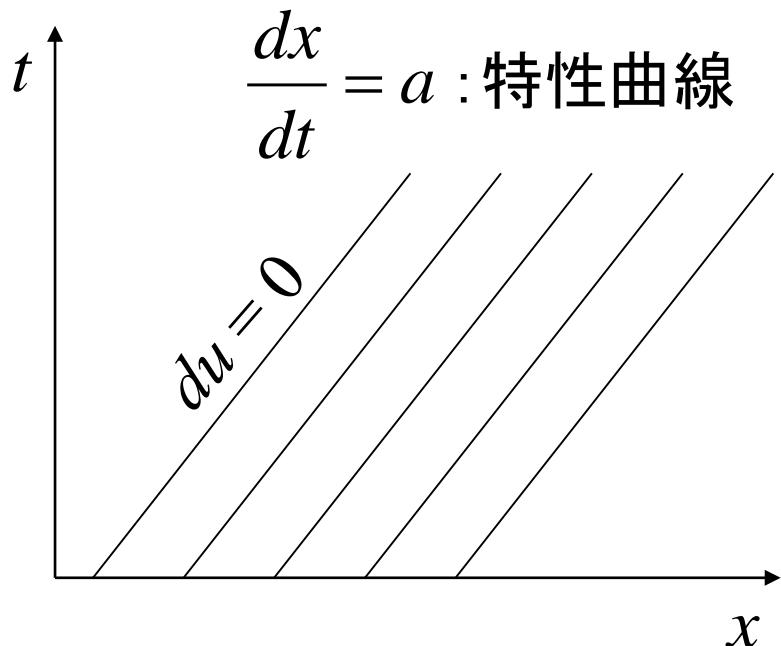




# 流れの基礎方程式

## □ 線形移流方程式

$$\frac{dx}{dt} = a \text{ に沿って } du = 0$$



$$u(x, t) = F(x - at)$$



# 流れの基礎方程式

## □ 非粘性Burgers方程式

$$\frac{\partial u}{\partial t} + u \frac{\partial u}{\partial x} = 0$$

$$\Leftrightarrow \frac{\partial u}{\partial t} + \frac{\partial f}{\partial x} = 0, \quad f \equiv \frac{u^2}{2} \quad (\text{保存形式})$$

$u \equiv dx/dt$  とすると、

$$\frac{\partial u}{\partial t} + \frac{dx}{dt} \frac{\partial u}{\partial x} \equiv \frac{du}{dt} = 0, \quad \frac{d}{dt} \equiv \frac{\partial}{\partial t} + \frac{dx}{dt} \frac{\partial}{\partial x}$$

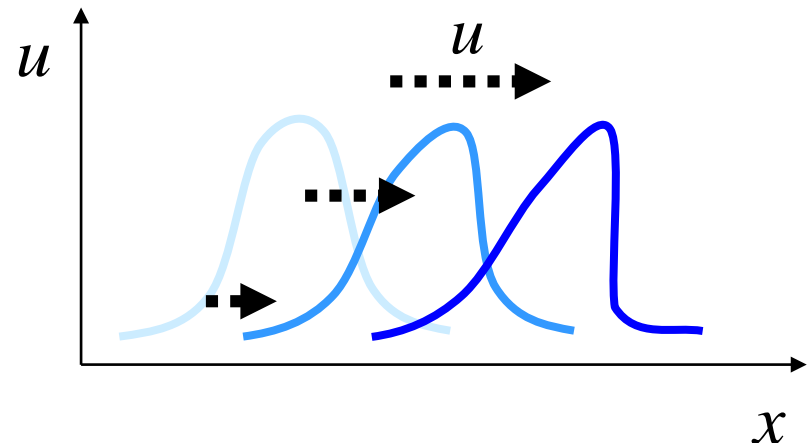
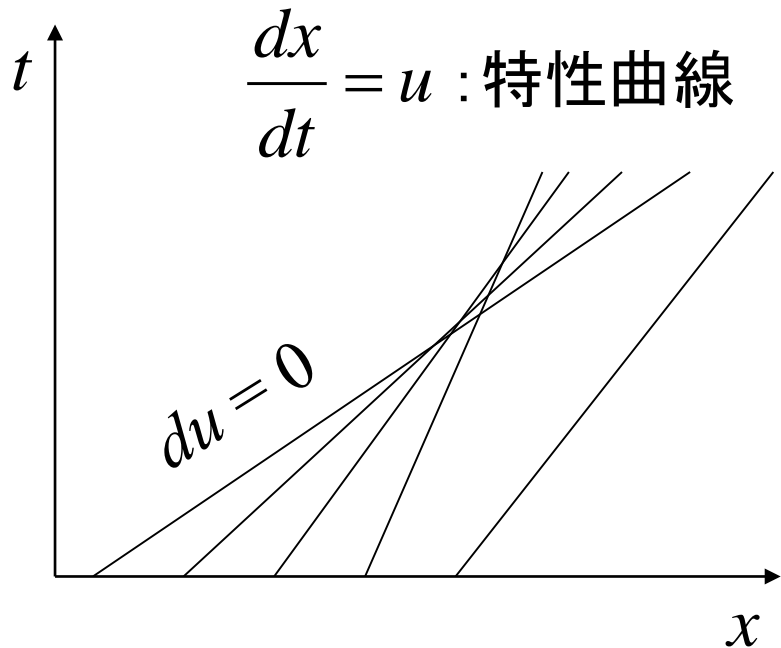
$$\Rightarrow \frac{dx}{dt} = u \text{ に沿って } du = 0$$



# 流れの基礎方程式

## □ 非粘性Burgers方程式

$$\frac{dx}{dt} = u \text{ に沿って } du = 0$$



$$u(x, t) = F(x - ut)$$

解が多価になる場合：  
衝撃波解(弱解)



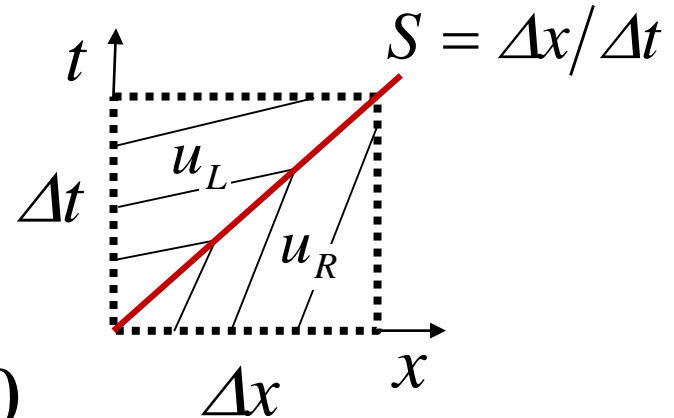
# 流れの基礎方程式

## □ Rankine-Hugoniot関係式

$$\int \left( \frac{\partial u}{\partial t} + \frac{\partial f}{\partial x} \right) dx dt$$

$$= \oint (u dx - f dt)$$

$$= \Delta x (u_L - u_R) + \Delta t (f_R - f_L) = 0$$



$$S[u] = [f], \quad S \equiv \frac{\Delta x}{\Delta t}, \quad [*] \equiv *_R - *_L$$

Burgers方程式の場合:  $S = \frac{u_R^2/2 - u_L^2/2}{u_R - u_L} = \frac{u_R + u_L}{2}$

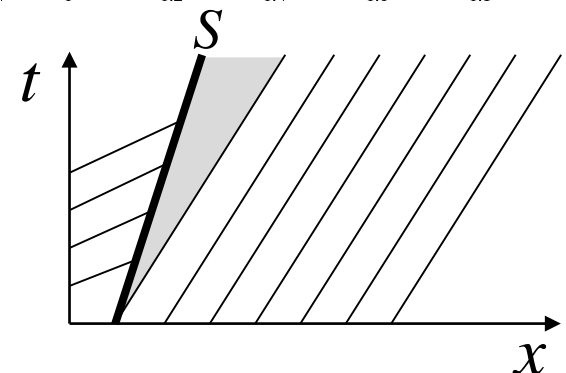
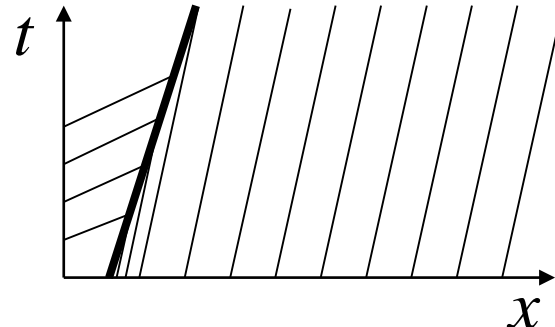
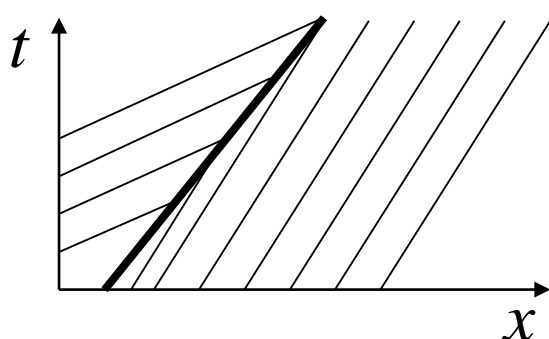
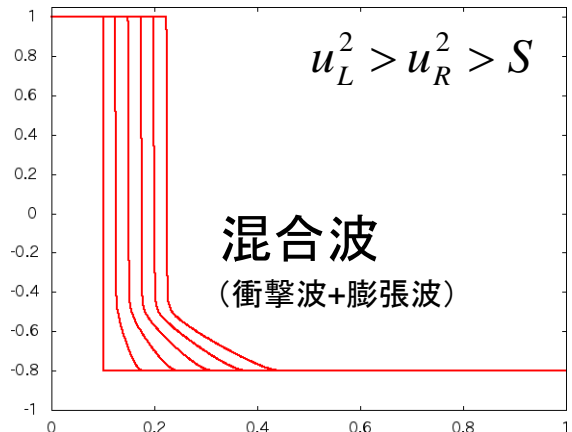
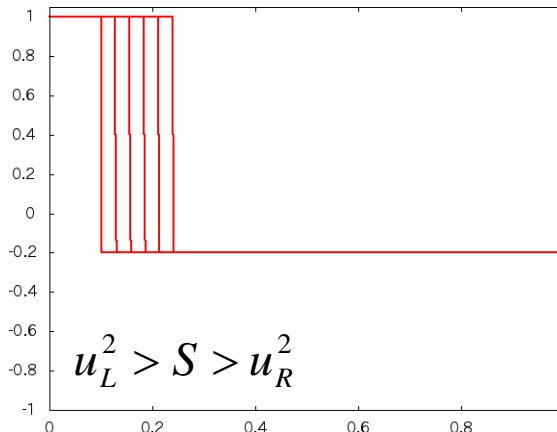
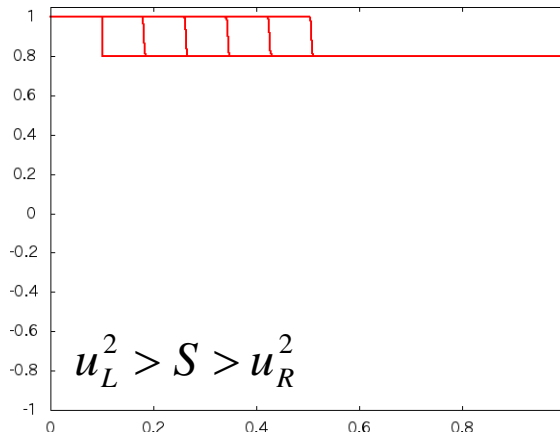


# 流れの基礎方程式

## □ Nonconvexな非線形移流方程式

$$\frac{\partial u}{\partial t} + u^2 \frac{\partial u}{\partial x} = 0 \Leftrightarrow \frac{\partial u}{\partial t} + \frac{\partial f}{\partial x} = 0, f \equiv \frac{u^3}{3}$$

$$S = \frac{u_L^2 + u_L u_R + u_R^2}{3}$$





# 流れの基礎方程式

## □ 双曲型保存則

$$\frac{\partial \mathbf{U}}{\partial t} + \frac{\partial \mathbf{F}}{\partial x} = 0$$

$$\Leftrightarrow \frac{\partial \mathbf{U}}{\partial t} + \mathbf{A} \frac{\partial \mathbf{U}}{\partial x} = 0, \quad \mathbf{A}(\mathbf{U}) = \frac{\partial \mathbf{F}}{\partial \mathbf{U}}$$

$$\Leftrightarrow \mathbf{R}^{-1} \frac{\partial \mathbf{U}}{\partial t} + \mathbf{R}^{-1} \mathbf{A} \mathbf{R} \mathbf{R}^{-1} \frac{\partial \mathbf{U}}{\partial x}$$

$$= \frac{\partial \mathbf{W}}{\partial t} + \mathbf{A} \frac{\partial \mathbf{W}}{\partial x} = 0, \quad d\mathbf{W} = \mathbf{R}^{-1} d\mathbf{U}, \quad \mathbf{A} \mathbf{R} = \mathbf{R} \mathbf{A}$$

$\mathbf{U}$  : 保存変数ベクトル  
 $\mathbf{W}$  : 特性変数ベクトル  
 $\mathbf{F}$  : 流束ベクトル  
 $\mathbf{A}$  : ヤコビアン行列  
 $\mathbf{A}$  : 固有値行列  
 $\mathbf{R}$  : 右固有行列  
 $\mathbf{R}^{-1}$  : 左固有行列

- 独立な実固有値および固有ベクトルを持つとき、  
方程式は**双曲型**



# 流れの基礎方程式

## □ 双曲型保存則

### ■ 線形 $2 \times 2$ 保存則

$$\frac{\partial \mathbf{U}}{\partial t} + \frac{\partial \mathbf{F}}{\partial x} = 0, \quad \mathbf{U} = \begin{pmatrix} u \\ v \end{pmatrix}, \quad \mathbf{F} = \begin{pmatrix} v \\ a^2 u \end{pmatrix}, \quad a = \text{const.} > 0$$

$$\frac{\partial}{\partial t} \begin{pmatrix} u \\ v \end{pmatrix} + \begin{pmatrix} 0 & 1 \\ a^2 & 0 \end{pmatrix} \frac{\partial}{\partial x} \begin{pmatrix} u \\ v \end{pmatrix} = 0$$

$$\mathbf{R} = \begin{pmatrix} 1 & 1 \\ a & -a \end{pmatrix}, \quad \begin{pmatrix} w_1 \\ w_2 \end{pmatrix} = \mathbf{R}^{-1} \begin{pmatrix} u \\ v \end{pmatrix} = \frac{1}{2a} \begin{pmatrix} au + v \\ au - v \end{pmatrix}$$

$$\Rightarrow \frac{\partial}{\partial t} \begin{pmatrix} w_1 \\ w_2 \end{pmatrix} + \begin{pmatrix} a & 0 \\ 0 & -a \end{pmatrix} \frac{\partial}{\partial x} \begin{pmatrix} w_1 \\ w_2 \end{pmatrix} = 0$$



# 流れの基礎方程式

## □ 双曲型保存則

### ■ 等温 Euler 方程式

$$\frac{\partial \mathbf{U}}{\partial t} + \frac{\partial \mathbf{F}}{\partial x} = 0, \quad \mathbf{U} = \begin{pmatrix} \rho \\ \rho u \end{pmatrix}, \quad \mathbf{F} = \begin{pmatrix} \rho u \\ \rho u^2 + \rho a^2 \end{pmatrix}, \quad a = \text{const.} > 0$$

$$\frac{\partial}{\partial t} \begin{pmatrix} \rho \\ u \end{pmatrix} + \begin{pmatrix} u & \rho \\ a^2/\rho & u \end{pmatrix} \frac{\partial}{\partial x} \begin{pmatrix} \rho \\ u \end{pmatrix} = 0$$

$$\mathbf{R} = \begin{pmatrix} \rho & \rho \\ a & -a \end{pmatrix}, \quad \begin{pmatrix} w_1 \\ w_2 \end{pmatrix} = \mathbf{R}^{-1} \begin{pmatrix} \rho \\ u \end{pmatrix} = \frac{1}{2a} \begin{pmatrix} a+u \\ a-u \end{pmatrix}$$

$$\Rightarrow \frac{\partial}{\partial t} \begin{pmatrix} w_1 \\ w_2 \end{pmatrix} + \begin{pmatrix} u+a & 0 \\ 0 & u-a \end{pmatrix} \frac{\partial}{\partial x} \begin{pmatrix} w_1 \\ w_2 \end{pmatrix} = 0$$



# 流れの基礎方程式

## □ 双曲型保存則

$$\frac{\partial \mathbf{W}}{\partial t} + \mathbf{A} \frac{\partial \mathbf{W}}{\partial x} = 0, \quad d\mathbf{W} = \mathbf{R}^{-1} d\mathbf{U}$$

$$\frac{\partial}{\partial t} \begin{pmatrix} w_1 \\ w_2 \\ \vdots \\ w_m \end{pmatrix} + \begin{pmatrix} \lambda_1 & 0 & \cdots & 0 \\ 0 & \lambda_2 & & \vdots \\ \vdots & & \ddots & 0 \\ 0 & \cdots & 0 & \lambda_m \end{pmatrix} \frac{\partial}{\partial x} \begin{pmatrix} w_1 \\ w_2 \\ \vdots \\ w_m \end{pmatrix} = 0$$

$$dx/dt = \lambda_k \text{ に沿って } dw_k = 0$$

■ 一般には連立非線形移流方程式



# MHD方程式



# MHD方程式

## □ Euler方程式 + ローレンツ力 + 磁場の誘導方程式

$$\frac{\partial \rho}{\partial t} + \nabla \cdot (\rho \mathbf{v}) = 0 \quad \dots \text{ 連続の式}$$

$$\rho \left( \frac{\partial \mathbf{v}}{\partial t} + \mathbf{v} \cdot \nabla \mathbf{v} \right) = -\nabla p + \mathbf{J} \times \mathbf{B} \quad \dots \text{ 運動方程式}$$

$$\frac{\partial}{\partial t} \left( \frac{p}{\rho^\gamma} \right) + \mathbf{v} \cdot \nabla \left( \frac{p}{\rho^\gamma} \right) = 0 \quad \dots \text{ 断熱の式}$$

$$\frac{\partial \mathbf{B}}{\partial t} - \nabla \times (\mathbf{v} \times \mathbf{B}) = 0, \quad \nabla \cdot \mathbf{B} = 0 \quad \dots \text{ 磁場の誘導方程式}$$

■ 流体と磁場の相互作用を支配



# MHD方程式

## □ 保存形式

$$\frac{\partial \rho}{\partial t} + \nabla \cdot (\rho \mathbf{v}) = 0 \quad \cdots \text{ 質量保存則}$$

$$\frac{\partial(\rho \mathbf{v})}{\partial t} + \nabla \cdot (\rho \mathbf{v} \mathbf{v} + p_T \mathbf{I} - \mathbf{B} \mathbf{B}) = 0 \quad \cdots \text{ 運動量保存則}$$

$$\frac{\partial e}{\partial t} + \nabla \cdot [(e + p_T) \mathbf{v} - \mathbf{B}(\mathbf{v} \cdot \mathbf{B})] = 0 \quad \cdots \text{ エネルギー保存則}$$

$$\frac{\partial \mathbf{B}}{\partial t} + \nabla \cdot (\mathbf{v} \mathbf{B} - \mathbf{B} \mathbf{v}) = 0 \quad \cdots \text{ 磁束保存則}$$

$$\nabla \cdot \mathbf{B} = 0, \quad p = (\gamma - 1) \left( e - \frac{\rho \mathbf{v}^2}{2} - \frac{\mathbf{B}^2}{2} \right), \quad p_T = p + \frac{\mathbf{B}^2}{2}$$



# MHD方程式

## □ 1次元MHD方程式

$$\frac{\partial \mathbf{U}}{\partial t} + \frac{\partial \mathbf{F}}{\partial x} = 0, \quad B_x = \text{const.},$$

$$\mathbf{U} = \begin{pmatrix} \rho \\ \rho u \\ \rho v \\ \rho w \\ B_y \\ B_z \\ e \end{pmatrix}, \quad \mathbf{F} = \begin{pmatrix} \rho u \\ \rho uu + p_T - B_x^2 \\ \rho vu - B_x B_y \\ \rho wu - B_x B_z \\ B_y u - B_x v \\ B_z u - B_x w \\ (e + p_T)u - B_x(uB_x + vB_y + wB_z) \end{pmatrix}$$



# MHD方程式

## □ 1次元MHD方程式

$$\frac{\partial \mathbf{U}}{\partial t} + \frac{\partial \mathbf{F}}{\partial x} = \frac{\partial \mathbf{U}}{\partial t} + \mathbf{A} \frac{\partial \mathbf{U}}{\partial x} = 0, \quad \mathbf{A} \equiv \frac{\partial \mathbf{F}}{\partial \mathbf{U}}$$

### ■ $\mathbf{A}$ の固有値(特性速度)

$$\mathbf{A}\mathbf{R} = \mathbf{R}\mathbf{A}, \quad \mathbf{A} = \text{diag}(\lambda_1, \lambda_2, \dots, \lambda_7)$$

$$\begin{aligned} \lambda_1 &= u - c_f \leq \lambda_2 = u - c_a \leq \lambda_3 = u - c_s \leq \lambda_4 = u \\ &\leq \lambda_5 = u + c_s \leq \lambda_6 = u + c_a \leq \lambda_7 = u + c_f \end{aligned}$$

$$\mathbf{b} = \mathbf{B}/\sqrt{\rho}, \quad c_a^2 = b_x^2, \quad a^2 = \gamma p/\rho,$$

$$c_{f,s}^2 = \frac{1}{2} \left( a^2 + b^2 \pm \sqrt{(a^2 + b^2)^2 - 4a^2 b_x^2} \right)$$

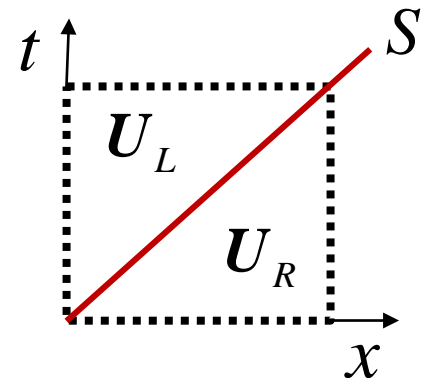
固有ベクトルは大変難しい…  
また後で



# MHD方程式

## □ MHD方程式の不連続解

$$\int \left( \frac{\partial \mathbf{U}}{\partial t} + \frac{\partial \mathbf{F}}{\partial x} \right) dx dt = \oint (\mathbf{U} dx - \mathbf{F} dt) = 0 \\ \Rightarrow S[\mathbf{U}] = [\mathbf{F}]$$



不連続にのった系 ( $S = 0$ ) :

$[\mathbf{F}] = 0, [\mathbf{u}] \neq 0$  (速進/遅進衝撃波)

$[\rho] = [p] = [B_y^2 + B_z^2] = 0, \pm \sqrt{\rho} [\mathbf{v}] = [B_y], \pm \sqrt{\rho} [\mathbf{w}] = [B_z]$   
(回転不連続)

$[\mathbf{v}] = [\mathbf{w}] = [B_y] = [B_z] = [p] = 0, B_x \neq 0$  (接触不連続)

$[p + (B_y^2 + B_z^2)/2] = 0, B_x = 0$  (接線不連続)



---

# 風上型解法の基礎



# 風上型解法の基礎

- 双曲型保存則の解法
- 双曲型保存則のおさらい

$$\frac{\partial \mathbf{U}}{\partial t} + \frac{\partial \mathbf{F}}{\partial x} = \frac{\partial \mathbf{U}}{\partial t} + A \frac{\partial \mathbf{U}}{\partial x} = 0, \quad A = \frac{\partial \mathbf{F}}{\partial \mathbf{U}}$$

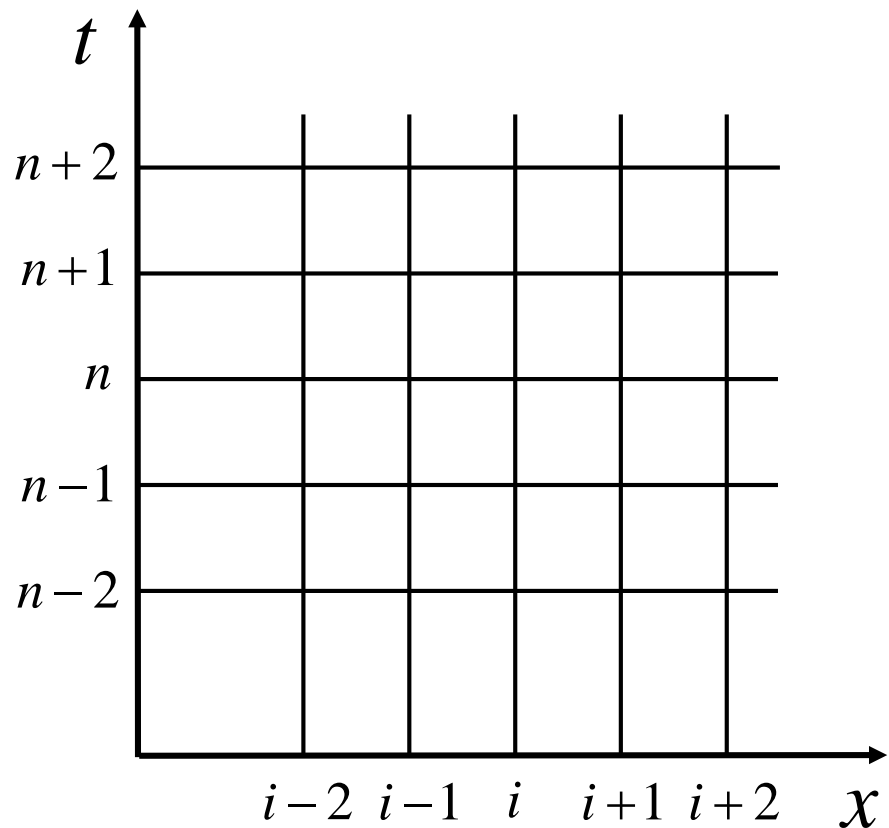
$A$ が独立な実固有値をもつとき双曲型

- 線形移流方程式
  - 非粘性Burgers方程式
  - Euler方程式
  - MHD方程式
- など
- スカラ一方程式
- システム方程式

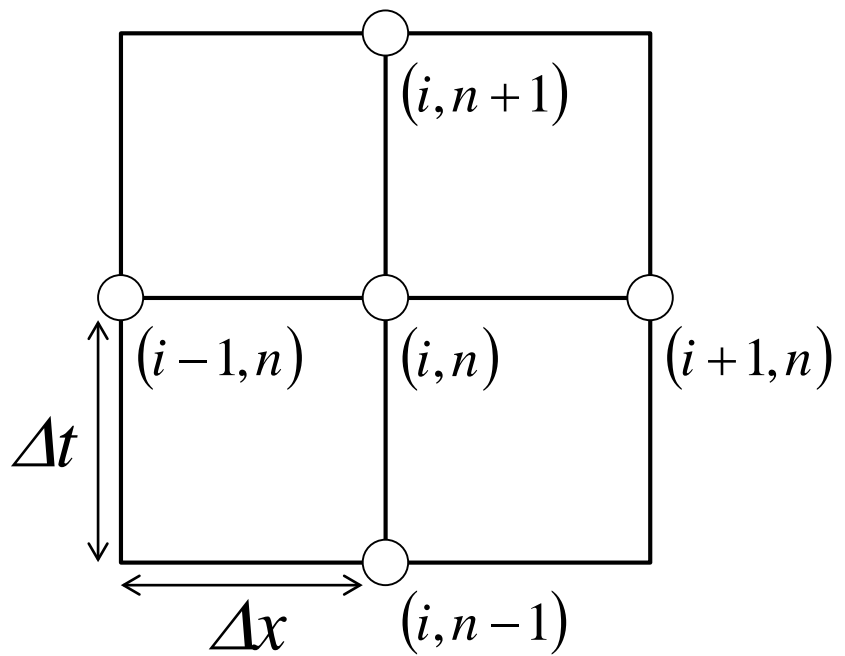


# 話を進めるその前に

## □ 時間・空間座標および変数の離散表記法



$$x_i, t^n, u_i^n = u(x_i, t^n)$$



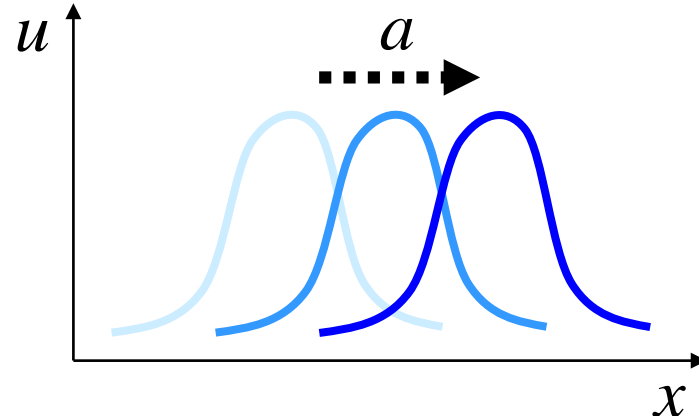


# スカラー方程式の解法

## □ 線形移流方程式

$$\frac{\partial u}{\partial t} + a \frac{\partial u}{\partial x} = 0, \quad a = \text{const.}$$

$$\Rightarrow u(x, t) = u(x - at, 0)$$



## ■ 風上差分法

$$\frac{u_i^{n+1} - u_i^n}{\Delta t} + a \frac{u_i^n - u_{i-1}^n}{\Delta x} = 0, \quad a > 0$$

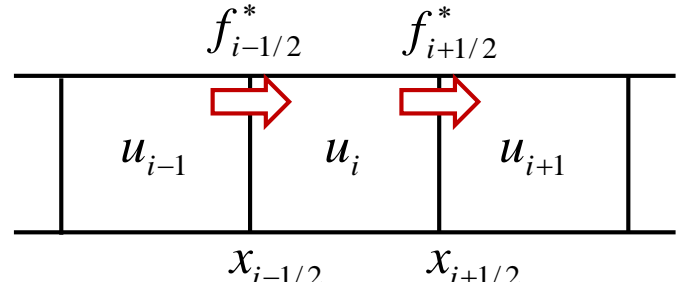


# スカラー方程式の解法

## □ 線形移流方程式の保存型解法

$$\frac{\partial u}{\partial t} + \frac{\partial f}{\partial x} = 0, \quad f = au$$

$$\frac{u_i^{n+1} - u_i^n}{\Delta t} + \frac{f_{i+1/2}^* - f_{i-1/2}^*}{\Delta x} = 0$$

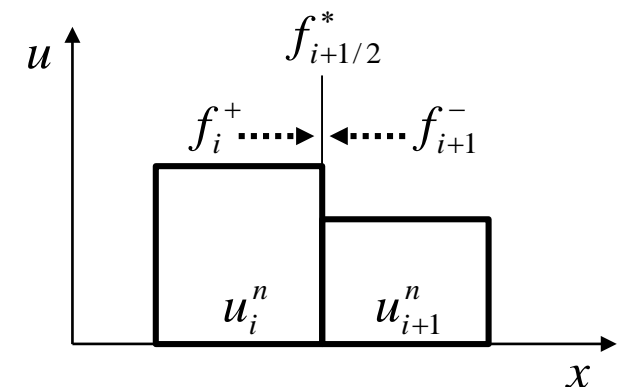


$f_{i+1/2}^*$  : 数値流束

## ■ 流束ベクトル分離法(FVS法)

$$f = f^+ + f^-, \quad \frac{\partial f^+}{\partial u} \geq 0, \quad \frac{\partial f^-}{\partial u} \leq 0$$

$$\Rightarrow f_{i+1/2}^* = f_i^+ + f_{i+1}^-$$



$$f^\pm = \frac{a \pm |a|}{2} u \Rightarrow f_{i+1/2}^* = \frac{a}{2} \left( u_{i+1}^n + u_i^n \right) - \frac{|a|}{2} \left( u_{i+1}^n - u_i^n \right)$$

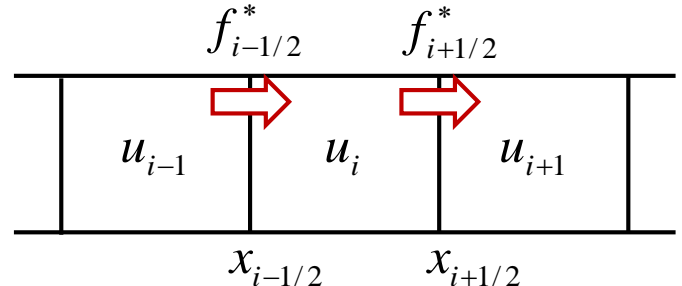


# スカラー方程式の解法

## □ 線形移流方程式の保存型解法

$$\frac{\partial u}{\partial t} + \frac{\partial f}{\partial x} = 0, \quad f = au$$

$$\frac{u_i^{n+1} - u_i^n}{\Delta t} + \frac{f_{i+1/2}^* - f_{i-1/2}^*}{\Delta x} = 0$$



$f_{i+1/2}^*$  : 数値流束

## ■ 流束ベクトル分離法(FVS法)

$$f = f^+ + f^-, \quad \frac{\partial f^+}{\partial u} \geq 0, \quad \frac{\partial f^-}{\partial u} \leq 0$$

$$\Rightarrow f_{i+1/2}^* = f_i^+ + f_{i+1}^-$$

Lax法

$$f^\pm = \frac{a \pm \Delta t / \Delta x}{2} u \Rightarrow f_{i+1/2}^* = \frac{a}{2} \left( u_{i+1}^n + u_i^n \right) - \frac{\Delta t}{2 \Delta x} \left( u_{i+1}^n - u_i^n \right)$$

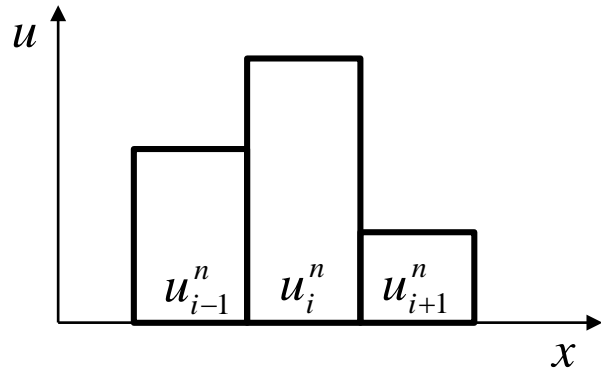


# スカラー方程式の解法

## □ 線形移流方程式の保存型解法

### ■ リーマン解法(Godunov法)

□リーマン問題=衝撃波管問題を利用



リーマン解法の手順:

1. 区分定数分布を仮定

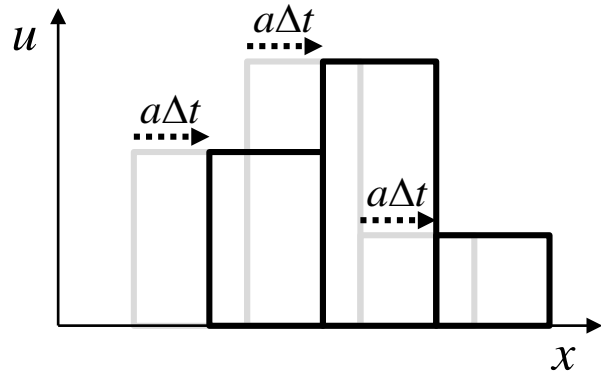


# スカラー方程式の解法

## □ 線形移流方程式の保存型解法

### ■ リーマン解法(Godunov法)

□リーマン問題=衝撃波管問題を利用



リーマン解法の手順:

1. 区分定数分布を仮定
2. 移流方程式の厳密解

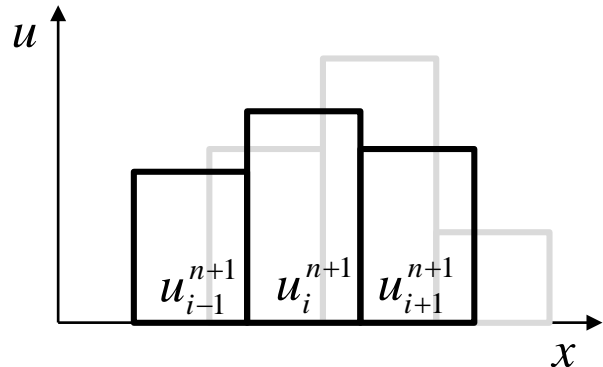


# スカラー方程式の解法

## □ 線形移流方程式の保存型解法

### ■ リーマン解法(Godunov法)

□リーマン問題=衝撃波管問題を利用



リーマン解法の手順:

1. 区分定数分布を仮定
2. 移流方程式の厳密解
3. 厳密解の空間平均値

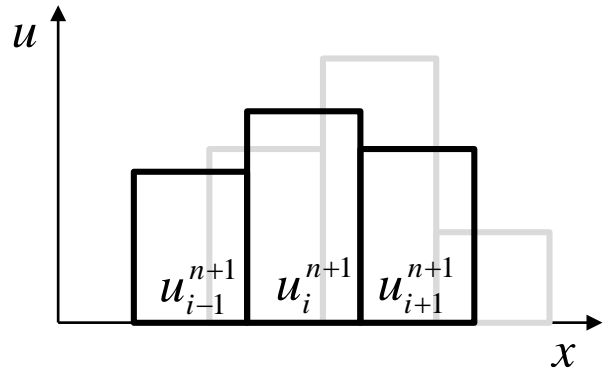


# スカラー方程式の解法

## □ 線形移流方程式の保存型解法

### ■ リーマン解法(Godunov法)

□リーマン問題=衝撃波管問題を利用



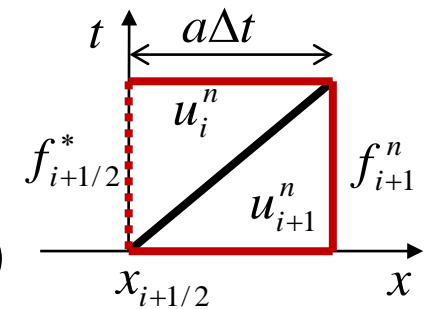
リーマン解法の手順:

1. 区分定数分布を仮定
2. 移流方程式の厳密解
3. 厳密解の空間平均値

## □数値流束

$$\int \left( \frac{\partial u}{\partial t} + \frac{\partial f}{\partial x} \right) dx dt = 0$$

$$\Rightarrow a\Delta t(u_i^n - u_{i+1}^n) + \Delta t(f_{i+1}^n - f_{i+1/2}^*) = 0, \quad a > 0$$





# スカラーフラクタル方程式の解法

## □ 線形移流方程式の解法

### ■ 風上差分法

$$u_i^{n+1} = u_i^n - a \frac{\Delta t}{\Delta x} (u_i^n - u_{i-1}^n), \quad a > 0$$

### ■ 流束ベクトル分離法

$$u_i^{n+1} = u_i^n - \frac{\Delta t}{\Delta x} (f_{i+1/2}^* - f_{i-1/2}^*), \quad f_{i+1/2}^* = a u_i^n, \quad a > 0$$

### ■ リーマン解法

$$u_i^{n+1} = \frac{a \Delta t}{\Delta x} u_{i-1}^n + \frac{\Delta x - a \Delta t}{\Delta x} u_i^n, \quad a > 0$$

全て同じ解法に帰着(でも、思想は異なる)



# スカラー方程式の解法

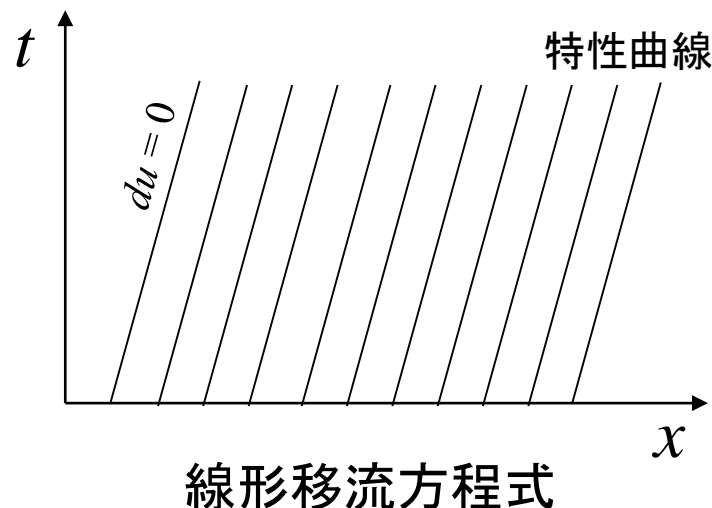
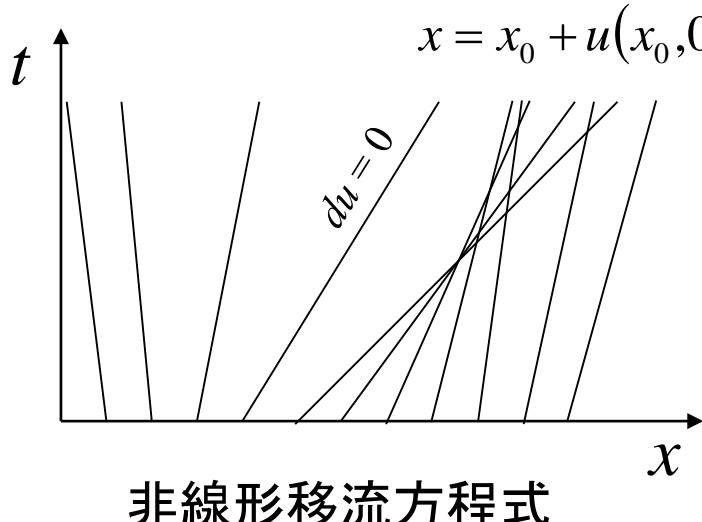
## □ 非線形移流方程式

$$\frac{\partial u}{\partial t} + \frac{\partial f}{\partial x} = 0 \Leftrightarrow \frac{\partial u}{\partial t} + a(u) \frac{\partial u}{\partial x} = 0, \quad a(u) = \frac{\partial f}{\partial u}$$

保存形式

非保存形式

$$\frac{dx}{dt} = a(u) \text{ に沿って } du = 0 \Rightarrow u(x, t) = u(x - a(u)t, 0)$$

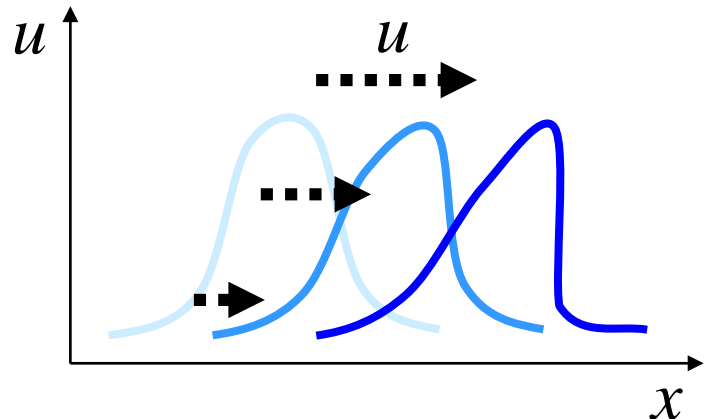




# スカラー方程式の解法

## □ 非粘性Burgers方程式の解法

$$\frac{\partial u}{\partial t} + \frac{\partial}{\partial x} \left( \frac{u^2}{2} \right) = 0 \Leftrightarrow \frac{\partial u}{\partial t} + u \frac{\partial u}{\partial x} = 0$$



## ■ 風上差分法(非保存形式)

$$\frac{u_i^{n+1} - u_i^n}{\Delta t} + u_i^n \frac{u_i^n - u_{i-1}^n}{\Delta x} = 0 \quad \text{for } u_i^n > 0$$

$$\frac{u_i^{n+1} - u_i^n}{\Delta t} + u_i^n \frac{u_{i+1}^n - u_i^n}{\Delta x} = 0 \quad \text{for } u_i^n < 0$$

$$\Rightarrow \frac{u_i^{n+1} - u_i^n}{\Delta t} + u_i^n \frac{u_{i+1}^n - u_{i-1}^n}{2\Delta x} = \frac{|u_i^n|}{2\Delta x} (u_{i+1}^n - 2u_i^n + u_{i-1}^n)$$



# スカラー方程式の解法

## □ 非粘性Burgers方程式の解法

$$\frac{\partial u}{\partial t} + \frac{\partial}{\partial x} \left( \frac{u^2}{2} \right) = 0 \Leftrightarrow \frac{\partial u}{\partial t} + u \frac{\partial u}{\partial x} = 0$$

## ■ 流速ベクトル分離法

$$\frac{u_i^{n+1} - u_i^n}{\Delta t} + \frac{f_{i+1/2}^* - f_{i-1/2}^*}{\Delta x} = 0$$

$$f_{i+1/2}^* = f_i^+ + f_{i+1}^-, \quad f^\pm = \frac{u(u \pm |u|)}{4}$$

$$\Rightarrow f_{i+1/2}^* = \frac{f_{i+1}^n + f_i^n}{2} - \frac{1}{4} \left( |u_{i+1}^n| u_{i+1}^n - |u_i^n| u_i^n \right)$$

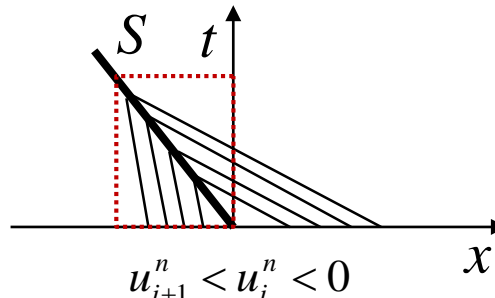
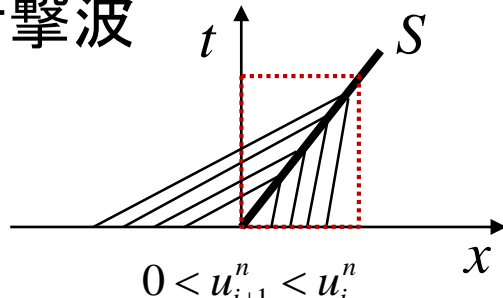


# スカラー方程式の解法

## □ 非粘性Burgers方程式の解法

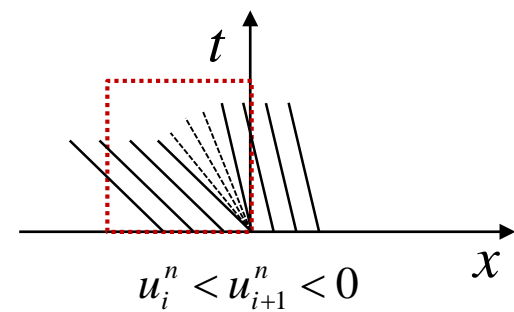
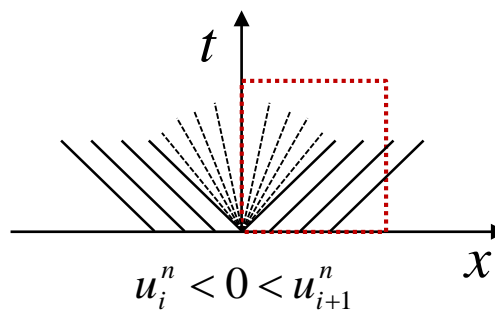
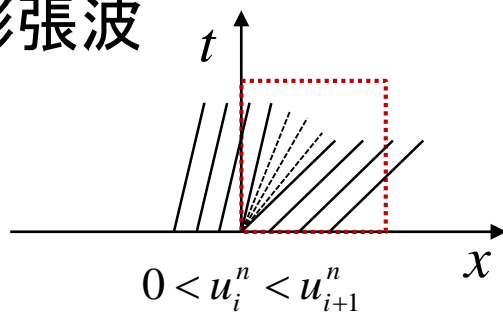
### ■ 衝撃波管問題

衝撃波



$$S = \frac{f_{i+1} - f_i}{u_{i+1} - u_i}$$
$$= \frac{u_{i+1} + u_i}{2}$$

膨張波





# スカラー方程式の解法

## □ 非粘性Burgers方程式の解法

$$\frac{\partial u}{\partial t} + \frac{\partial}{\partial x} \left( \frac{u^2}{2} \right) = 0 \Leftrightarrow \frac{\partial u}{\partial t} + u \frac{\partial u}{\partial x} = 0$$

### ■ リーマン解法

$$\frac{u_i^{n+1} - u_i^n}{\Delta t} + \frac{f_{i+1/2}^* - f_{i-1/2}^*}{\Delta x} = 0$$

$$f_{i+1/2}^* = \begin{cases} \left(u_i^n\right)^2/2 & \text{if } u_i^n > 0, u_{i+1}^n > 0 \\ \left(u_{i+1}^n\right)^2/2 & \text{if } u_i^n < 0, u_{i+1}^n < 0 \\ 0 & \text{if } u_i^n < 0 < u_{i+1}^n \\ \left(u_i^n\right)^2/2 & \text{if } u_i^n > 0 > u_{i+1}^n, S_{i+1/2} > 0 \\ \left(u_{i+1}^n\right)^2/2 & \text{if } u_i^n > 0 > u_{i+1}^n, S_{i+1/2} < 0 \end{cases}$$



# スカラー方程式の解法

## □ 非粘性Burgers方程式の解法

$$\frac{\partial u}{\partial t} + \frac{\partial}{\partial x} \left( \frac{u^2}{2} \right) = 0 \Leftrightarrow \frac{\partial u}{\partial t} + u \frac{\partial u}{\partial x} = 0$$

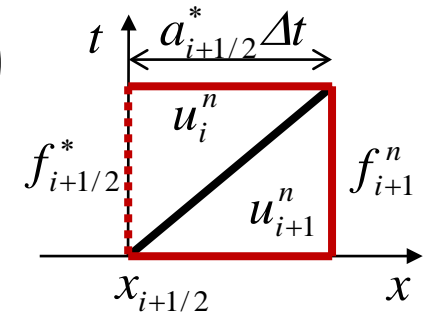
## ■ 線形近似リーマン解法(Roe法)

□ 局所的に線形化 ⇒ 膨張波を無視

$$\frac{u_i^{n+1} - u_i^n}{\Delta t} + \frac{f_{i+1/2}^* - f_{i-1/2}^*}{\Delta x} = 0$$

$$\Rightarrow f_{i+1/2}^* = \frac{f_{i+1}^n + f_{i+1}^n}{2} - \frac{|a_{i+1/2}^*|}{2} (u_{i+1}^n - u_i^n)$$

$$a_{i+1/2}^* = \frac{f_{i+1}^n - f_i^n}{u_{i+1}^n - u_i^n} = \frac{u_{i+1}^n + u_i^n}{2}$$

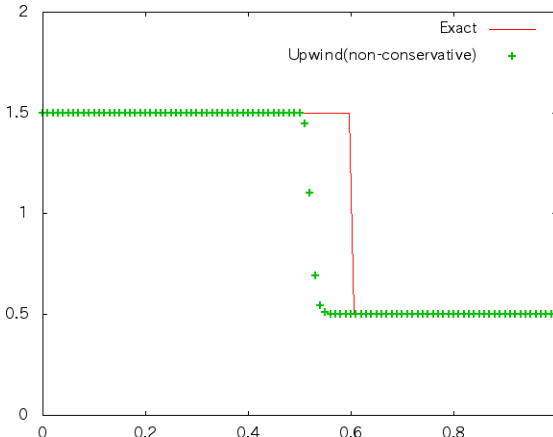




# スカラー方程式の解法

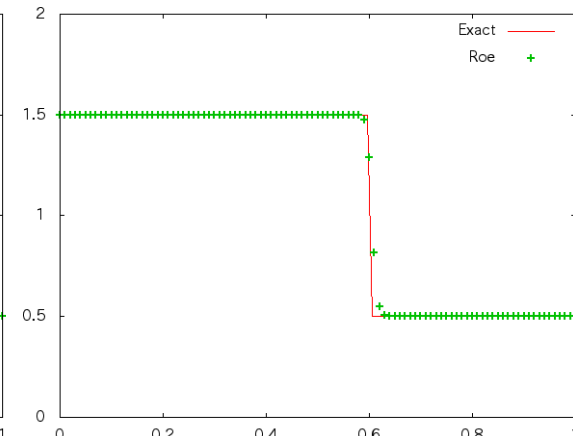
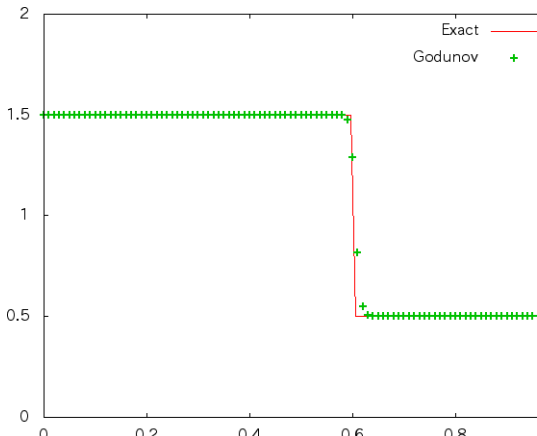
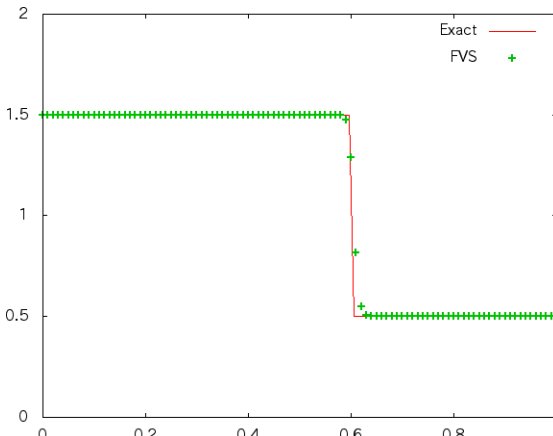
## □ 非粘性Burgers方程式の解法

### 非保存型解法



$$u(x,0) = \begin{cases} 1.5 & \text{for } x < 0.1 \\ 0.5 & \text{for } x \geq 0.1 \end{cases}$$

### 保存型解法

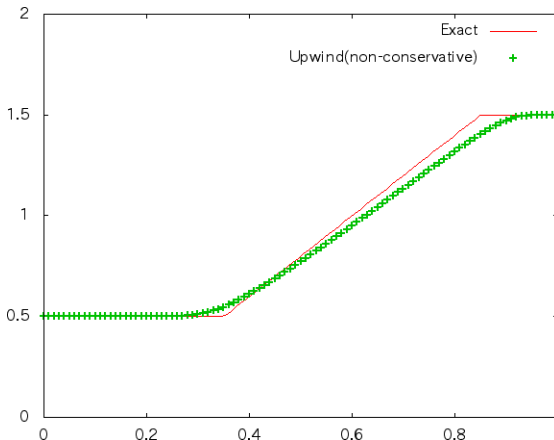




# スカラー方程式の解法

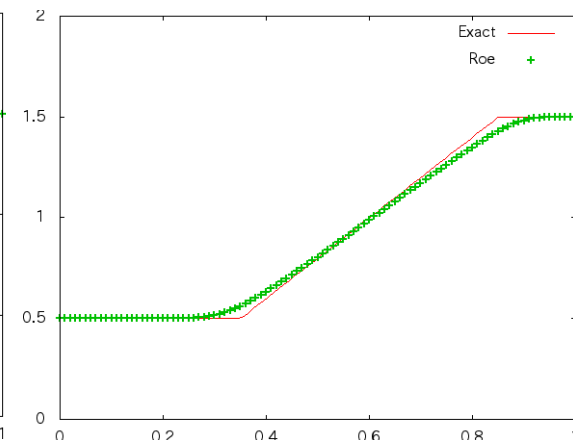
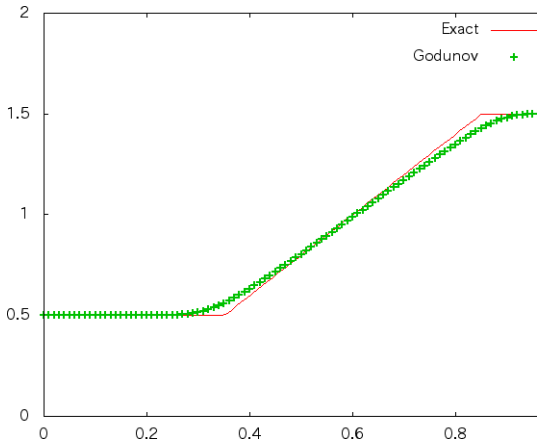
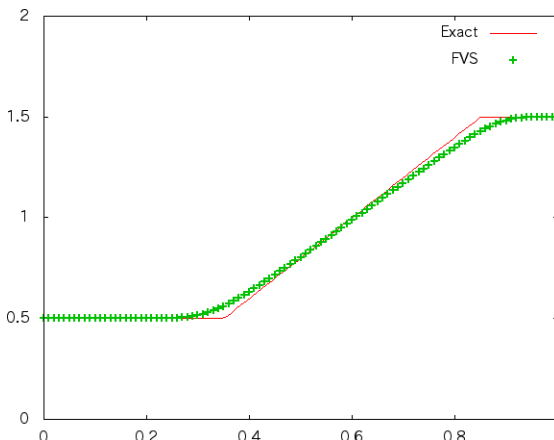
## □ 非粘性Burgers方程式の解法

### 非保存型解法



$$u(x,0) = \begin{cases} 0.5 & \text{for } x < 0.1 \\ 1.5 & \text{for } x \geq 0.1 \end{cases}$$

### 保存型解法





# スカラーフラクタル方程式の解法

## □ 保存型解法

- Lax-Wendroffの定理[1960]

数値解が収束すれば、その解は保存則の弱解に収束する

- Hartenのエントロピー条件[1980]

数値解がエントロピー条件を満足し、収束すれば、その解は保存則の物理解に収束する

## □ 非保存型解法

- Hou-LeFlochの定理[1994]

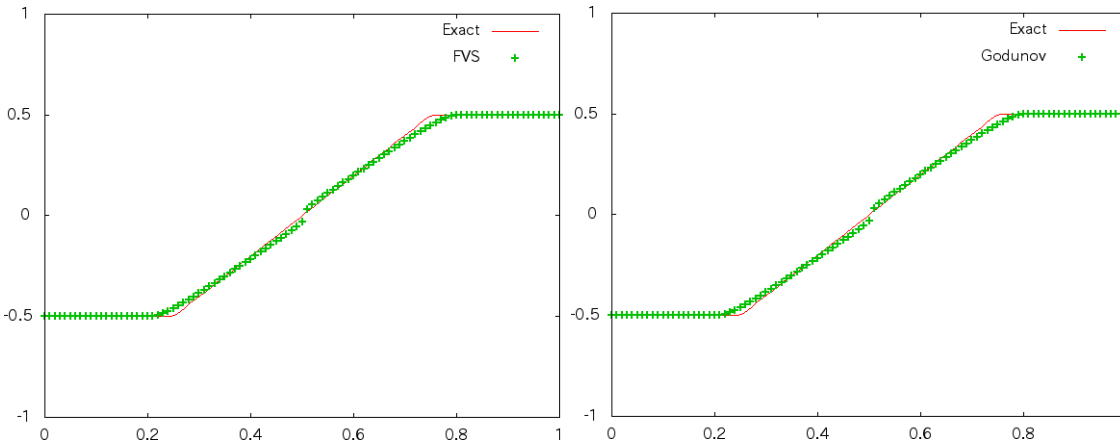
数値解が収束したとしても、衝撃波を含むその解は非物理解に収束する



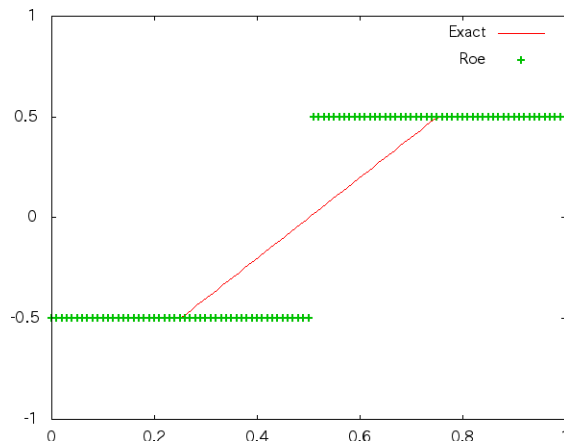
# スカラー方程式の解法

## □ 非粘性Burgers方程式の解法

FVS法/Godunov法



Roe法



$$u(x,0) = \begin{cases} -0.5 & \text{for } x < 0.5 \\ 0.5 & \text{for } x \geq 0.5 \end{cases}$$

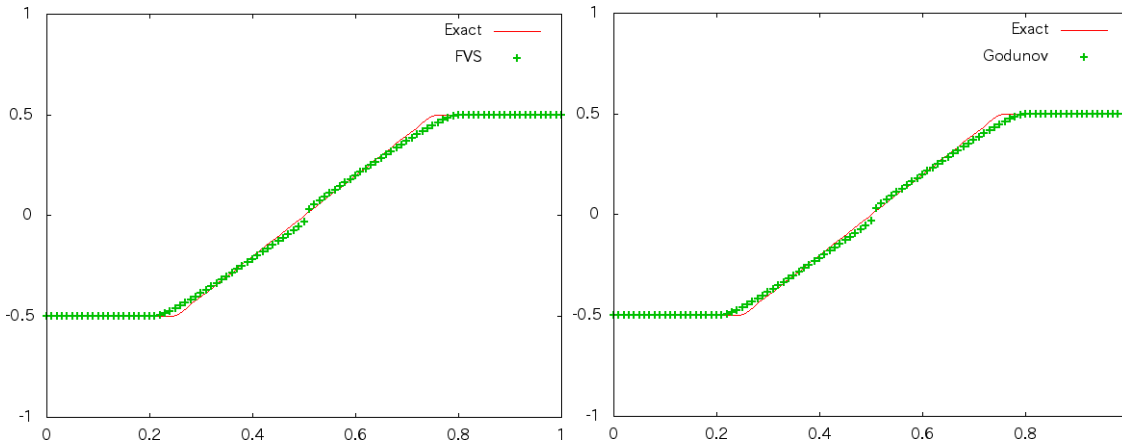
局所線形化により膨張衝撃波  
→エントロピー補正



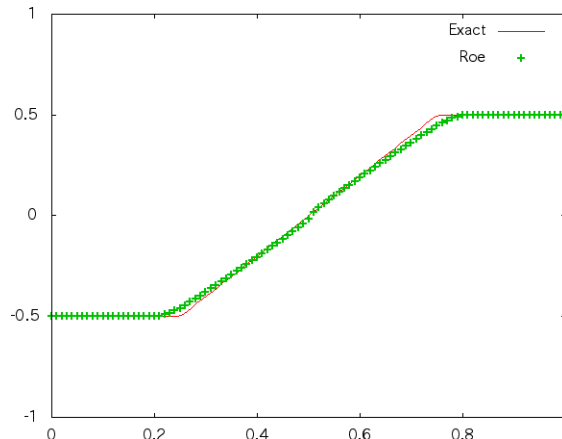
# スカラー方程式の解法

## □ 非粘性Burgers方程式の解法

FVS法/Godunov法



Roe法 + エントロピー補正



様々な補正法があるが、ここでは、

$$|a_{i+1/2}^*| = \begin{cases} |a_{i+1/2}^*| + (a_{i+1}^n - a_i^n)/2 & \text{if } a_i^n < 0 < a_{i+1}^n \\ |a_{i+1/2}^*| & \text{otherwise} \end{cases}$$



# システム方程式の解法

## □ 双曲型保存則

$$\frac{\partial \mathbf{U}}{\partial t} + \frac{\partial \mathbf{F}}{\partial x} = 0$$

$$\begin{aligned}\Leftrightarrow \mathbf{R}^{-1} \left( \frac{\partial \mathbf{U}}{\partial t} + \frac{\partial \mathbf{F}}{\partial x} \right) &= \mathbf{R}^{-1} \left( \frac{\partial \mathbf{U}}{\partial t} + \mathbf{A} \frac{\partial \mathbf{U}}{\partial x} \right) \\ &= \mathbf{R}^{-1} \frac{\partial \mathbf{U}}{\partial t} + \mathbf{R}^{-1} \mathbf{A} \mathbf{R} \mathbf{R}^{-1} \frac{\partial \mathbf{U}}{\partial x} = \frac{\partial \mathbf{W}}{\partial t} + \mathbf{A} \frac{\partial \mathbf{W}}{\partial x} = 0\end{aligned}$$

■ “連立”非線形移流方程式  
⇒ スカラ一方程式の解法の拡張

$$du \leftrightarrow d\mathbf{W} = \mathbf{R}^{-1} d\mathbf{U}$$

$$df \leftrightarrow \mathbf{R}^{-1} d\mathbf{F}$$



# システム方程式の解法

## □ 線形双曲型保存則の解法

$$\frac{\partial \mathbf{U}}{\partial t} + \frac{\partial \mathbf{F}}{\partial x} = \frac{\partial \mathbf{U}}{\partial t} + A \frac{\partial \mathbf{U}}{\partial x} = 0, \quad \mathbf{F} = \mathbf{A} \mathbf{U}, \quad A = \text{const.}$$

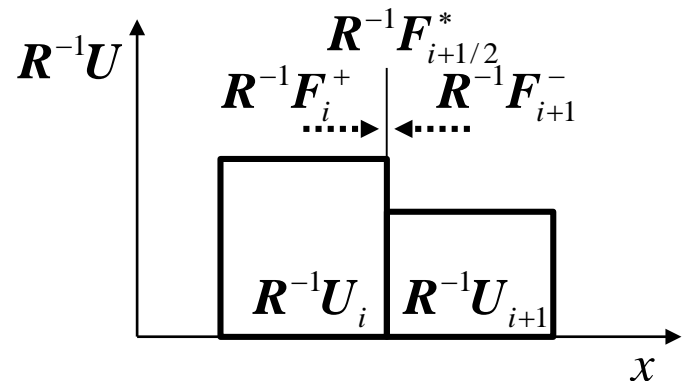
### ■ FVS法

$$\mathbf{R}^{-1} \mathbf{F}^{\pm} = \frac{1}{2} (\mathbf{R}^{-1} \mathbf{F} \pm |A| \mathbf{R}^{-1} \mathbf{U})$$

$$\mathbf{R}^{-1} \mathbf{F}_{i+1/2}^* = \mathbf{R}^{-1} \mathbf{F}_i^+ + \mathbf{R}^{-1} \mathbf{F}_{i+1}^-$$

$$= \frac{\mathbf{R}^{-1} \mathbf{F}_{i+1} + \mathbf{R}^{-1} \mathbf{F}_i}{2} - \frac{1}{2} (|A| \mathbf{R}^{-1} \mathbf{U}_{i+1} - |A| \mathbf{R}^{-1} \mathbf{U}_i)$$

$$\mathbf{F}_{i+1/2}^* = \frac{\mathbf{F}_{i+1} + \mathbf{F}_i}{2} - \frac{1}{2} (|A| \mathbf{U}_{i+1} - |A| \mathbf{U}_i), \quad |A| \equiv \mathbf{R} |A| \mathbf{R}^{-1}$$



もう時間方向のnはやめますね…



# システム方程式の解法

## □ 線形双曲型保存則の解法

$$\frac{\partial \mathbf{U}}{\partial t} + \frac{\partial \mathbf{F}}{\partial x} = \frac{\partial \mathbf{U}}{\partial t} + A \frac{\partial \mathbf{U}}{\partial x} = 0, \quad \mathbf{F} = \mathbf{A} \mathbf{U}, \quad A = \text{const.}$$

### ■ リーマン解法

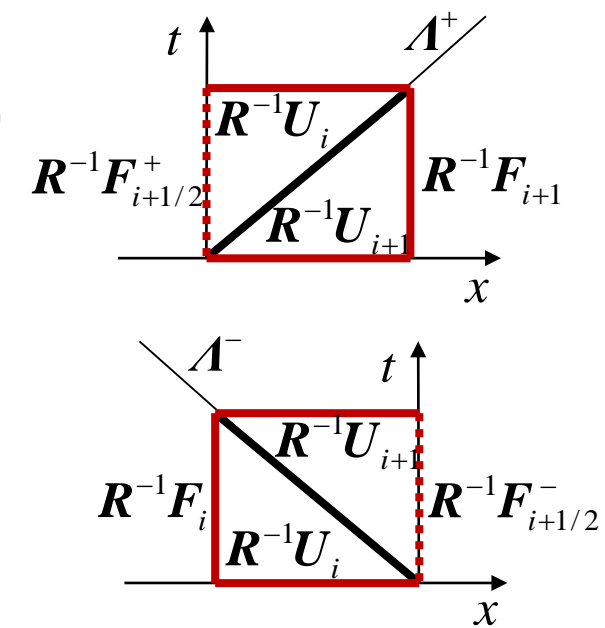
$$\mathbf{R}^{-1} \mathbf{F}_{i+1/2}^+ = \mathbf{R}^{-1} \mathbf{F}_{i+1} - A^+ (\mathbf{R}^{-1} \mathbf{U}_{i+1} - \mathbf{R}^{-1} \mathbf{U}_i)$$

$$\mathbf{R}^{-1} \mathbf{F}_{i+1/2}^- = \mathbf{R}^{-1} \mathbf{F}_i + A^- (\mathbf{R}^{-1} \mathbf{U}_{i+1} - \mathbf{R}^{-1} \mathbf{U}_i)$$

ここで  $A^\pm \equiv (A \pm |A|)/2$

$$\mathbf{R}^{-1} \mathbf{F}_{i+1/2}^* = \frac{1}{2} (\mathbf{R}^{-1} \mathbf{F}_{i+1/2}^+ + \mathbf{R}^{-1} \mathbf{F}_{i+1/2}^-)$$

$$\mathbf{F}_{i+1/2}^* = \frac{\mathbf{F}_{i+1} + \mathbf{F}_i}{2} - \frac{|A|}{2} (\mathbf{U}_{i+1} - \mathbf{U}_i), \quad |A| \equiv \mathbf{R} |A| \mathbf{R}^{-1}$$





# システム方程式の解法

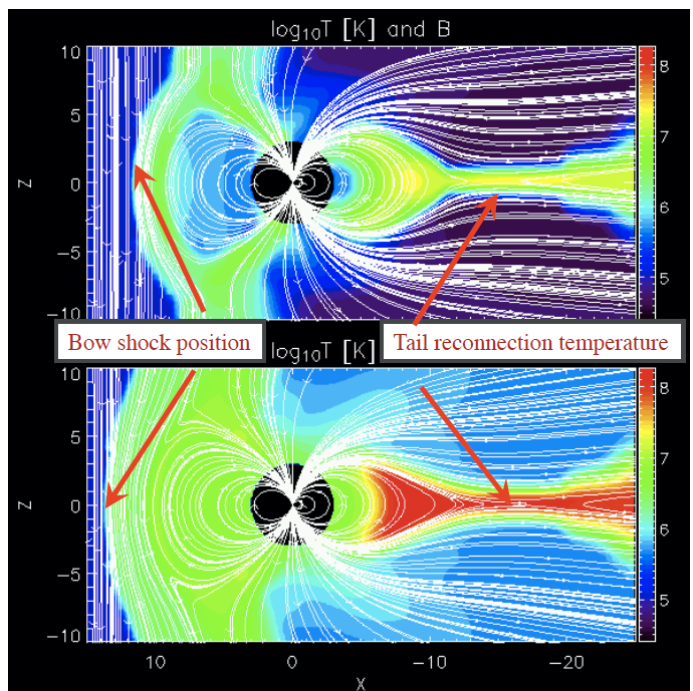
## □ 非線形双曲型保存則の解法

$$\frac{\partial \mathbf{U}}{\partial t} + \frac{\partial \mathbf{F}}{\partial x} = \frac{\partial \mathbf{U}}{\partial t} + \mathbf{A} \frac{\partial \mathbf{U}}{\partial x} = 0, \quad \mathbf{A}(\mathbf{U}) = \frac{\partial \mathbf{F}}{\partial \mathbf{U}}$$

### ■ 非保存型解法

数値解が収束したとしても、  
不連続解を含む問題では、  
非物理的な解に収束

Conservative vs Non-conservative





# システム方程式の解法

## □ 非線形双曲型保存則の解法

$$\frac{\partial \mathbf{U}}{\partial t} + \frac{\partial \mathbf{F}}{\partial x} = \frac{\partial \mathbf{U}}{\partial t} + \mathbf{A} \frac{\partial \mathbf{U}}{\partial x} = 0, \quad \mathbf{A}(\mathbf{U}) = \frac{\partial \mathbf{F}}{\partial \mathbf{U}}$$

■ FVS法 [e.g., Steger+, 1981; van Leer, 1991]

一般にはFVS法が適用できるとは限らない  
でも、たまたまEuler方程式では、

$$\mathbf{F} = \mathbf{A} \mathbf{U}$$

なので、線形方程式のFVS法と同様に、

$$\mathbf{F}_{i+1/2}^* = \frac{\mathbf{F}_{i+1} + \mathbf{F}_i}{2} - \frac{1}{2} \left( |\mathbf{A}|_{i+1} \mathbf{U}_{i+1} - |\mathbf{A}|_i \mathbf{U}_i \right)$$

でも、MHD方程式ではだめ



# システム方程式の解法

## □ 非線形双曲型保存則の解法

$$\frac{\partial \mathbf{U}}{\partial t} + \frac{\partial \mathbf{F}}{\partial x} = \frac{\partial \mathbf{U}}{\partial t} + \mathbf{A} \frac{\partial \mathbf{U}}{\partial x} = 0, \quad \mathbf{A}(\mathbf{U}) = \frac{\partial \mathbf{F}}{\partial \mathbf{U}}$$

■ FVS法 [e.g., Steger+, 1981; van Leer, 1991]  
あ、でも、なんでも使える簡単なFVS法が！

$$\mathbf{F} = \mathbf{F}^+ + \mathbf{F}^-, \quad \mathbf{F}^\pm = (1/2) \left( \mathbf{F} \pm |\lambda|_{\max} \mathbf{U} \right)$$

なぜなら、

$$2\mathbf{R}^{-1} \left( \partial \mathbf{F}^\pm / \partial \mathbf{U} \right) \mathbf{R} = \mathbf{R}^{-1} \left( \mathbf{A} \pm |\lambda|_{\max} \mathbf{I} \right) \mathbf{R} = \mathbf{A} \pm |\lambda|_{\max} \mathbf{I}$$

なので、

local Lax-Friedrichs法

$$\mathbf{F}_{i+1/2}^* = \frac{\mathbf{F}_{i+1} + \mathbf{F}_i}{2} - \frac{1}{2} \left( |\lambda|_{\max_{i+1}} \mathbf{U}_{i+1} - |\lambda|_{\max_i} \mathbf{U}_i \right)$$



# システム方程式の解法

## □ 非線形双曲型保存則の解法

$$\frac{\partial \mathbf{U}}{\partial t} + \frac{\partial \mathbf{F}}{\partial x} = \frac{\partial \mathbf{U}}{\partial t} + \mathbf{A} \frac{\partial \mathbf{U}}{\partial x} = 0, \quad \mathbf{A}(\mathbf{U}) = \frac{\partial \mathbf{F}}{\partial \mathbf{U}}$$

### ■ リーマン解法(Godunov法) [Godunov,1959]

これは中々大変

衝撃波管問題の厳密解(衝撃波、膨張波、混合波の組合せ)を求めるには繰り返し計算が必要  
しかも方程式ごとにアルゴリズムを考えねば…  
という労力にも関わらず、FVS法や近似リーマン解法と精度は変わらなかつたでしょ？



# システム方程式の解法

## □ 非線形双曲型保存則の解法

$$\frac{\partial \mathbf{U}}{\partial t} + \frac{\partial \mathbf{F}}{\partial x} = \frac{\partial \mathbf{U}}{\partial t} + \mathbf{A} \frac{\partial \mathbf{U}}{\partial x} = 0, \quad \mathbf{A}(\mathbf{U}) = \frac{\partial \mathbf{F}}{\partial \mathbf{U}}$$

### ■ 線形近似リーマン解法(Roe法) [Roe,1981]

局所的に線形化  $\Rightarrow$  局所的に $A$ を凍結

$$\mathbf{F}_{i+1/2}^* = \frac{\mathbf{F}_{i+1} + \mathbf{F}_i}{2} - \frac{|\overline{\mathbf{A}}(\mathbf{U}_{i+1}, \mathbf{U}_i)|}{2} (\mathbf{U}_{i+1} - \mathbf{U}_i)$$

Property  $\mathbf{U}$

1.  $\mathbf{U}_i, \mathbf{U}_{i+1} \rightarrow \mathbf{U} \Rightarrow \overline{\mathbf{A}}(\mathbf{U}_i, \mathbf{U}_{i+1}) \rightarrow \mathbf{A}$
2.  $\mathbf{F}_{i+1} - \mathbf{F}_i = \overline{\mathbf{A}}(\mathbf{U}_{i+1}, \mathbf{U}_i)(\mathbf{U}_{i+1} - \mathbf{U}_i)$
3. 実固有値、線形独立な固有ベクトル



# システム方程式の解法

## □ 非線形双曲型保存則の解法

$$\frac{\partial \mathbf{U}}{\partial t} + \frac{\partial \mathbf{F}}{\partial x} = \frac{\partial \mathbf{U}}{\partial t} + \mathbf{A} \frac{\partial \mathbf{U}}{\partial x} = 0, \quad \mathbf{A}(\mathbf{U}) = \frac{\partial \mathbf{F}}{\partial \mathbf{U}}$$

### ■ HLL型近似リーマン解法 [Harten+, 1983]

HLL法、HLLC法、HLLD法など割りとお手軽  
この後すぐ！お楽しみに！



# MHD方程式の 近似リーマン解法

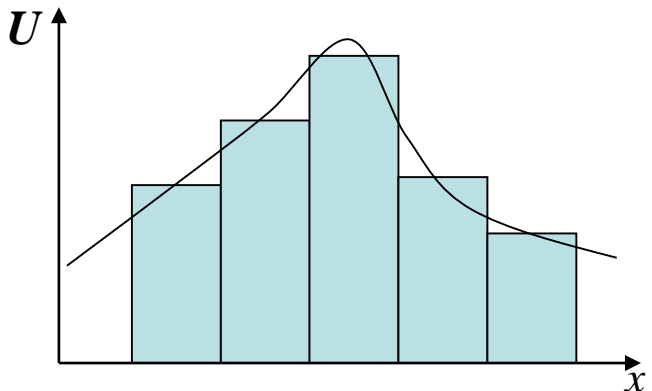


# まだ間に合う！近似リーマン解法

## □ 近似リーマン解法

$$\iint \left( \frac{\partial U}{\partial t} + \frac{\partial F}{\partial x} \right) dx dt = \oint (U dx - F dt) = 0$$

## ■ 物理量を区分定数分布



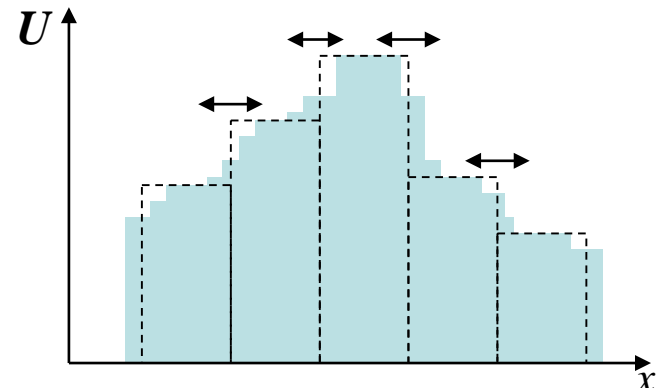


# まだ間に合う！近似リーマン解法

## □ 近似リーマン解法

$$\iint \left( \frac{\partial \mathbf{U}}{\partial t} + \frac{\partial \mathbf{F}}{\partial x} \right) dx dt = \oint (\mathbf{U} dx - \mathbf{F} dt) = 0$$

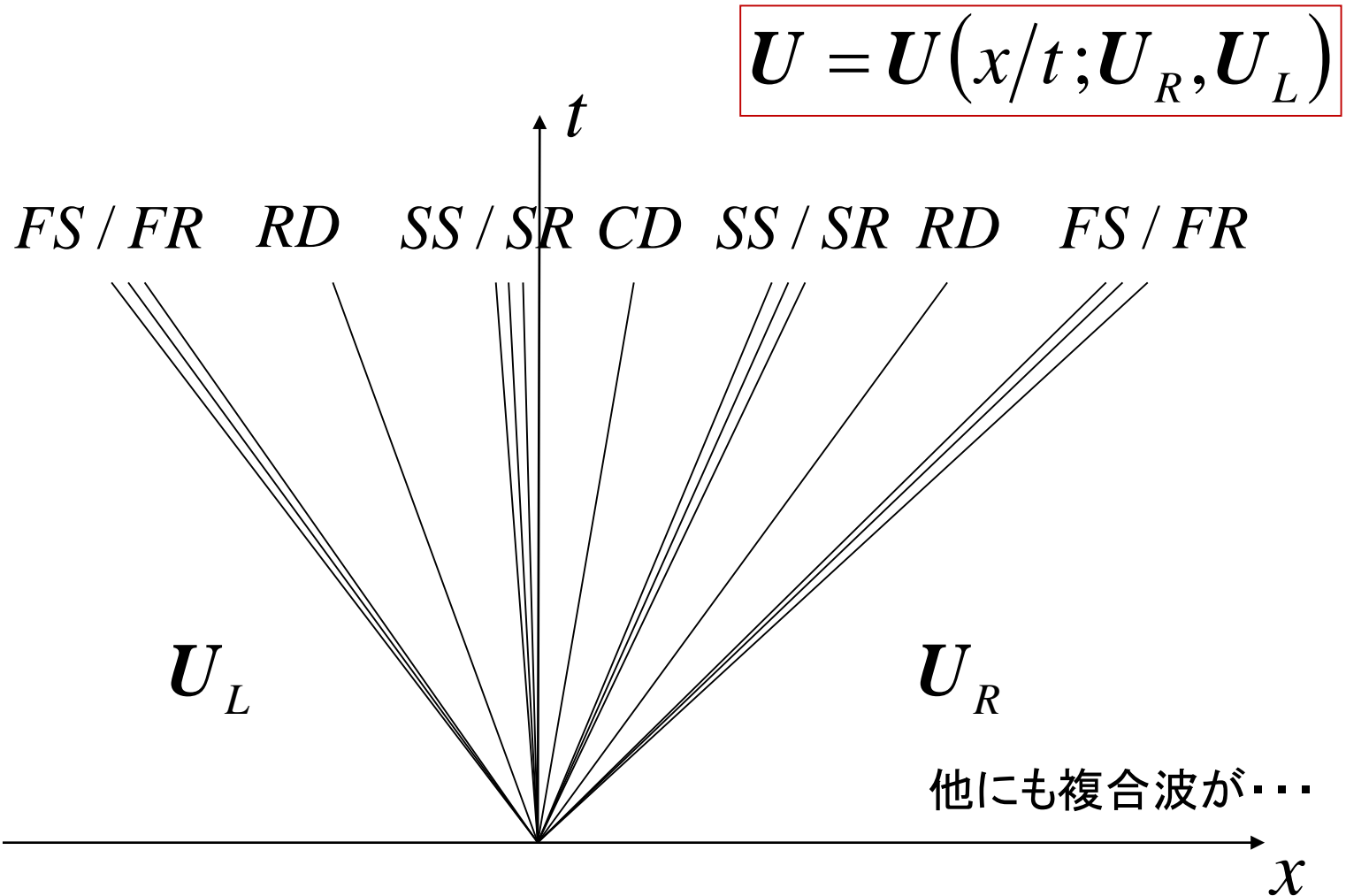
- 物理量を区分定数分布
- 衝撃波管問題の近似解





# まだ間に合う！近似リーマン解法

## □ MHD衝撃波管問題



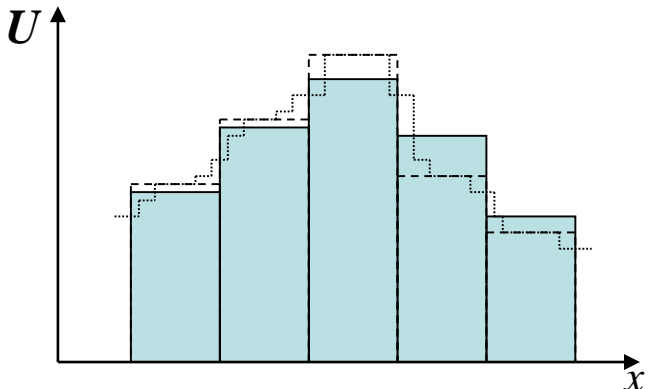


# まだ間に合う！近似リーマン解法

## □ 近似リーマン解法

$$\iint \left( \frac{\partial U}{\partial t} + \frac{\partial F}{\partial x} \right) dx dt = \oint (U dx - F dt) = 0$$

- 物理量を区分定数分布
- 衝撃波管問題の近似解
- 近似解の空間積分



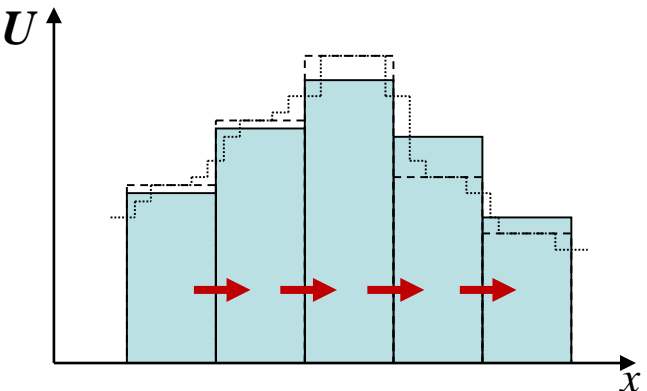


# まだ間に合う！近似リーマン解法

## □ 近似リーマン解法

$$\iint \left( \frac{\partial \mathbf{U}}{\partial t} + \frac{\partial \mathbf{F}}{\partial x} \right) dx dt = \oint (\mathbf{U} dx - \mathbf{F} dt) = 0$$

- 物理量を区分定数分布
- 衝撃波管問題の近似解
- 近似解の空間積分
- 数値流束による形式(時空間保存則から評価)



$$\int_{x_{i-1/2}}^{x_{i+1/2}} \mathbf{U}^{n+1} dx - \int_{x_{i-1/2}}^{x_{i+1/2}} \mathbf{U}^n dx + \underline{\int_{t^n}^{t^{n+1}} \mathbf{F}_{i+1/2} dt} - \underline{\int_{t^n}^{t^{n+1}} \mathbf{F}_{i-1/2} dt} = 0$$

$$\int_{x_i}^{x_{i+1/2}} \mathbf{U} \left( \frac{x - x_{i+1/2}}{\Delta t}; \mathbf{U}_i^n, \mathbf{U}_{i+1}^n \right) dx - (x_{i+1/2} - x_i) \mathbf{U}_i^n + \Delta t \left( \underline{\mathbf{F}_{i+1/2}} - \underline{\mathbf{F}_i^n} \right) = 0$$

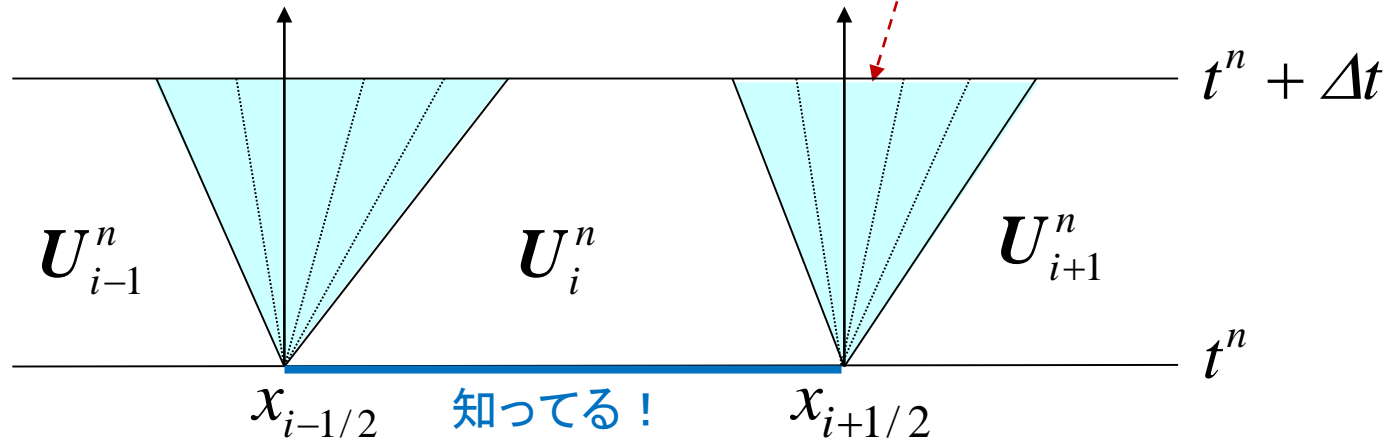


# まだ間に合う！近似リーマン解法

## □ 近似リーマン解法

$$\iint \left( \frac{\partial \mathbf{U}}{\partial t} + \frac{\partial \mathbf{F}}{\partial x} \right) dx dt = \oint (\mathbf{U} dx - \mathbf{F} dt) = 0$$

$$\mathbf{U} \left( \frac{x - x_{i+1/2}}{\Delta t}; \mathbf{U}_i^n, \mathbf{U}_{i+1}^n \right)$$



知ってる！



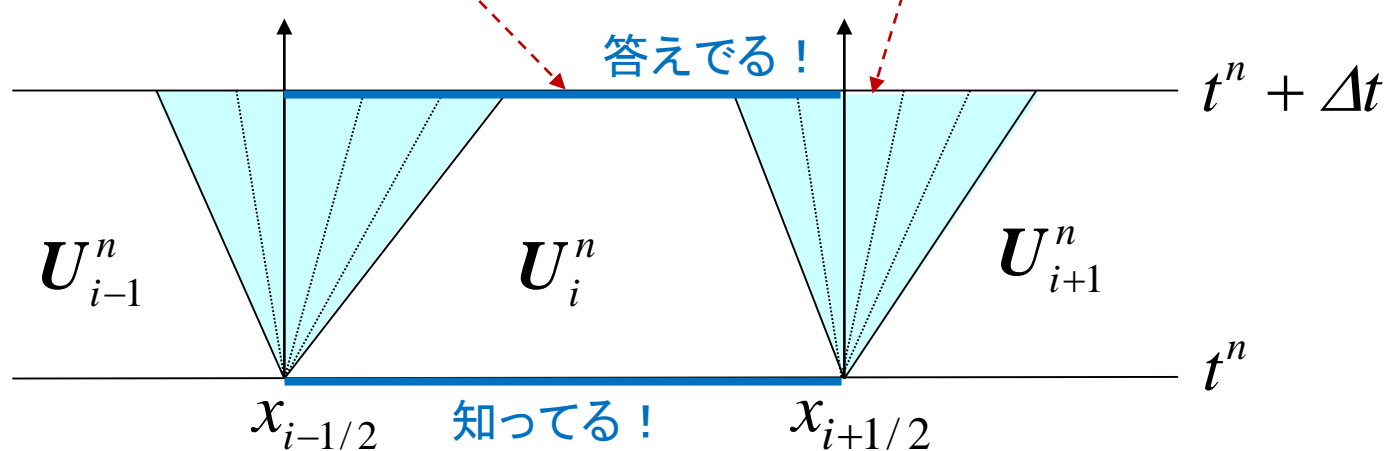
# まだ間に合う！近似リーマン解法

## □ 近似リーマン解法

$$\iint \left( \frac{\partial \mathbf{U}}{\partial t} + \frac{\partial \mathbf{F}}{\partial x} \right) dx dt = \oint (\mathbf{U} dx - \mathbf{F} dt) = 0$$

$$\mathbf{U}_i^{n+1} = \int_{x_{i-1/2}}^{x_{i+1/2}} \mathbf{U}(x, t^n + \Delta t) dx$$

$$\mathbf{U}\left(\frac{x - x_{i+1/2}}{\Delta t}; \mathbf{U}_i^n, \mathbf{U}_{i+1}^n\right)$$



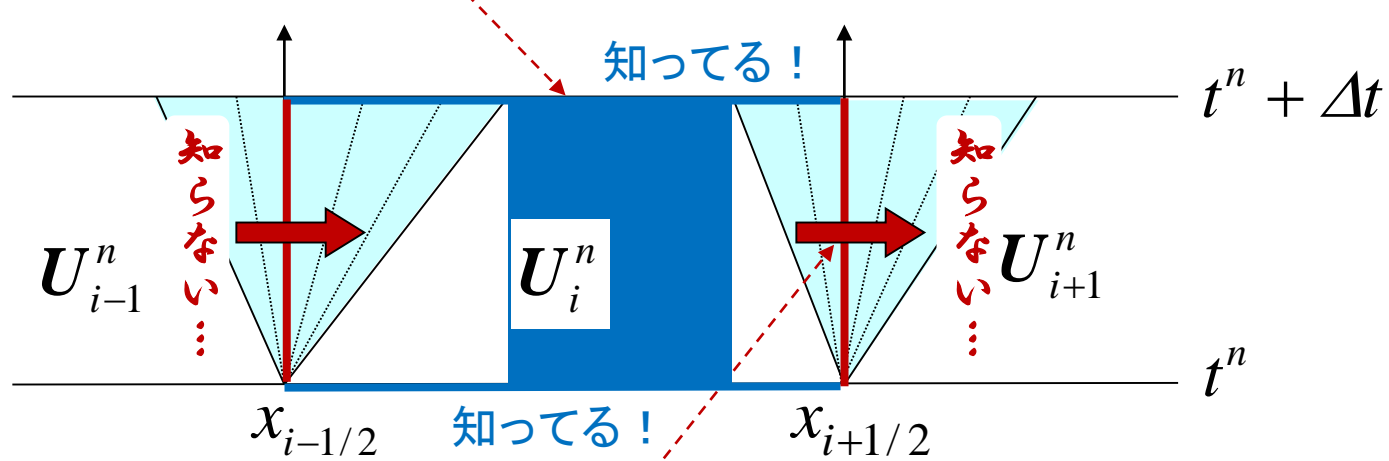


# まだ間に合う！近似リーマン解法

## □ 近似リーマン解法

$$\iint \left( \frac{\partial \mathbf{U}}{\partial t} + \frac{\partial \mathbf{F}}{\partial x} \right) dx dt = \oint (\mathbf{U} dx - \mathbf{F} dt) = 0$$

$$\mathbf{U}_i^{n+1} = \int_{x_{i-1/2}}^{x_{i+1/2}} \mathbf{U}(x, t^n + \Delta t) dx$$



$$\mathbf{F}_{i+1/2} = \int_{t^n}^{t^n + \Delta t} \mathbf{F}(x_{i+1/2}, t) dt$$

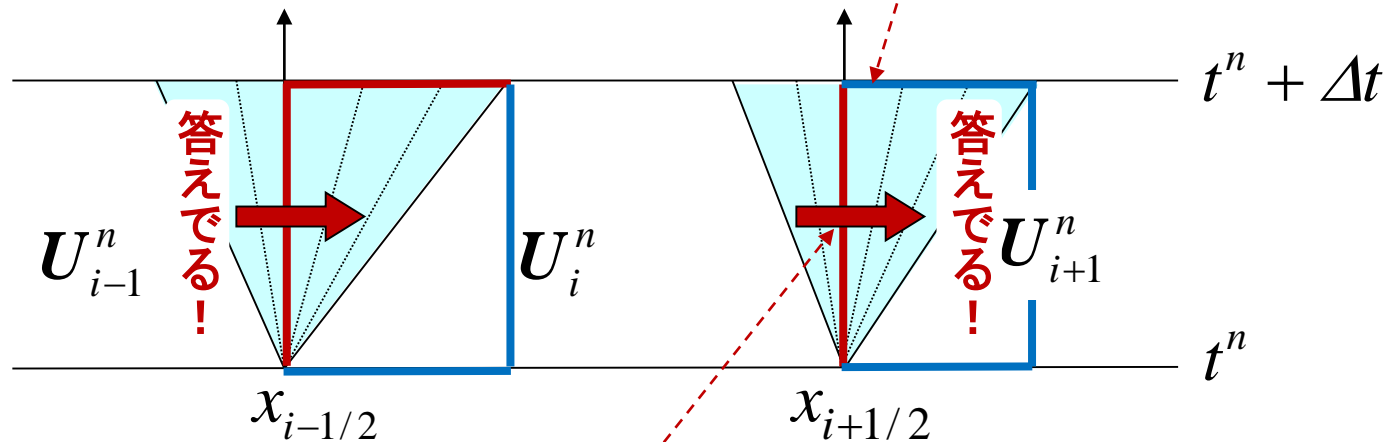


# まだ間に合う！近似リーマン解法

## □ 近似リーマン解法

$$\iint \left( \frac{\partial \mathbf{U}}{\partial t} + \frac{\partial \mathbf{F}}{\partial x} \right) dx dt = \oint (\mathbf{U} dx - \mathbf{F} dt) = 0$$

$$\mathbf{U} \left( \frac{x - x_{i+1/2}}{\Delta t}; \mathbf{U}_i^n, \mathbf{U}_{i+1}^n \right)$$



$$\mathbf{F}_{i+1/2} = \int_{t^n}^{t^n + \Delta t} \mathbf{F}(x_{i+1/2}, t) dt$$

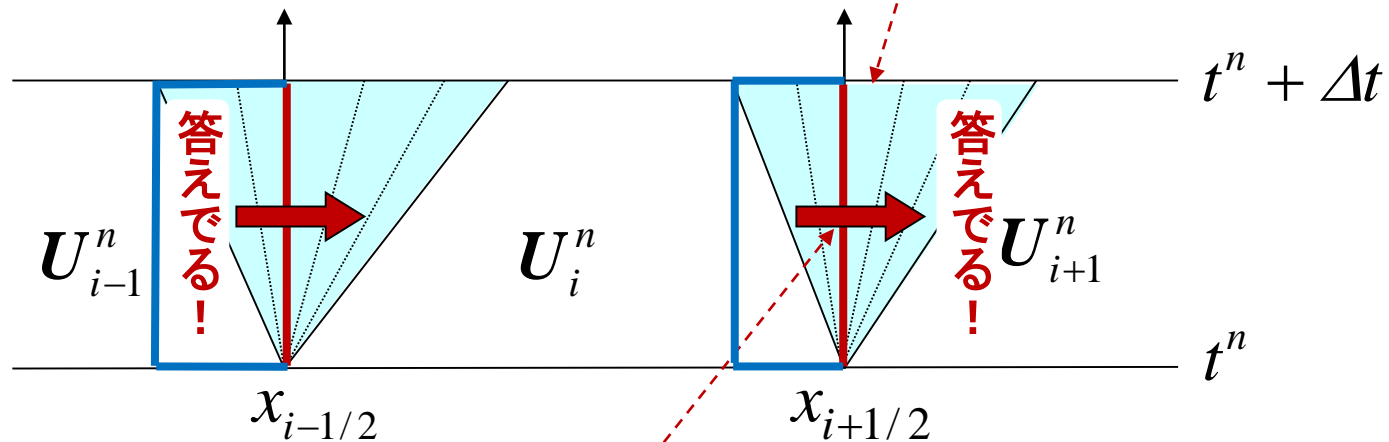


# まだ間に合う！近似リーマン解法

## □ 近似リーマン解法

$$\iint \left( \frac{\partial \mathbf{U}}{\partial t} + \frac{\partial \mathbf{F}}{\partial x} \right) dx dt = \oint (\mathbf{U} dx - \mathbf{F} dt) = 0$$

$$\mathbf{U} \left( \frac{x - x_{i+1/2}}{\Delta t}; \mathbf{U}_i^n, \mathbf{U}_{i+1}^n \right)$$



$$\mathbf{F}_{i+1/2} = \int_{t^n}^{t^n + \Delta t} \mathbf{F}(x_{i+1/2}, t) dt$$



# 線形近似リーマン解法

## □ 線形近似リーマン解法 [Roe,1981]

### ■ 局所的に線形化(ヤコビアンを凍結)

$$F_{i+1/2}^* = \frac{F_{i+1} + F_i}{2} - \frac{|\bar{A}(U_{i+1}, U_i)|}{2} (U_{i+1} - U_i)$$

ここで  $|A| = R |A| R^{-1}$

### ■ さてと...

MHDの固有ベクトルと固有値がわかれればよい  
 $\bar{A}(U_{i+1}, U_i)$  を求めるのは一般には面倒だけど



# 線形近似リーマン解法

## □ 線形近似リーマン解法 [Roe, 1981]

### ■ MHD方程式の固有ベクトル [e.g., Brio+, 1988]

$$\mathbf{R}_u = \begin{pmatrix} 1 \\ u \\ v \\ w \\ 0 \\ 0 \\ \frac{u^2 + v^2 + w^2}{2} \end{pmatrix}, \quad \mathbf{R}_{u \pm c_a} = \begin{pmatrix} 0 \\ 0 \\ \mp B_z \operatorname{sgn}(B_x) \\ \pm B_y \operatorname{sgn}(B_x) \\ \frac{B_z}{\sqrt{\rho}} \\ -\frac{B_y}{\sqrt{\rho}} \\ \mp (vB_z - wB_y) \operatorname{sgn}(B_x) \end{pmatrix}, \quad \mathbf{R}_{u \pm c_{f,s}} = \begin{pmatrix} 1 \\ u \pm c_{f,s} \\ v \mp \frac{B_x B_y c_{f,s}}{\rho c_{f,s}^2 - B_x^2} \\ w \mp \frac{B_x B_z c_{f,s}}{\rho c_{f,s}^2 - B_x^2} \\ \frac{B_y c_{f,s}^2}{\rho c_{f,s}^2 - B_x^2} \\ \frac{B_z c_{f,s}^2}{\rho c_{f,s}^2 - B_x^2} \\ \frac{u^2 + v^2 + w^2}{2} + h_{f,s}^\pm \end{pmatrix}$$

$$h_{f,s}^\pm = \frac{c_{f,s}^2}{\gamma - 1} \pm c_{f,s} u \mp \frac{B_x c_{f,s} (v B_y + w B_z)}{\rho c_{f,s}^2 - B_x^2} + \frac{\gamma - 2}{\gamma - 1} (c_{f,s}^2 - a^2)$$

固有ベクトルに特異性



# 線形近似リーマン解法

## □ 線形近似リーマン解法 [Roe, 1981]

### ■ 固有ベクトルの再規格化 [Brio+, 1988; Roe+, 1996]

$$\alpha_f^2 \equiv \frac{a^2 - c_s^2}{c_f^2 - c_s^2}, \quad \alpha_s^2 \equiv \frac{c_f^2 - a}{c_f^2 - c_s^2}$$

$$\alpha_s^2 + \alpha_f^2 = 1, \quad \alpha_s^2 c_s^2 + \alpha_f^2 c_f^2 = a^2, \quad \alpha_f \alpha_s = \frac{a \sqrt{b_y^2 + b_z^2}}{c_f^2 - c_s^2}$$

$$\beta_y \equiv \frac{b_y}{\sqrt{b_y^2 + b_z^2}}, \quad \beta_z \equiv \frac{b_z}{\sqrt{b_y^2 + b_z^2}}$$

$$b_{x,y,z} \equiv \frac{B_{x,y,z}}{\sqrt{\rho}}$$

$$b_y^2 + b_z^2 \rightarrow 0 \Rightarrow \beta_{y,z} \rightarrow \frac{1}{\sqrt{2}}$$

[Roe+, 1996]



# 線形近似リーマン解法

## □ 線形近似リーマン解法 [Roe, 1981]

### ■ 固有ベクトルの再規格化

…で色々と計算するわけですが、ここに書いても  
あれなので参考文献をご参照ください

- [1] Brio, Wu, JCP **75**, 400 (1988)
- [2] Ryu, Jones, ApJ **442**, 228 (1995)
- [3] Roe, Balsara, SIAM J. Appl. Math. **56**, 57 (1996)
- [4] Balsara, ApJS **116**, 119 (1998)
- [5] Powell, et al., JCP **154**, 284 (1999)

$$\mathbf{R}^{-1} \frac{\partial \mathbf{U}}{\partial t} + \mathbf{R}^{-1} \mathbf{A} \mathbf{R} \mathbf{R}^{-1} \frac{\partial \mathbf{U}}{\partial x} = \mathbf{R}_P^{-1} \frac{\partial \mathbf{V}_P}{\partial t} + \mathbf{R}_P^{-1} \mathbf{A}_P \mathbf{R}_P \mathbf{R}_P^{-1} \frac{\partial \mathbf{V}_P}{\partial x} = 0$$

$$dW = \mathbf{R}^{-1} d\mathbf{U} = \mathbf{R}^{-1} \frac{\partial \mathbf{U}}{\partial \mathbf{V}_P} d\mathbf{V}_P = \mathbf{R}_P^{-1} d\mathbf{V}_P$$

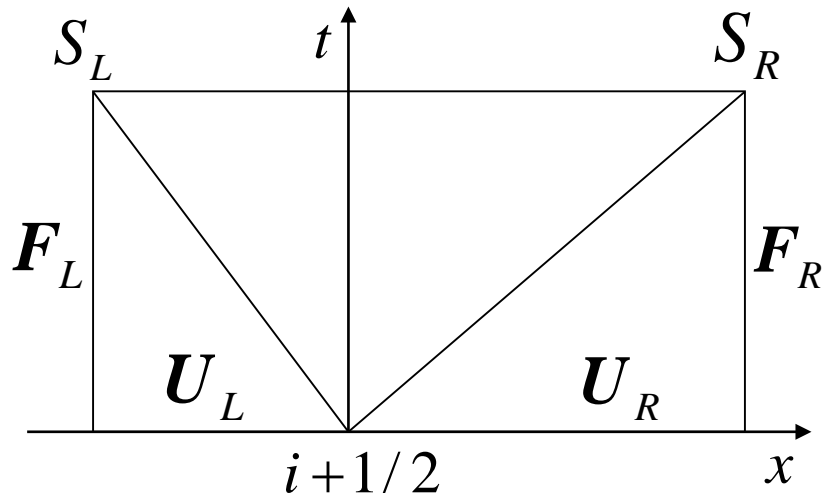


# HLL型近似リーマン解法

## □ HLL近似リーマン解法 [Harten+, 1983]

### ■ 衝撃波近似

### ■ 2-wave近似



$S_{R,L}$ : 最大/最小情報伝播速度

$$S_R = \max(u_L + c_L, u_R + c_R, 0)$$

$$S_L = \min(u_L - c_L, u_R - c_R, 0)$$

$$\iint \left( \frac{\partial \mathbf{U}}{\partial t} + \frac{\partial \mathbf{F}}{\partial x} \right) dx dt = \oint (\mathbf{U} dx - \mathbf{F} dt) = 0$$

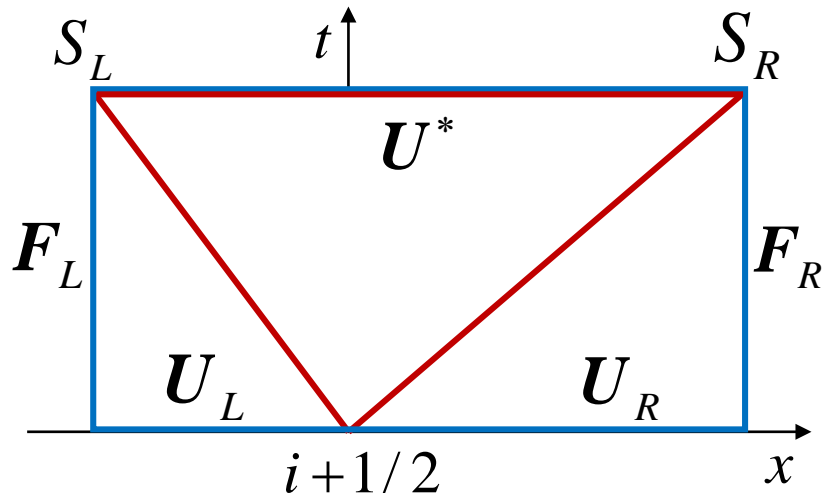


# HLL型近似リーマン解法

## □ HLL近似リーマン解法 [Harten+, 1983]

### ■ 衝撃波近似

### ■ 2-wave近似



$S_{R,L}$ : 最大/最小情報伝播速度

$$S_R = \max(u_L + c_L, u_R + c_R, 0)$$

$$S_L = \min(u_L - c_L, u_R - c_R, 0)$$

$$\iint \left( \frac{\partial \mathbf{U}}{\partial t} + \frac{\partial \mathbf{F}}{\partial x} \right) dx dt = \oint (\mathbf{U} dx - \mathbf{F} dt) = 0$$

$$\Rightarrow (S_R - S_L) \mathbf{U}^* - S_R \mathbf{U}_R + S_L \mathbf{U}_L + \mathbf{F}_R - \mathbf{F}_L = 0$$

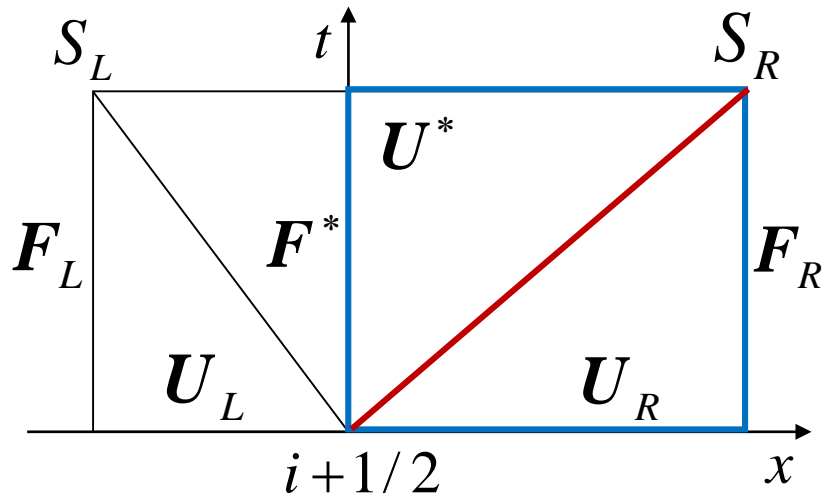


# HLL型近似リーマン解法

## □ HLL近似リーマン解法 [Harten+, 1983]

### ■ 衝撃波近似

### ■ 2-wave近似



$S_{R,L}$ : 最大/最小情報伝播速度

$$S_R = \max(u_L + c_L, u_R + c_R, 0)$$

$$S_L = \min(u_L - c_L, u_R - c_R, 0)$$

$$\iint \left( \frac{\partial \mathbf{U}}{\partial t} + \frac{\partial \mathbf{F}}{\partial x} \right) dx dt = \oint (\mathbf{U} dx - \mathbf{F} dt) = 0$$

$$\Rightarrow \mathbf{F}^* = \mathbf{F}_{R,L} + S_{R,L} (\mathbf{U}^* - \mathbf{U}_{R,L}) = \boxed{\frac{S_R \mathbf{F}_L - S_L \mathbf{F}_R + S_R S_L (\mathbf{U}_R - \mathbf{U}_L)}{S_R - S_L}}$$



# HLL型近似リーマン解法

## □ HLL近似リーマン解法 [Harten+, 1983]

- 衝撃波近似
- 2-wave近似

$$\mathbf{U}^* = \frac{S_R \mathbf{U}_R - S_L \mathbf{U}_L - \mathbf{F}_R + \mathbf{F}_L}{S_R - S_L}$$

$$\mathbf{F}^* = \frac{S_R \mathbf{F}_L - S_L \mathbf{F}_R + S_R S_L (\mathbf{U}_R - \mathbf{U}_L)}{S_R - S_L} \neq \mathbf{F}(\mathbf{U}^*)$$

- 固有ベクトルの計算不要
- 正値性保存を保証
  - HD [Einfeldt+, 1991] / MHD [Miyoshi+, 2005]
- 接触不連続の分解不可能

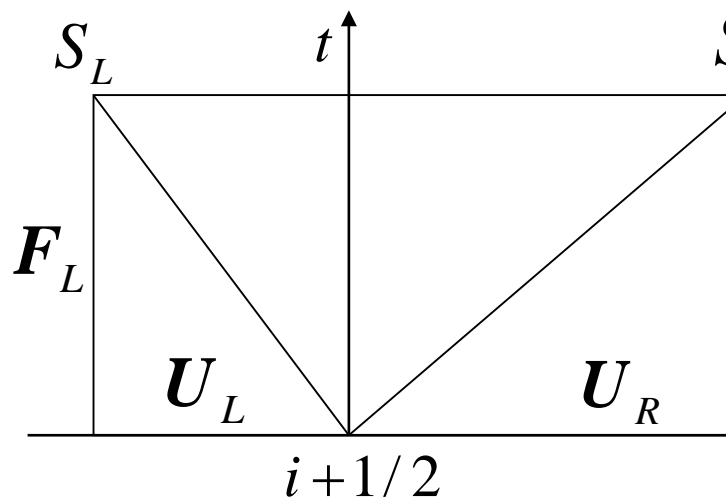


# HLL型近似リーマン解法

## □ HLLD近似リーマン解法 [Miyoshi+, 2005]

- 衝撃波近似
- N-wave近似

速進磁気音波 × 2、アルフェン波 × 2、遅進磁気音波 × 2、エントロピー波 × 1 のどの波を残すべき？



$S_{R,L}$  : 速進磁気音波



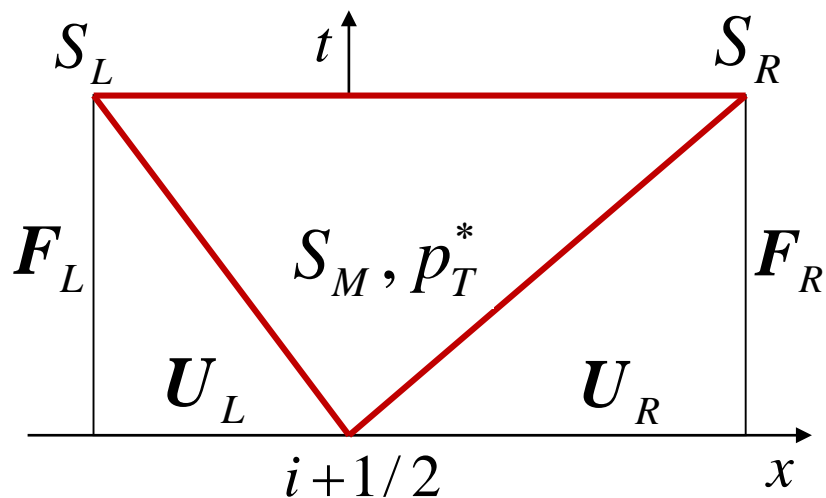
# HLL型近似リーマン解法

## □ HLLD近似リーマン解法 [Miyoshi+, 2005]

- 衝撃波近似

- 5-wave近似

- リーマンファンで法線方向速度一定
- リーマンファンで全圧力一定



$S_{R,L}$  : 速進磁気音波  
 $S_M$  : エントロピ一波



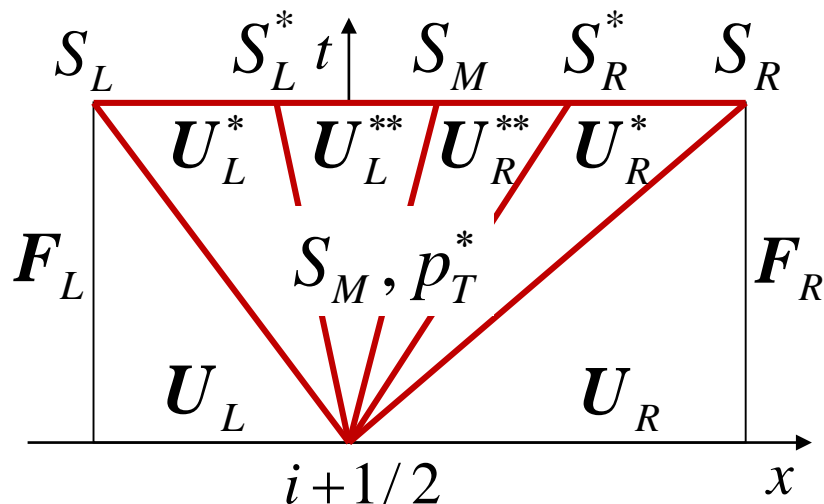
# HLL型近似リーマン解法

## □ HLLD近似リーマン解法 [Miyoshi+, 2005]

### ■ 衝撃波近似

### ■ 5-wave近似

- リーマンファンで法線方向速度一定
- リーマンファンで全圧力一定



$S_{R,L}$  : 速進磁気音波  
 $S_M$  : エントロピ一波  
 $S_{R,L}^*$  : アルフェン波



# HLL型近似リーマン解法

□ HLLD近似リーマン解法 [Miyoshi+,2005]

■ エントロピー波の評価 [Batten+,1997]

$$S_M = \frac{(\rho u)^*}{\rho^*} = \frac{(S_R - u_R)\rho_R u_R - (S_L - u_L)\rho_L u_L - p_{TR} + p_{TL}}{(S_R - u_R)\rho_R - (S_L - u_L)\rho_L}$$

■ 全圧力の評価



# HLL型近似リーマン解法

## □ HLLD近似リーマン解法 [Miyoshi+, 2005]

### ■ 速進磁気音波に対するジャンプ条件

$$\rightarrow \begin{pmatrix} \rho_\alpha^* \\ \rho_\alpha^* S_M \\ \rho_\alpha^* v_\alpha^* \\ \rho_\alpha^* w_\alpha^* \\ B_{y\alpha}^* \\ B_{z\alpha}^* \\ e_\alpha^* \end{pmatrix} - \begin{pmatrix} \rho_\alpha^* S_M \\ \rho_\alpha^* S_M^2 + p_T^* - B_x^2 \\ \rho_\alpha^* v_\alpha^* S_M - B_x B_{y\alpha}^* \\ \rho_\alpha^* w_\alpha^* S_M - B_x B_{z\alpha}^* \\ B_{y\alpha}^* S_M - B_x v_\alpha^* \\ B_{z\alpha}^* S_M - B_x w_\alpha^* \\ (e_\alpha^* + p_T^*) S_M - B_x (\mathbf{v}_\alpha^* \cdot \mathbf{B}_\alpha^*) \end{pmatrix} = S_\alpha \begin{pmatrix} \rho_\alpha \\ \rho_\alpha u_\alpha \\ \rho_\alpha v_\alpha \\ \rho_\alpha w_\alpha \\ B_{y\alpha} \\ B_{z\alpha} \\ e_\alpha \end{pmatrix} - \begin{pmatrix} \rho_\alpha u_\alpha \\ \rho_\alpha u_\alpha + p_{T\alpha} - B_x^2 \\ \rho_\alpha v_\alpha u_\alpha - B_x B_{y\alpha} \\ \rho_\alpha w_\alpha u_\alpha - B_x B_{z\alpha} \\ B_{y\alpha} u_\alpha - B_x v_\alpha \\ B_{z\alpha} u_\alpha - B_x w_\alpha \\ (e_\alpha + p_{T\alpha}) u_\alpha - B_x (\mathbf{v}_\alpha \cdot \mathbf{B}_\alpha) \end{pmatrix}$$

$$\mathbf{v}_\alpha^* = (S_M, v_\alpha^*, w_\alpha^*), \mathbf{B}_\alpha^* = (B_x, B_{y\alpha}^*, B_{z\alpha}^*), \alpha = R, L$$



# HLL型近似リーマン解法

□ HLLD近似リーマン解法 [Miyoshi+,2005]

■ エントロピー波の評価 [Batten+,1997]

$$S_M = \frac{(\rho u)^*}{\rho^*} = \frac{(S_R - u_R)\rho_R u_R - (S_L - u_L)\rho_L u_L - p_{TR} + p_{TL}}{(S_R - u_R)\rho_R - (S_L - u_L)\rho_L}$$

■ 全圧力の評価

$$\begin{aligned} p_T^* &= p_{TL} + \rho_L (S_L - u_L)(S_M - u_L) \\ &= p_{TR} + \rho_R (S_R - u_R)(S_M - u_R) \\ &= \frac{(S_R - u_R)\rho_R p_{TL} - (S_L - u_L)\rho_L p_{TR} + \rho_L \rho_R (S_R - u_R)(u_R - u_L)}{(S_R - u_R)\rho_R - (S_L - u_L)\rho_L} \end{aligned}$$



# HLL型近似リーマン解法

## □ HLLD近似リーマン解法 [Miyoshi+, 2005]

### ■ 速進磁気音波に対するジャンプ条件

$$\rightarrow \begin{pmatrix} \rho_\alpha^* \\ \rho_\alpha^* S_M \\ \rho_\alpha^* v_\alpha^* \\ \rho_\alpha^* w_\alpha^* \\ B_{y\alpha}^* \\ B_{z\alpha}^* \\ e_\alpha^* \end{pmatrix} - \begin{pmatrix} \rho_\alpha^* S_M \\ \rho_\alpha^* S_M^2 + p_T^* - B_x^2 \\ \rho_\alpha^* v_\alpha^* S_M - B_x B_{y\alpha}^* \\ \rho_\alpha^* w_\alpha^* S_M - B_x B_{z\alpha}^* \\ B_{y\alpha}^* S_M - B_x v_\alpha^* \\ B_{z\alpha}^* S_M - B_x w_\alpha^* \\ (e_\alpha^* + p_T^*) S_M - B_x (\mathbf{v}_\alpha^* \cdot \mathbf{B}_\alpha^*) \end{pmatrix} = S_\alpha \begin{pmatrix} \rho_\alpha \\ \rho_\alpha u_\alpha \\ \rho_\alpha v_\alpha \\ \rho_\alpha w_\alpha \\ B_{y\alpha} \\ B_{z\alpha} \\ e_\alpha \end{pmatrix} - \begin{pmatrix} \rho_\alpha u_\alpha \\ \rho_\alpha u_\alpha + p_{T\alpha} - B_x^2 \\ \rho_\alpha v_\alpha u_\alpha - B_x B_{y\alpha} \\ \rho_\alpha w_\alpha u_\alpha - B_x B_{z\alpha} \\ B_{y\alpha} u_\alpha - B_x v_\alpha \\ B_{z\alpha} u_\alpha - B_x w_\alpha \\ (e_\alpha + p_{T\alpha}) u_\alpha - B_x (\mathbf{v}_\alpha \cdot \mathbf{B}_\alpha) \end{pmatrix}$$

$$\mathbf{v}_\alpha^* = (S_M, v_\alpha^*, w_\alpha^*), \mathbf{B}_\alpha^* = (B_x, B_{y\alpha}^*, B_{z\alpha}^*), \alpha = R, L$$



# HLL型近似リーマン解法

## □ HLLD近似リーマン解法 [Miyoshi+,2005]

■ HLLD解:  $U_{\alpha}^*$

$$\rho_{\alpha}^* = \rho_{\alpha} \frac{S_{\alpha} - u_{\alpha}}{S_{\alpha} - S_M}$$



# HLL型近似リーマン解法

## □ HLLD近似リーマン解法 [Miyoshi+, 2005]

### ■ 速進磁気音波に対するジャンプ条件

$$\begin{array}{c}
 \left( \begin{array}{c} \rho_{\alpha}^* \\ \rho_{\alpha}^* S_M \\ \rho_{\alpha}^* v_{\alpha}^* \\ \rho_{\alpha}^* w_{\alpha}^* \\ B_{y\alpha}^* \\ B_{z\alpha}^* \\ e_{\alpha}^* \end{array} \right) - \left( \begin{array}{c} \rho_{\alpha}^* S_M \\ \rho_{\alpha}^* S_M^2 + p_T^* - B_x^2 \\ \rho_{\alpha}^* v_{\alpha}^* S_M - B_x B_{y\alpha}^* \\ \rho_{\alpha}^* w_{\alpha}^* S_M - B_x B_{z\alpha}^* \\ B_{y\alpha}^* S_M - B_x v_{\alpha}^* \\ B_{z\alpha}^* S_M - B_x w_{\alpha}^* \\ (e_{\alpha}^* + p_T^*) S_M - B_x (\mathbf{v}_{\alpha}^* \cdot \mathbf{B}_{\alpha}^*) \end{array} \right) = S_{\alpha} \left( \begin{array}{c} \rho_{\alpha} \\ \rho_{\alpha} u_{\alpha} \\ \rho_{\alpha} v_{\alpha} \\ \rho_{\alpha} w_{\alpha} \\ B_{y\alpha} \\ B_{z\alpha} \\ e_{\alpha} \end{array} \right) - \left( \begin{array}{c} \rho_{\alpha} u_{\alpha} \\ \rho_{\alpha} u_{\alpha} + p_{T\alpha} - B_x^2 \\ \rho_{\alpha} v_{\alpha} u_{\alpha} - B_x B_{y\alpha} \\ \rho_{\alpha} w_{\alpha} u_{\alpha} - B_x B_{z\alpha} \\ B_{y\alpha} u_{\alpha} - B_x v_{\alpha} \\ B_{z\alpha} u_{\alpha} - B_x w_{\alpha} \\ (e_{\alpha} + p_{T\alpha}) u_{\alpha} - B_x (\mathbf{v}_{\alpha} \cdot \mathbf{B}_{\alpha}) \end{array} \right)
 \end{array}$$

$$\mathbf{v}_{\alpha}^* = (S_M, v_{\alpha}^*, w_{\alpha}^*), \mathbf{B}_{\alpha}^* = (B_x, B_{y\alpha}^*, B_{z\alpha}^*), \alpha = R, L$$



# HLL型近似リーマン解法

## □ HLLD近似リーマン解法 [Miyoshi+,2005]

■ HLLD解:  $U_{\alpha}^*$

$$\rho_{\alpha}^* = \rho_{\alpha} \frac{S_{\alpha} - u_{\alpha}}{S_{\alpha} - S_M}$$

$$\begin{cases} \mathbf{v}_{t\alpha}^* = \mathbf{v}_{t\alpha} - B_x \mathbf{B}_{t\alpha} \frac{S_M - u_{\alpha}}{\rho_{\alpha} (S_{\alpha} - u_{\alpha})(S_{\alpha} - S_M) - B_x^2} \\ \mathbf{B}_{t\alpha}^* = \mathbf{B}_{t\alpha} \frac{\rho_{\alpha} (S_{\alpha} - u_{\alpha})^2 - B_x^2}{\rho_{\alpha} (S_{\alpha} - u_{\alpha})(S_{\alpha} - S_M) - B_x^2} \end{cases} \quad \mathbf{v}_t = (0, v, w), \mathbf{B}_t = (0, B_y, B_z)$$



# HLL型近似リーマン解法

## □ HLLD近似リーマン解法 [Miyoshi+, 2005]

### ■ 速進磁気音波に対するジャンプ条件

$$\begin{array}{c}
 \left( \begin{array}{c} \rho_{\alpha}^* \\ \rho_{\alpha}^* S_M \\ \rho_{\alpha}^* S_M^2 + p_T^* - B_x^2 \\ \rho_{\alpha}^* v_{\alpha}^* \\ \rho_{\alpha}^* w_{\alpha}^* \\ B_{y\alpha}^* \\ B_{z\alpha}^* \\ e_{\alpha}^* \end{array} \right) \left( \begin{array}{c} \rho_{\alpha}^* S_M \\ \rho_{\alpha}^* S_M^2 + p_T^* - B_x^2 \\ \rho_{\alpha}^* v_{\alpha}^* S_M - B_x B_{y\alpha}^* \\ \rho_{\alpha}^* w_{\alpha}^* S_M - B_x B_{z\alpha}^* \\ B_{y\alpha}^* S_M - B_x v_{\alpha}^* \\ B_{z\alpha}^* S_M - B_x w_{\alpha}^* \\ (e_{\alpha}^* + p_T^*) S_M - B_x (\mathbf{v}_{\alpha}^* \cdot \mathbf{B}_{\alpha}^*) \end{array} \right) = \left( \begin{array}{c} \rho_{\alpha} \\ \rho_{\alpha} u_{\alpha} \\ \rho_{\alpha} u_{\alpha} + p_{T\alpha} - B_x^2 \\ \rho_{\alpha} v_{\alpha} u_{\alpha} - B_x B_{y\alpha} \\ \rho_{\alpha} w_{\alpha} u_{\alpha} - B_x B_{z\alpha} \\ B_{y\alpha} u_{\alpha} - B_x v_{\alpha} \\ B_{z\alpha} u_{\alpha} - B_x w_{\alpha} \\ (e_{\alpha} + p_{T\alpha}) u_{\alpha} - B_x (\mathbf{v}_{\alpha} \cdot \mathbf{B}_{\alpha}) \end{array} \right) \\
 \rightarrow \left( \begin{array}{c} \rho_{\alpha}^* \\ \rho_{\alpha}^* S_M \\ \rho_{\alpha}^* S_M^2 + p_T^* - B_x^2 \\ \rho_{\alpha}^* v_{\alpha}^* \\ \rho_{\alpha}^* w_{\alpha}^* \\ B_{y\alpha}^* \\ B_{z\alpha}^* \\ e_{\alpha}^* \end{array} \right) = \left( \begin{array}{c} \rho_{\alpha} \\ \rho_{\alpha} u_{\alpha} \\ \rho_{\alpha} u_{\alpha} + p_{T\alpha} - B_x^2 \\ \rho_{\alpha} v_{\alpha} u_{\alpha} - B_x B_{y\alpha} \\ \rho_{\alpha} w_{\alpha} u_{\alpha} - B_x B_{z\alpha} \\ B_{y\alpha} u_{\alpha} - B_x v_{\alpha} \\ B_{z\alpha} u_{\alpha} - B_x w_{\alpha} \\ (e_{\alpha} + p_{T\alpha}) u_{\alpha} - B_x (\mathbf{v}_{\alpha} \cdot \mathbf{B}_{\alpha}) \end{array} \right)
 \end{array}$$

$$\mathbf{v}_{\alpha}^* = (S_M, v_{\alpha}^*, w_{\alpha}^*), \mathbf{B}_{\alpha}^* = (B_x, B_{y\alpha}^*, B_{z\alpha}^*), \alpha = R, L$$



# HLL型近似リーマン解法

## □ HLLD近似リーマン解法 [Miyoshi+,2005]

■ HLLD解:  $U_{\alpha}^*$

$$\rho_{\alpha}^* = \rho_{\alpha} \frac{S_{\alpha} - u_{\alpha}}{S_{\alpha} - S_M}$$

$$\begin{cases} \mathbf{v}_{t\alpha}^* = \mathbf{v}_{t\alpha} - B_x \mathbf{B}_{t\alpha} \frac{S_M - u_{\alpha}}{\rho_{\alpha} (S_{\alpha} - u_{\alpha})(S_{\alpha} - S_M) - B_x^2} \\ \mathbf{B}_{t\alpha}^* = \mathbf{B}_{t\alpha} \frac{\rho_{\alpha} (S_{\alpha} - u_{\alpha})^2 - B_x^2}{\rho_{\alpha} (S_{\alpha} - u_{\alpha})(S_{\alpha} - S_M) - B_x^2} \end{cases} \quad \mathbf{v}_t = (0, v, w), \mathbf{B}_t = (0, B_y, B_z)$$

$$e_{\alpha}^* = \frac{(S_{\alpha} - u_{\alpha}) e_{\alpha} - p_{T\alpha} + p_T^* + B_x (\mathbf{v}_{\alpha} \cdot \mathbf{B}_{\alpha} - \mathbf{v}_{\alpha}^* \cdot \mathbf{B}_{\alpha}^*)}{S_{\alpha} - S_M}$$



# HLL型近似リーマン解法

## □ HLLD近似リーマン解法 [Miyoshi+, 2005]

### ■ アルフェン波に対するジャンプ条件

$$\xrightarrow{\quad} \begin{pmatrix} \rho_\alpha^{**} \\ \rho_\alpha^{**} S_M \\ \rho_\alpha^{**} v_\alpha^{**} \\ \rho_\alpha^{**} w_\alpha^{**} \\ B_{y\alpha}^{**} \\ B_{z\alpha}^{**} \\ e_\alpha^{**} \end{pmatrix} - \begin{pmatrix} \rho_\alpha^{**} S_M \\ \rho_\alpha^{**} S_M^2 + p_T^* - B_x^2 \\ \rho_\alpha^{**} v_\alpha^{**} S_M - B_x B_{y\alpha}^{**} \\ \rho_\alpha^{**} w_\alpha^{**} S_M - B_x B_{z\alpha}^{**} \\ B_{y\alpha}^{**} S_M - B_x v_\alpha^{**} \\ B_{z\alpha}^{**} S_M - B_x w_\alpha^{**} \\ (e_\alpha^{**} + p_T^*) S_M - B_x (\mathbf{v}_\alpha^{**} \cdot \mathbf{B}_\alpha^{**}) \end{pmatrix} = S_\alpha^* \begin{pmatrix} \rho_\alpha^* \\ \rho_\alpha^* S_M \\ \rho_\alpha^* v_\alpha^* \\ \rho_\alpha^* w_\alpha^* \\ B_{y\alpha}^* \\ B_{z\alpha}^* \\ e_\alpha^* \end{pmatrix} - \begin{pmatrix} \rho_\alpha^* S_M \\ \rho_\alpha^* S_M^2 + p_T^* - B_x^2 \\ \rho_\alpha^* v_\alpha^* S_M - B_x B_{y\alpha}^* \\ \rho_\alpha^* w_\alpha^* S_M - B_x B_{z\alpha}^* \\ B_{y\alpha}^* S_M - B_x v_\alpha^* \\ B_{z\alpha}^* S_M - B_x w_\alpha^* \\ (e_\alpha^* + p_T^*) S_M - B_x (\mathbf{v}_\alpha^* \cdot \mathbf{B}_\alpha^*) \end{pmatrix}$$



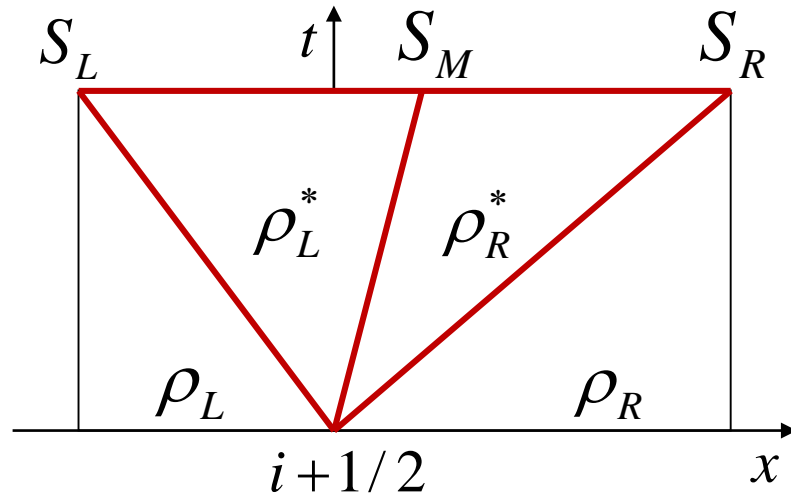
# HLL型近似リーマン解法

## □ HLLD近似リーマン解法 [Miyoshi+, 2005]

■ HLLD解:  $U_\alpha^{**}$

$$\rho_\alpha^{**} = \rho_\alpha^*$$

$$S_R^* = S_M + \frac{|B_x|}{\sqrt{\rho_R^*}}, S_L^* = S_M - \frac{|B_x|}{\sqrt{\rho_L^*}}$$





# HLL型近似リーマン解法

## □ HLLD近似リーマン解法 [Miyoshi+, 2005]

### ■ アルフェン波に対するジャンプ条件

$$\begin{array}{c} \left( \begin{array}{c} \rho_{\alpha}^{**} \\ \rho_{\alpha}^{**} S_M \\ \rho_{\alpha}^{**} S_M^2 + p_T^* - B_x^2 \\ \rho_{\alpha}^{**} v_{\alpha}^{**} \\ \rho_{\alpha}^{**} w_{\alpha}^{**} \\ B_y \alpha^{**} \\ B_z \alpha^{**} \\ e_{\alpha}^{**} \end{array} \right) - \left( \begin{array}{c} \rho_{\alpha}^{**} S_M \\ \rho_{\alpha}^{**} S_M^2 + p_T^* - B_x^2 \\ \rho_{\alpha}^{**} v_{\alpha}^{**} S_M - B_x B_y \alpha^{**} \\ \rho_{\alpha}^{**} w_{\alpha}^{**} S_M - B_x B_z \alpha^{**} \\ B_y \alpha^{**} S_M - B_x v_{\alpha}^{**} \\ B_z \alpha^{**} S_M - B_x w_{\alpha}^{**} \\ (e_{\alpha}^{**} + p_T^*) S_M - B_x (\mathbf{v}_{\alpha}^{**} \cdot \mathbf{B}_{\alpha}^{**}) \end{array} \right) = S_{\alpha}^* \left( \begin{array}{c} \rho_{\alpha}^* \\ \rho_{\alpha}^* S_M \\ \rho_{\alpha}^* v_{\alpha}^* \\ \rho_{\alpha}^* w_{\alpha}^* \\ B_y \alpha^* \\ B_z \alpha^* \\ e_{\alpha}^* \end{array} \right) - \left( \begin{array}{c} \rho_{\alpha}^* S_M \\ \rho_{\alpha}^* S_M^2 + p_T^* - B_x^2 \\ \rho_{\alpha}^* v_{\alpha}^* S_M - B_x B_y \alpha^* \\ \rho_{\alpha}^* w_{\alpha}^* S_M - B_x B_z \alpha^* \\ B_y \alpha^* S_M - B_x v_{\alpha}^* \\ B_z \alpha^* S_M - B_x w_{\alpha}^* \\ (e_{\alpha}^* + p_T^*) S_M - B_x (\mathbf{v}_{\alpha}^* \cdot \mathbf{B}_{\alpha}^*) \end{array} \right) \end{array}$$



# HLL型近似リーマン解法

## □ HLLD近似リーマン解法 [Miyoshi+, 2005]

### ■ アルフェン波に対するジャンプ条件

$$\det(M(\mathbf{v}_{t\alpha}^{**}, \mathbf{B}_{t\alpha}^{**})) = 0$$

### ■ エントロピー波に対するジャンプ条件

$$S_M \begin{pmatrix} \rho_L^* \mathbf{v}_{tL}^{**} \\ \mathbf{B}_{tL}^{**} \end{pmatrix} - \begin{pmatrix} \rho_L^* \mathbf{v}_{tL}^{**} S_M - B_x \mathbf{B}_{tL}^{**} \\ \mathbf{B}_{tL}^{**} S_M - B_x \mathbf{v}_{tL}^{**} \end{pmatrix} = S_M \begin{pmatrix} \rho_R^* \mathbf{v}_{tR}^{**} \\ \mathbf{B}_{tR}^{**} \end{pmatrix} - \begin{pmatrix} \rho_R^* \mathbf{v}_{tR}^{**} S_M - B_x \mathbf{B}_{tR}^{**} \\ \mathbf{B}_{tR}^{**} S_M - B_x \mathbf{v}_{tR}^{**} \end{pmatrix}$$

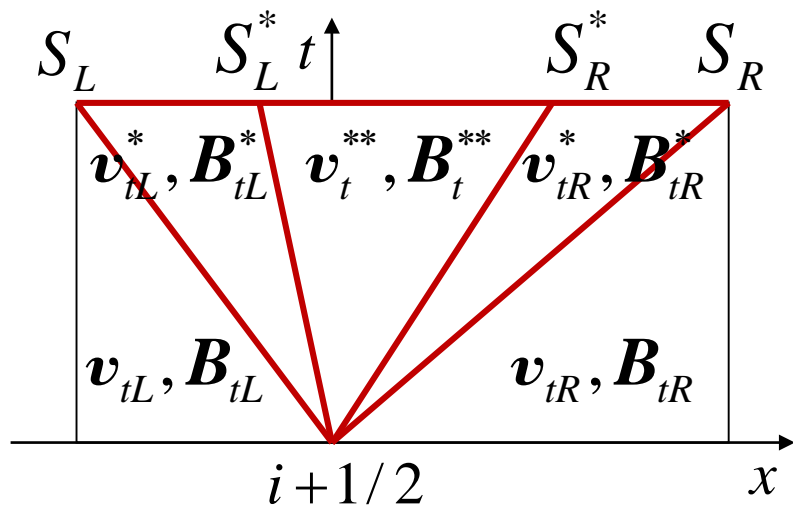
$$\mathbf{v}_{tL}^{**} = \mathbf{v}_{tR}^{**} = \mathbf{v}_t^{**}, \mathbf{B}_{tL}^{**} = \mathbf{B}_{tR}^{**} = \mathbf{B}_t^{**} \quad \text{for } B_x \neq 0$$



# HLL型近似リーマン解法

## □ HLLD近似リーマン解法 [Miyoshi+, 2005]

$$\begin{aligned} & \left( S_R - S_R^* \begin{pmatrix} \rho_R^* \mathbf{v}_{tR}^* \\ \mathbf{B}_{tR}^* \end{pmatrix} + \left( S_R^* - S_M \right) \begin{pmatrix} \rho_R^* \mathbf{v}_t^{**} \\ \mathbf{B}_t^{**} \end{pmatrix} + \left( S_M - S_L^* \right) \begin{pmatrix} \rho_L^* \mathbf{v}_t^{**} \\ \mathbf{B}_t^{**} \end{pmatrix} + \left( S_L^* - S_{RL} \right) \begin{pmatrix} \rho_L^* \mathbf{v}_{tL}^* \\ \mathbf{B}_{tL}^* \end{pmatrix} \right. \\ & \left. + S_R \begin{pmatrix} \rho_R \mathbf{v}_{tR} \\ \mathbf{B}_{tR} \end{pmatrix} - S_L \begin{pmatrix} \rho_L \mathbf{v}_{tL} \\ \mathbf{B}_{tL} \end{pmatrix} + \begin{pmatrix} \rho_R \mathbf{v}_{tR} u_R - B_x \mathbf{B}_{tR} \\ \mathbf{B}_{tR} u_R - B_x \mathbf{v}_{tR} \end{pmatrix} - \begin{pmatrix} \rho_L \mathbf{v}_{tL} u_L - B_x \mathbf{B}_{tL} \\ \mathbf{B}_{tL} u_L - B_x \mathbf{v}_{tL} \end{pmatrix} \right) = 0 \end{aligned}$$





# HLL型近似リーマン解法

## □ HLLD近似リーマン解法 [Miyoshi+,2005]

■ HLLD解:  $U_\alpha^{**}$

$$\rho_\alpha^{**} = \rho_\alpha^*$$

$$\left\{ \begin{array}{l} \boldsymbol{v}_t^{**} = \frac{\sqrt{\rho_L^*} \boldsymbol{v}_{tL}^* + \sqrt{\rho_R^*} \boldsymbol{v}_{tR}^* + (\boldsymbol{B}_{tR}^* - \boldsymbol{B}_{tL}^*) \text{sgn}(B_x)}{\sqrt{\rho_L^*} + \sqrt{\rho_R^*}} \\ \boldsymbol{B}_t^{**} = \frac{\sqrt{\rho_L^*} \boldsymbol{B}_{tR}^* + \sqrt{\rho_R^*} \boldsymbol{B}_{tL}^* + \sqrt{\rho_L^* \rho_R^*} (\boldsymbol{v}_{tR}^* - \boldsymbol{v}_{tL}^*) \text{sgn}(B_x)}{\sqrt{\rho_L^*} + \sqrt{\rho_R^*}} \end{array} \right.$$



# HLL型近似リーマン解法

## □ HLLD近似リーマン解法 [Miyoshi+, 2005]

### ■ アルフェン波に対するジャンプ条件

$$\left( \begin{array}{c} \rho_{\alpha}^{**} \\ \rho_{\alpha}^{**} S_M \\ \rho_{\alpha}^{**} S_M^2 + p_T^* - B_x^2 \\ \rho_{\alpha}^{**} v_{\alpha}^{**} \\ \rho_{\alpha}^{**} w_{\alpha}^{**} \\ B_{y\alpha}^{**} \\ B_{z\alpha}^{**} \\ e_{\alpha}^{**} \end{array} \right) \left( \begin{array}{c} \rho_{\alpha}^{**} S_M \\ \rho_{\alpha}^{**} S_M^2 + p_T^* - B_x^2 \\ \rho_{\alpha}^{**} v_{\alpha}^{**} S_M - B_x B_{y\alpha}^{**} \\ \rho_{\alpha}^{**} w_{\alpha}^{**} S_M - B_x B_{z\alpha}^{**} \\ B_{y\alpha}^{**} S_M - B_x v_{\alpha}^{**} \\ B_{z\alpha}^{**} S_M - B_x w_{\alpha}^{**} \\ \left( e_{\alpha}^{**} + p_T^* \right) S_M - B_x \left( \mathbf{v}_{\alpha}^{**} \cdot \mathbf{B}_{\alpha}^{**} \right) \end{array} \right) = \left( \begin{array}{c} \rho_{\alpha}^* \\ \rho_{\alpha}^* S_M \\ \rho_{\alpha}^* S_M^2 + p_T^* - B_x^2 \\ \rho_{\alpha}^* v_{\alpha}^* \\ \rho_{\alpha}^* w_{\alpha}^* \\ B_{y\alpha}^* \\ B_{z\alpha}^* \\ e_{\alpha}^* \end{array} \right) \left( \begin{array}{c} \rho_{\alpha}^* S_M \\ \rho_{\alpha}^* S_M^2 + p_T^* - B_x^2 \\ \rho_{\alpha}^* v_{\alpha}^* S_M - B_x B_{y\alpha}^* \\ \rho_{\alpha}^* w_{\alpha}^* S_M - B_x B_{z\alpha}^* \\ B_{y\alpha}^* S_M - B_x v_{\alpha}^* \\ B_{z\alpha}^* S_M - B_x w_{\alpha}^* \\ \left( e_{\alpha}^* + p_T^* \right) S_M - B_x \left( \mathbf{v}_{\alpha}^* \cdot \mathbf{B}_{\alpha}^* \right) \end{array} \right)$$



# HLL型近似リーマン解法

## □ HLLD近似リーマン解法 [Miyoshi+, 2005]

■ HLLD解:  $U_\alpha^{**}$

$$\rho_\alpha^{**} = \rho_\alpha^*$$

$$\left\{ \begin{array}{l} \boldsymbol{v}_t^{**} = \frac{\sqrt{\rho_L^*} \boldsymbol{v}_{tL}^* + \sqrt{\rho_R^*} \boldsymbol{v}_{tR}^* + (\boldsymbol{B}_{tR}^* - \boldsymbol{B}_{tL}^*) \text{sgn}(B_x)}{\sqrt{\rho_L^*} + \sqrt{\rho_R^*}} \\ \boldsymbol{B}_t^{**} = \frac{\sqrt{\rho_L^*} \boldsymbol{B}_{tR}^* + \sqrt{\rho_R^*} \boldsymbol{B}_{tL}^* + \sqrt{\rho_L^* \rho_R^*} (\boldsymbol{v}_{tR}^* - \boldsymbol{v}_{tL}^*) \text{sgn}(B_x)}{\sqrt{\rho_L^*} + \sqrt{\rho_R^*}} \end{array} \right.$$

$$e_\alpha^{**} = e_\alpha^* \mp \sqrt{\rho_\alpha^*} (\boldsymbol{v}_\alpha^* \cdot \boldsymbol{B}_\alpha^* - \boldsymbol{v}^{**} \cdot \boldsymbol{B}^{**}) \text{sgn}(B_x) \quad (-: R, +: L)$$

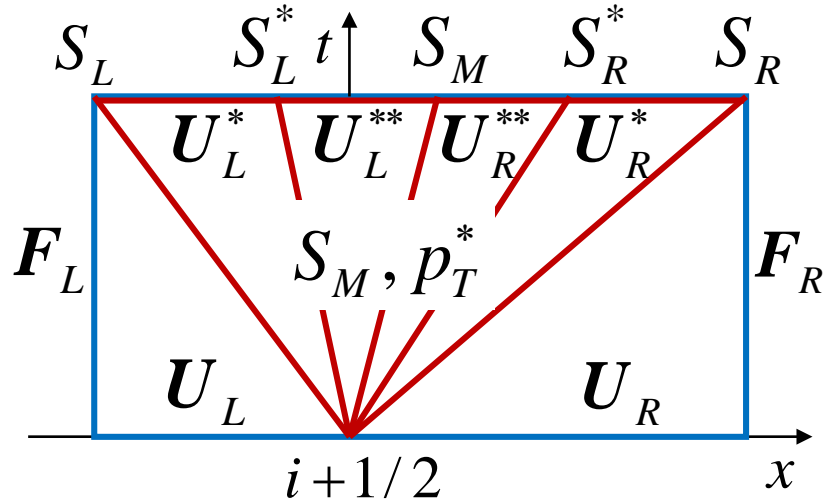


# HLL型近似リーマン解法

## □ HLLD近似リーマン解法 [Miyoshi+, 2005]

### ■ 衝撃波近似

### ■ 5-wave近似



$S_{R,L}^*$  : 速進磁気音波

$S_M$  : エントロピー波

$S_{R,L}^*$  : アルフェン波

$$S_{R,L}(\mathbf{U}_{R,L}^* - \mathbf{U}_{R,L}) = \mathbf{F}_{R,L}^* - \mathbf{F}_{R,L}, \quad S_{R,L}^*(\mathbf{U}_{R,L}^{**} - \mathbf{U}_{R,L}^*) = \mathbf{F}_{R,L}^{**} - \mathbf{F}_{R,L}^*,$$

$$S_M(\mathbf{U}_R^{**} - \mathbf{U}_L^{**}) = \mathbf{F}_R^{**} - \mathbf{F}_L^{**}, \quad \frac{1}{\Delta t} \int_{S_L \Delta t}^{S_R \Delta t} \mathbf{U}(x, t^{n+1}) dx + S_R \mathbf{U}_R - S_L \mathbf{U}_L + \mathbf{F}_R - \mathbf{F}_L = 0$$



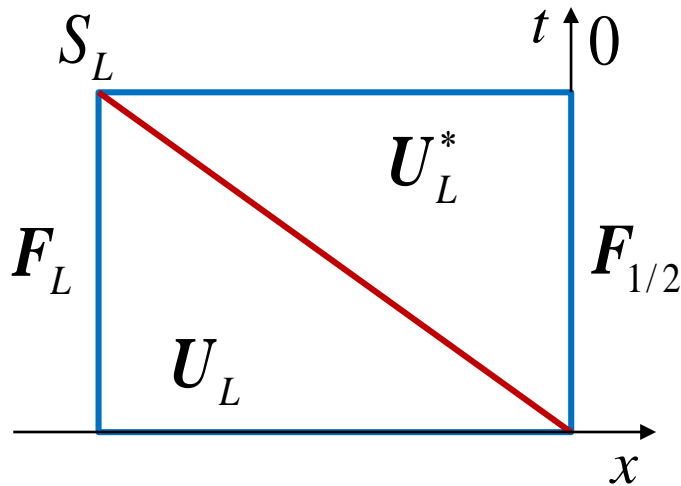
# HLL型近似リーマン解法

## □ HLLD近似リーマン解法 [Miyoshi+, 2005]

### ■ 数値流束

$$F_{1/2} = F_L \quad \text{if } S_L \geq 0$$

$$F_{1/2} = F_L + S_L U_L^* - S_L U_L = F_L^* \quad \text{if } S_L \leq 0 \leq S_L^*$$





# HLL型近似リーマン解法

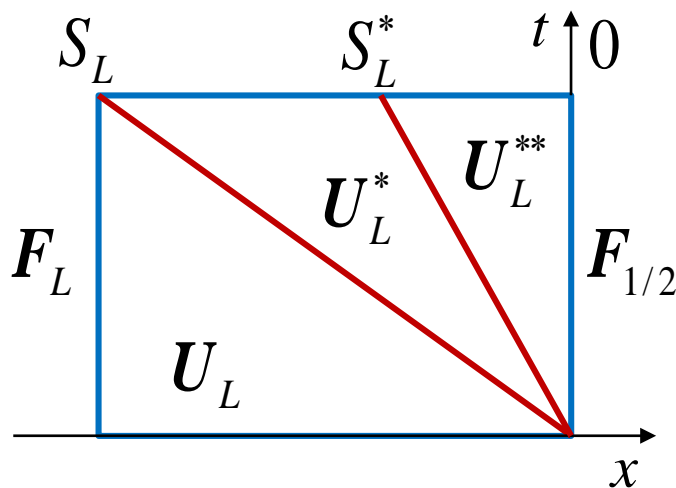
## □ HLLD近似リーマン解法 [Miyoshi+, 2005]

### ■ 数値流束

$$F_{1/2} = F_L \quad \text{if } S_L \geq 0$$

$$F_{1/2} = F_L + S_L U_L^* - S_L U_L = F_L^* \quad \text{if } S_L \leq 0 \leq S_L^*$$

$$\begin{aligned} F_{1/2} &= F_L + S_L^* U_L^{**} - (S_L^* - S_L) U_L^* - S_L U_L \\ &= F_L^* + S_L^* U_L^{**} - S_L^* U_L^* = F_L^{**} \quad \text{if } S_L^* \leq 0 \leq S_M \end{aligned}$$





# HLL型近似リーマン解法

## □ HLLD近似リーマン解法 [Miyoshi+, 2005]

### ■ 数値流束

$$F_{1/2} = \begin{cases} F_L & \text{if } S_L \geq 0 \\ F_L^* & \text{if } S_L \leq 0 \leq S_L^* \\ F_L^{**} & \text{if } S_L^* \leq 0 \leq S_M \\ F_R^{**} & \text{if } S_M \leq 0 \leq S_R^* \\ F_R^* & \text{if } S_R^* \leq 0 \leq S_R \\ F_R & \text{if } S_R \leq 0 \end{cases}$$

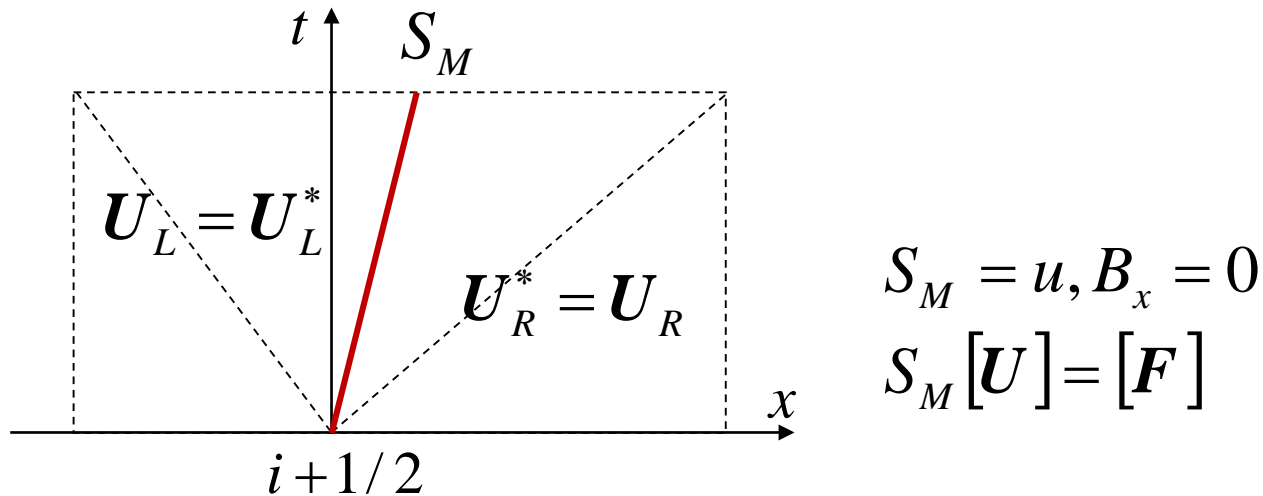
$$F_\alpha^{*/**} = F\left(\rho_\alpha^{*/**}, S_M, \mathbf{v}_{t\alpha}^{*/**}, B_x, B_{t\alpha}^{*/**}, e_\alpha^{*/**}, p_T^*\right)$$



# HLL型近似リーマン解法

## □ HLLD近似リーマン解法 [Miyoshi+, 2005]

### ■ 孤立した接線不連続(TD)の分解

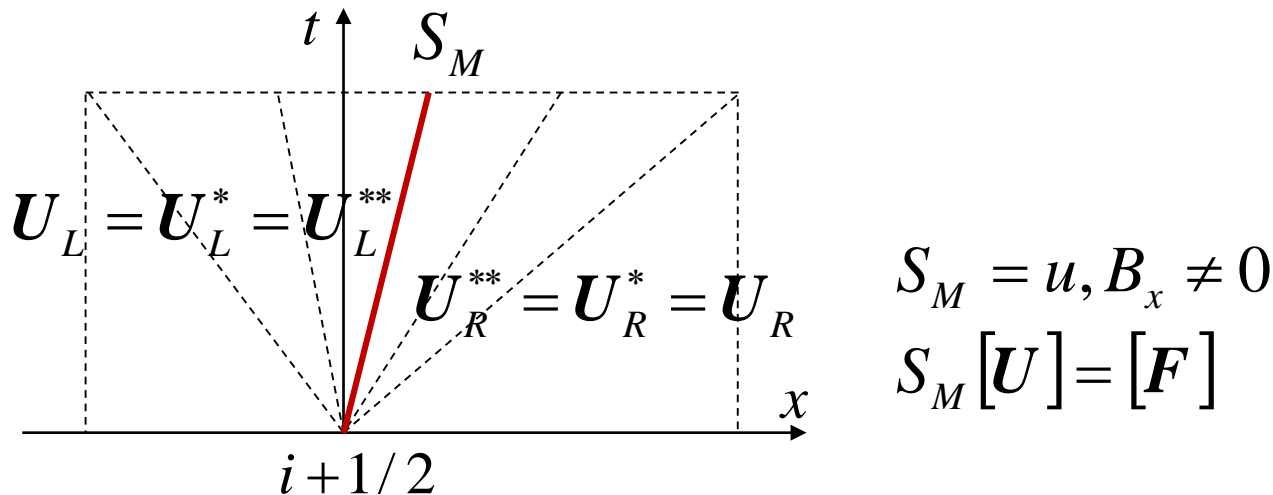




# HLL型近似リーマン解法

## □ HLLD近似リーマン解法 [Miyoshi+, 2005]

- 孤立した接線不連続(TD)の分解
- 孤立した接触不連続(CD)の分解

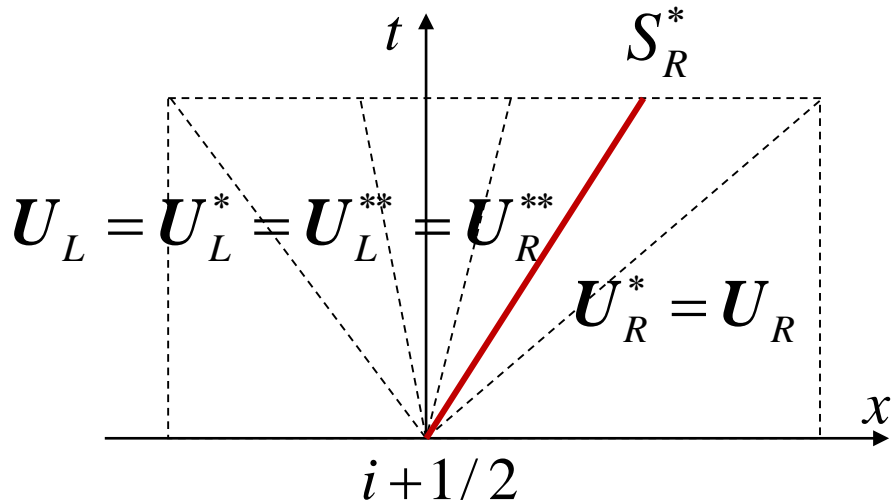




# HLL型近似リーマン解法

## □ HLLD近似リーマン解法 [Miyoshi+, 2005]

- 孤立した接線不連続(TD)の分解
- 孤立した接触不連續(CD)の分解
- 孤立した回転不連続(RD)の分解



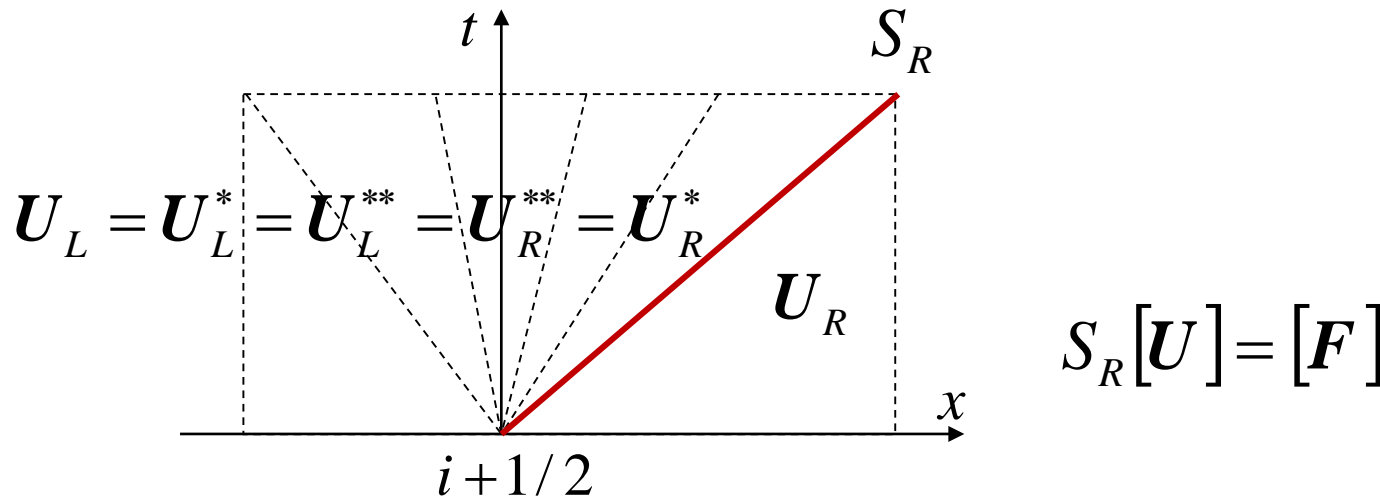
$$S_R^* = u + \frac{B_x}{\sqrt{\rho}}, B_x > 0$$
$$S_R^*[U] = [F]$$



# HLL型近似リーマン解法

## □ HLLD近似リーマン解法 [Miyoshi+, 2005]

- 孤立した接線不連続(TD)の分解
- 孤立した接触不連續(CD)の分解
- 孤立した回転不連続(RD)の分解
- 孤立した速進衝撃波(FS)の分解





# HLL型近似リーマン解法

## □ MHDの正値性 [Janhunen,2000]

### ■ 物理的な解の集合

$$G = \left\{ \mathbf{U} \mid \rho > 0, e - \rho|\mathbf{v}|^2/2 - |\mathbf{B}|^2/2 > 0 \right\}$$

### ■ 物理的な解の重み付き平均値

$$\mathbf{U}_{1,2} \in G \Rightarrow \boxed{\mathbf{U} = (1-\theta)\mathbf{U}_1 + \theta\mathbf{U}_2 \in G} \quad (0 \leq \theta \leq 1)$$

$$\rho = (1-\theta)\rho_1 + \theta\rho_2 > 0$$

$$p = (1-\theta)p_1 + \theta p_2$$

$$+ \theta(1-\theta)(\gamma-1) \left( \frac{|\Delta\mathbf{v}|^2 \rho_1 \rho_2}{\rho} + |\Delta\mathbf{B}|^2 \right) / 2 > 0$$



# HLL型近似リーマン解法

## □ HLLD近似リーマン解法 [Miyoshi+,2005]

### ■ HLLD解の正値性

$$\begin{cases} \rho_\alpha^* > 0 \\ \rho_\alpha^{**} > 0 \\ p_\alpha^* = (\gamma - 1) \left( e_\alpha^* - \rho_\alpha^* |\boldsymbol{v}_\alpha^*|^2 / 2 - |\boldsymbol{B}_\alpha^*|^2 / 2 \right) > 0 \\ p_\alpha^{**} = (\gamma - 1) \left( e_\alpha^{**} - \rho_\alpha^{**} |\boldsymbol{v}_\alpha^{**}|^2 / 2 - |\boldsymbol{B}_\alpha^{**}|^2 / 2 \right) > 0 \end{cases}$$



# HLL型近似リーマン解法

## □ HLLD近似リーマン解法 [Miyoshi+,2005]

$$\xi \equiv S_R - u_R > 0, \eta \equiv S_R - S_M > 0, \varsigma \equiv S_M - u_R$$

### ■ 密度の正値性

$$\rho_R^* = \rho_R^{**} = \frac{\xi}{\eta} \rho_R > 0$$



# HLL型近似リーマン解法

## □ HLLD近似リーマン解法 [Miyoshi+,2005]

$$\xi \equiv S_R - u_R > 0, \eta \equiv S_R - S_M > 0, \zeta \equiv S_M - u_R$$

### ■ 壓力の正値性

$$\varphi \equiv \eta \left( e_R^* - \rho_R^* \left| \mathbf{v}_R^* \right|^2 / 2 - \left| \mathbf{B}_R^* \right|^2 / 2 \right)$$

$$= \frac{\rho_R \xi}{2} \left( 1 - \frac{\left| \mathbf{B}_{tR} \right|^2}{\rho_R \xi \eta - B_x^2} \right) \zeta^2 + p_R \zeta + \frac{p_R \xi}{\gamma - 1}$$

$$\geq \frac{\rho_R \xi}{2} \left( 1 - \frac{\left| \mathbf{B}_{tR} \right|^2}{\rho_R c_{fR}^2 - B_x^2} \right) \zeta^2 + p_R \zeta + \frac{p_R \xi}{\gamma - 1} \equiv \varphi'$$

一生懸命テキストの方に書きました。



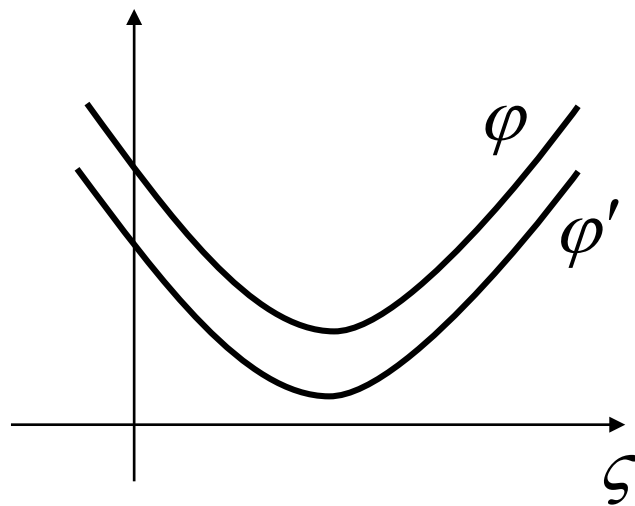
# HLL型近似リーマン解法

## □ HLLD近似リーマン解法 [Miyoshi+,2005]

$$\xi \equiv S_R - u_R > 0, \eta \equiv S_R - S_M > 0, \zeta \equiv S_M - u_R$$

### ■ 圧力の正値性

$$D(\varphi') < 0 \Rightarrow \varphi' > 0$$





# HLL型近似リーマン解法

## □ HLLD近似リーマン解法 [Miyoshi+,2005]

$$\xi \equiv S_R - u_R > 0, \eta \equiv S_R - S_M > 0, \zeta \equiv S_M - u_R$$

### ■ 圧力の正値性

$$D(\varphi') = p_R^2 - \frac{2\rho_R p_R}{\gamma - 1} \left( 1 - \frac{|\mathbf{B}_{tR}|^2}{\rho_R c_{fR}^2 - B_x^2} \right) \xi^2 < 0$$

$$\xi^2 > \frac{(\gamma - 1)p_R}{2\rho_R} \left( 1 - \frac{|\mathbf{B}_{tR}|^2}{\rho_R c_{fR}^2 - B_x^2} \right)^{-1} = \frac{\gamma - 1}{2\gamma} c_{fR}^2$$

$$S_R > u_R + \sqrt{\frac{\gamma - 1}{2\gamma}} c_{fR}$$



# HLL型近似リーマン解法

## □ HLLD近似リーマン解法 [Miyoshi+,2005]

$$\xi \equiv S_R - u_R > 0, \eta \equiv S_R - S_M > 0, \zeta \equiv S_M - u_R$$

### ■ 圧力の正値性

$$p_R^{**} = (\gamma - 1) \left( e_R^{**} - \rho_R^{**} \left| \mathbf{v}_R^{**} \right|^2 / 2 - \left| \mathbf{B}_R^{**} \right|^2 / 2 \right)$$

$$= p_R^* > 0$$

### ■ 正値性保存の条件

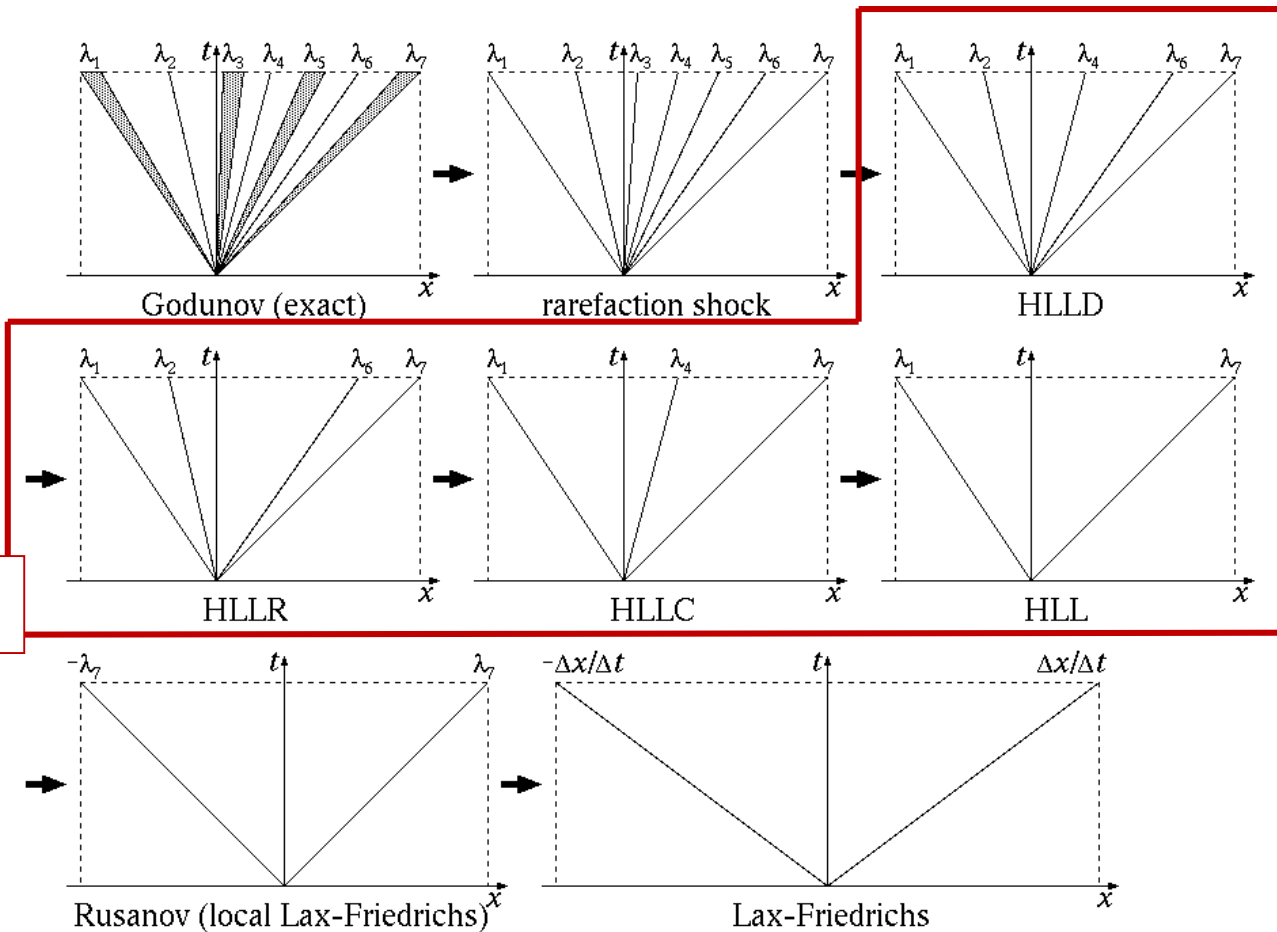
$$S_R > u_R + \sqrt{\frac{\gamma - 1}{2\gamma}} c_{fR}, \quad S_L < u_L - \sqrt{\frac{\gamma - 1}{2\gamma}} c_{fL}$$



# HLL型近似リーマン解法

## □ HLL型近似リーマン解法の階層 [Miyoshi+, 2007]

- HLLD近似解の重み付き平均値
- 正值性保存





# HLL型近似リーマン解法

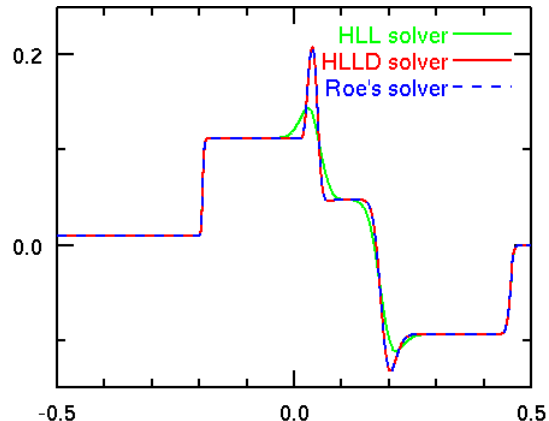
## □ HLLD近似リーマン解法 [Miyoshi+, 2005]

- 固有ベクトルの計算不要
- 正値性保存を保証
- 接線不連続を厳密に分解
- 接触不連続を厳密に分解
- 回転不連続を厳密に分解
- 速進衝撃波を厳密に分解
- 支配方程式に依存

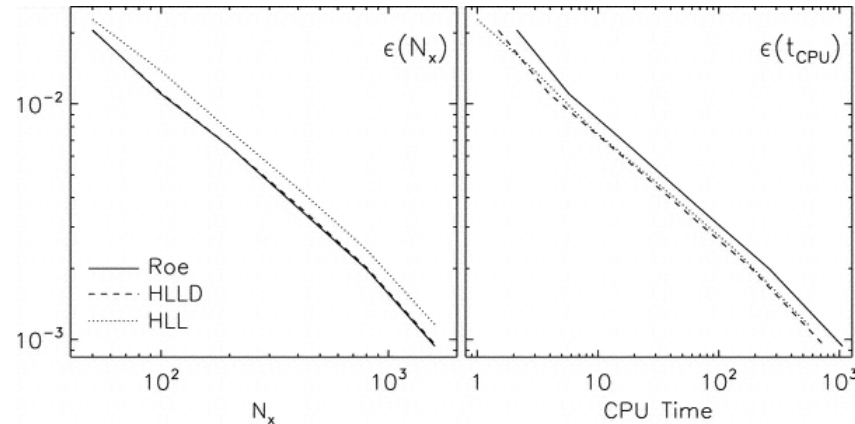


# MHD方程式の近似リーマン解法

## □ 精度・計算速度の比較・検証

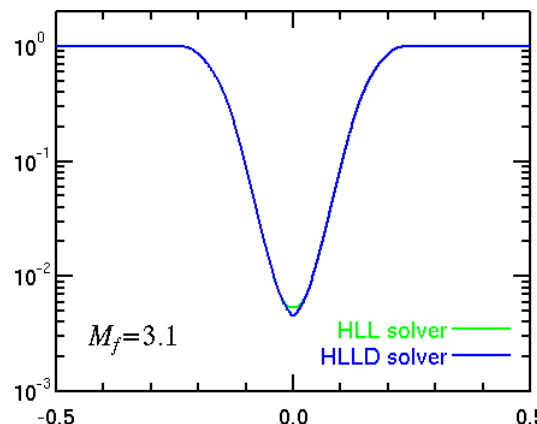
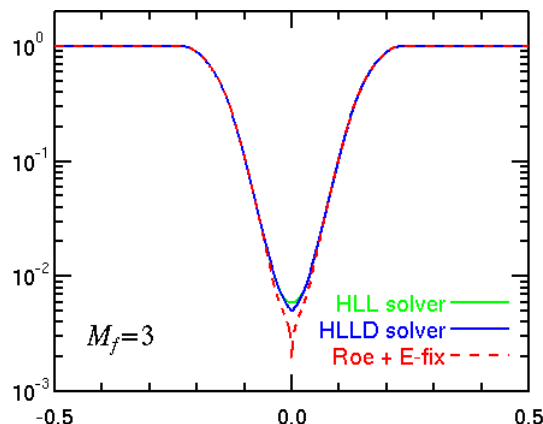


[Miyoshi+, 2005]



[Mignone+, 2007]

## □ ロバスト性の比較・検証



[Miyoshi+, 2007]



# MHD方程式の近似リーマン解法

□ その他の数値実験などは論文を参照してください

[1] Miyoshi, Kusano, JCP **208**, 315 (2005)

[2] Mignone, et al., ApJS **170**, 228 (2007)

[3] Stone, et al., ApJS **178**, 137 (2008)

[4] Kritsuk, et al., ApJ **737**:13 (2011)

Table 2  
Solver Design Specifications for the Eulerian Methods<sup>a</sup>

Name	Base Scheme <sup>b</sup>	Spatial Order <sup>c</sup>	Source Terms <sup>d</sup>	MHD <sup>e</sup>	Time Integration <sup>f</sup>	Directional Splitting <sup>g</sup>
ENZO	FV, HLL	Second	Dedner	Dedner	Second-order RK	Direct
FLASH	FV, HLLD	Second	Derivative	Third-order CT	Forward Euler	⊥ Reconstruction
KT-MHD	FD, CWENO	Third	KT	Third-order CT	Fourth-order RK	Direct
LL-MHD	FV, HLLD	Second	None	Athena CT	Forward Euler	Split
PLUTO	FV, HLLD	Third	Powell	Powell	Fourth-order RK	Direct
PPML	FV, HLLD	Third	None	Athena CT	Forward Euler	⊥ Reconstruction
RAMSES	FV, HLLD	Second	None	2D HLLD CT	Forward Euler	⊥ Reconstruction
STAGGER	FD, Stagger	Sixth	Tensor	Staggered CT	Third-order Hyman	Direct
ZEUS	FD, van Leer	Second	von Neumann	MOC-CT	Forward Euler	Split

Notes.

<sup>a</sup> See Section 3 and the indicated sections on each topic for more information.

<sup>b</sup> Base method. FD for finite difference, FV for finite volume. FV techniques have the Riemann solver listed, Section 6.3.

<sup>c</sup> Spatial order of accuracy, Section 6.1.

<sup>d</sup> Artificial Viscosity, Section 6.2. “|| Derivative” indicates presence of terms proportional to the longitudinal derivative of the magnetic field.

<sup>e</sup> MHD method, Section 6.4.

<sup>f</sup> Time integration method, Section 6.6.3.

<sup>g</sup> Multidimensional technique, Section 6.6.2. “⊥ Reconstruction” indicates presence of transverse derivatives in the interface reconstruction.

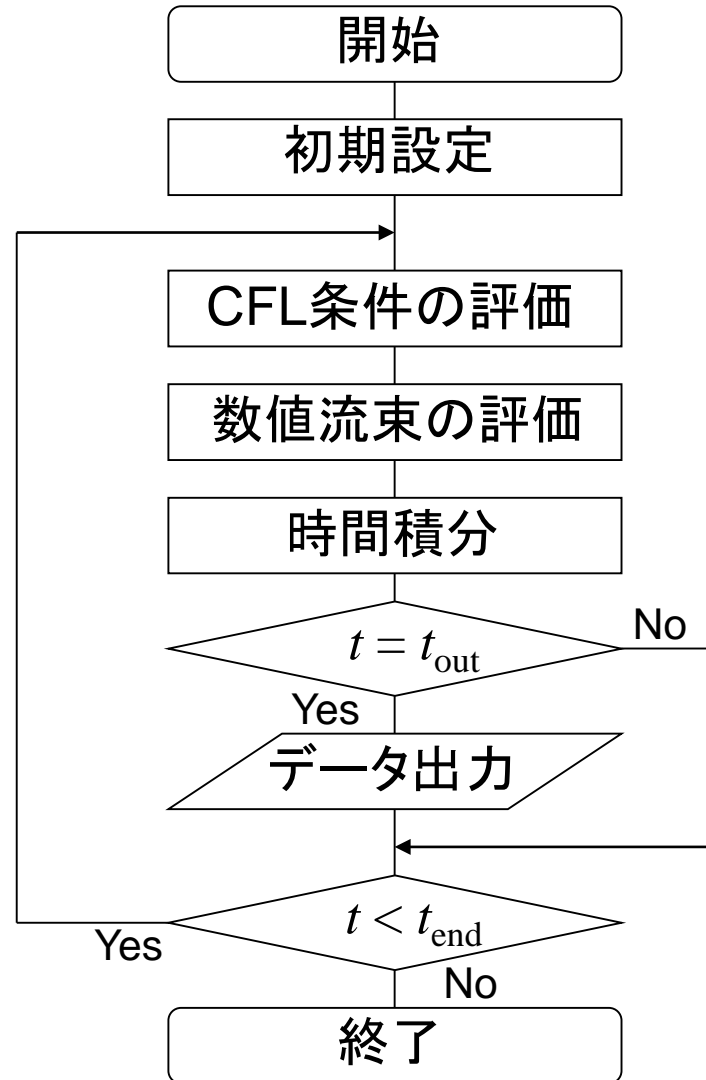


# フローチャート



# フローチャート

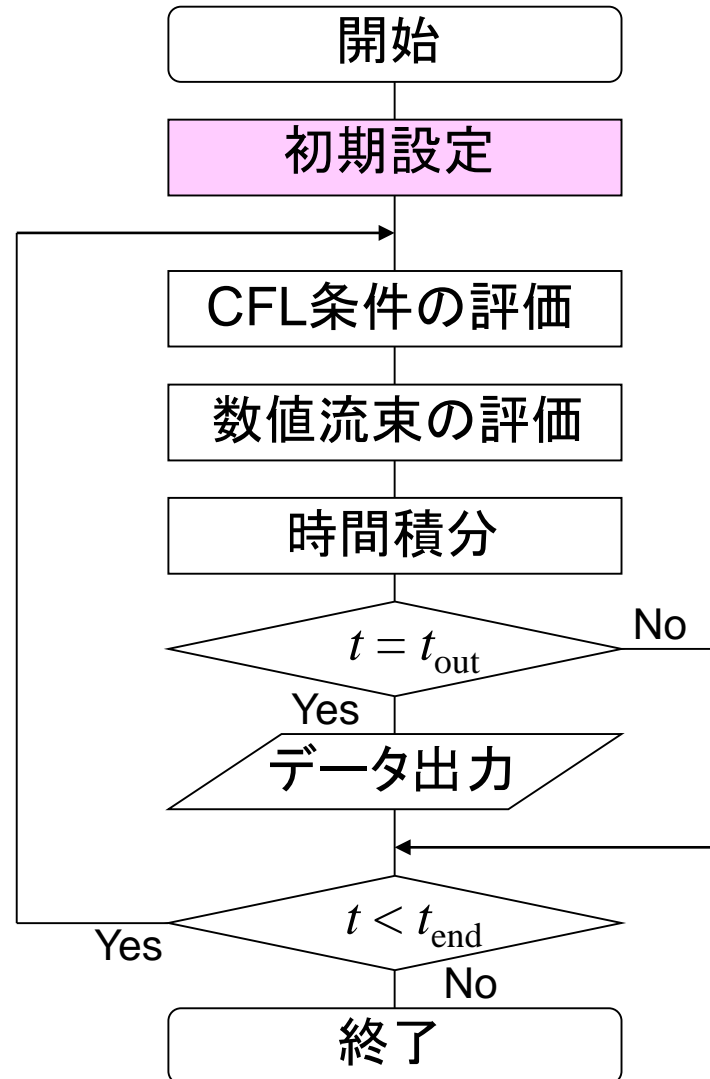
## □ 基本手順





# フローチャート

## □ 基本手順



パラメータ

$$\gamma, \eta, \dots$$

グリッド

$$x_i, \Delta x, \dots$$

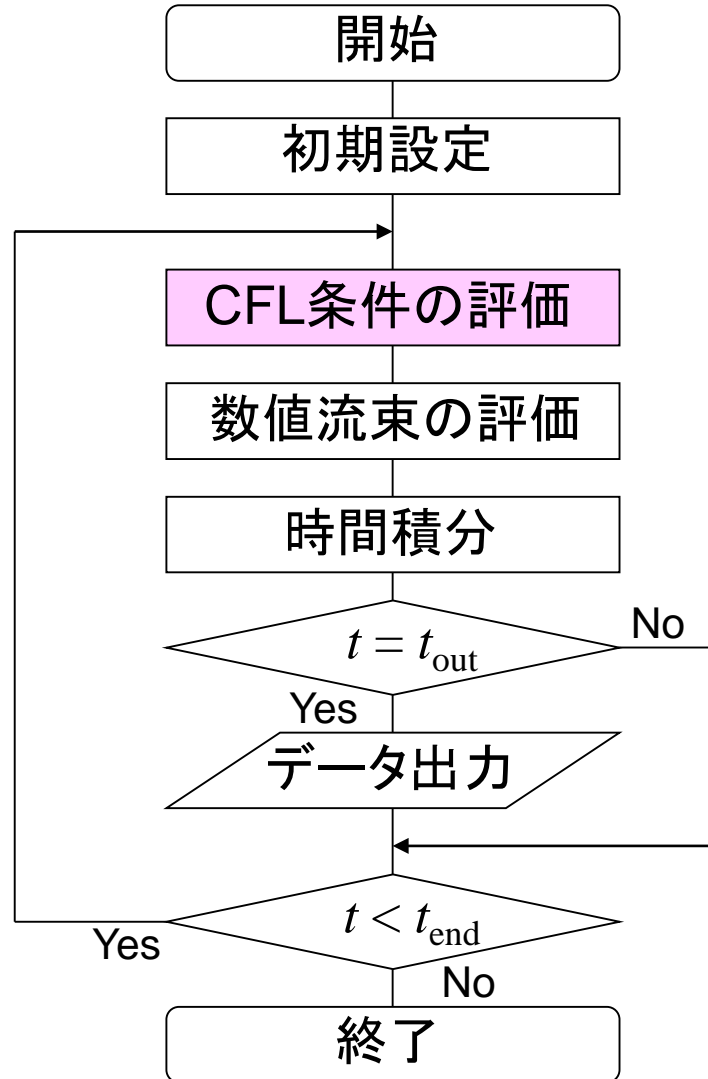
初期条件

$$U(x_i, t=0)$$



# フローチャート

## □ 基本手順



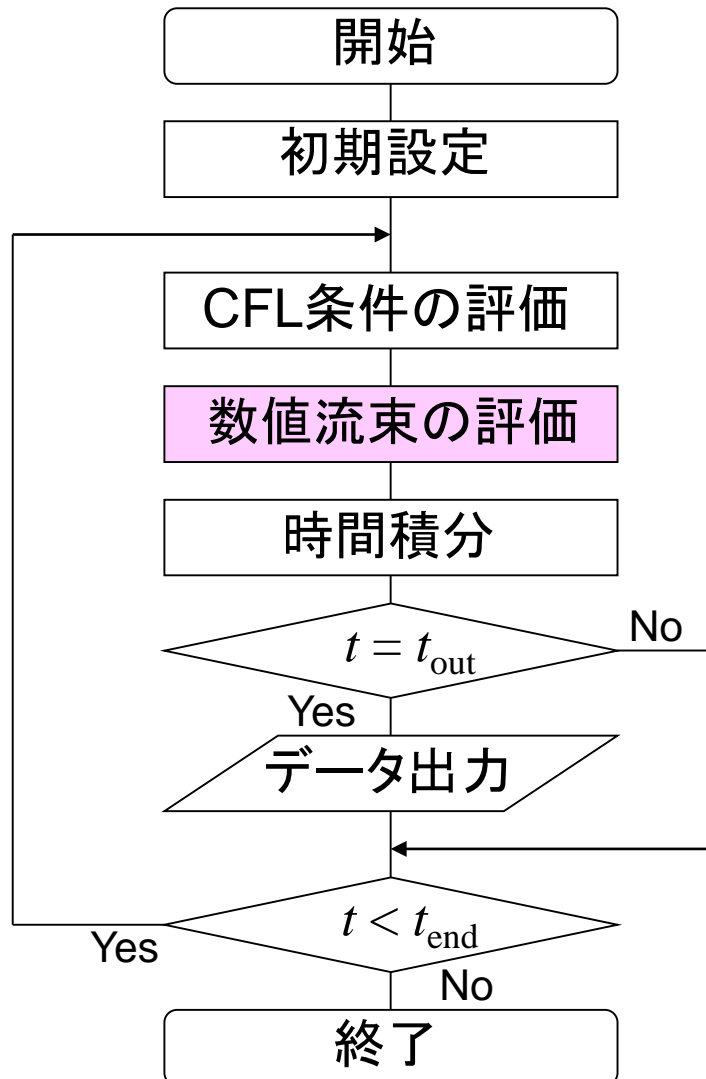
$$\lambda_i = |u_i| + c_{f_i}$$

$$\Delta t = c_{CFL} \frac{\Delta x}{\max \lambda_i}$$



# フローチャート

## □ 基本手順



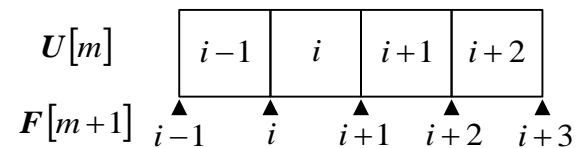
for  $i = 1, \dots, m + 1$

$$\mathbf{U}_L \leftarrow \mathbf{U}_{i-1}$$

$$\mathbf{U}_R \leftarrow \mathbf{U}_i$$

$$\mathbf{F}_{1/2}(\mathbf{U}_L, \mathbf{U}_R)$$

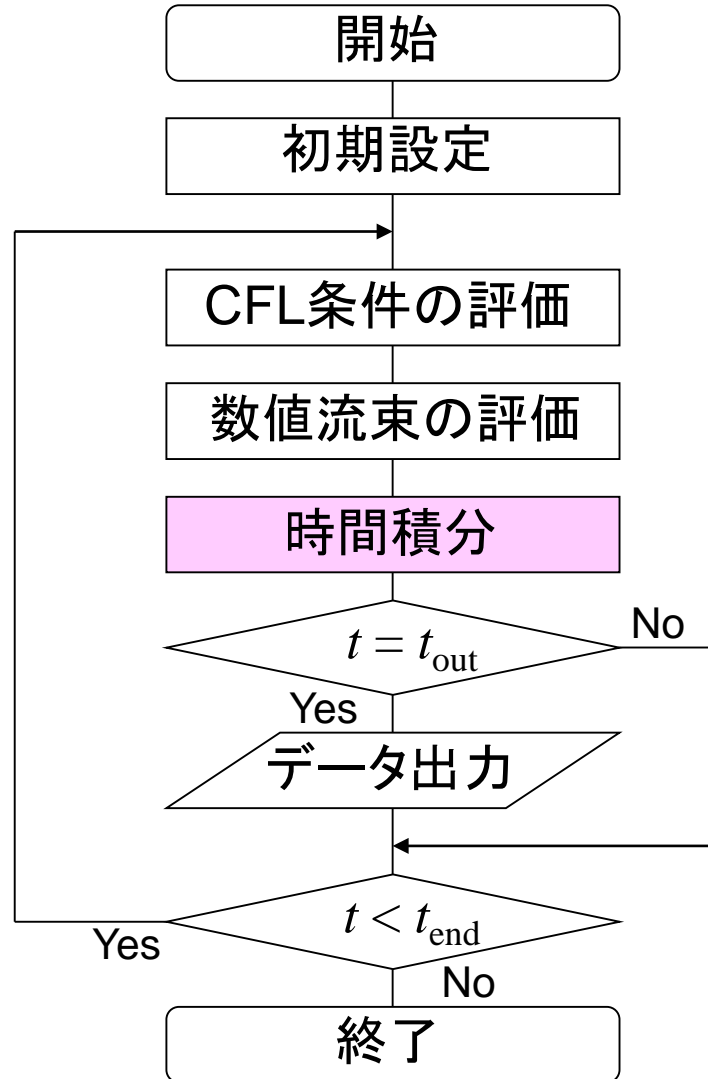
※プログラミングのポイント:  
数値流束のインデックスは  
半整数、配列は整数のみ





# フローチャート

## □ 基本手順



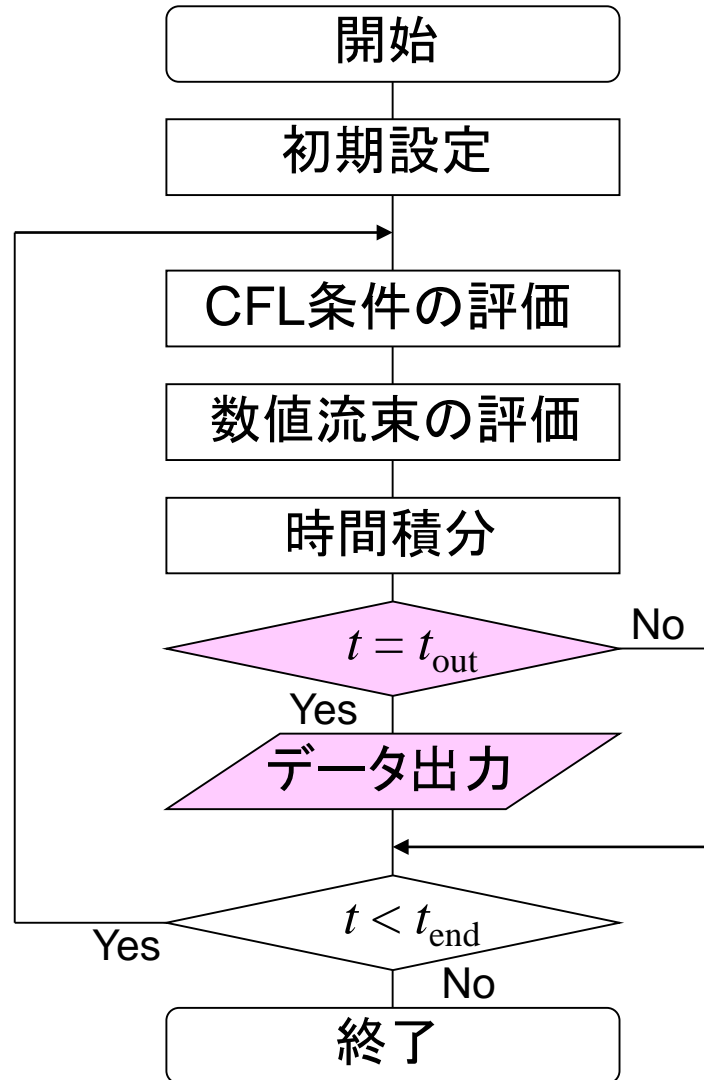
for  $i = 1, \dots, m$

$$\mathbf{U}_i \leftarrow \mathbf{U}_i - \frac{\Delta t}{\Delta x} \Delta \mathbf{F}$$



# フローチャート

## □ 基本手順

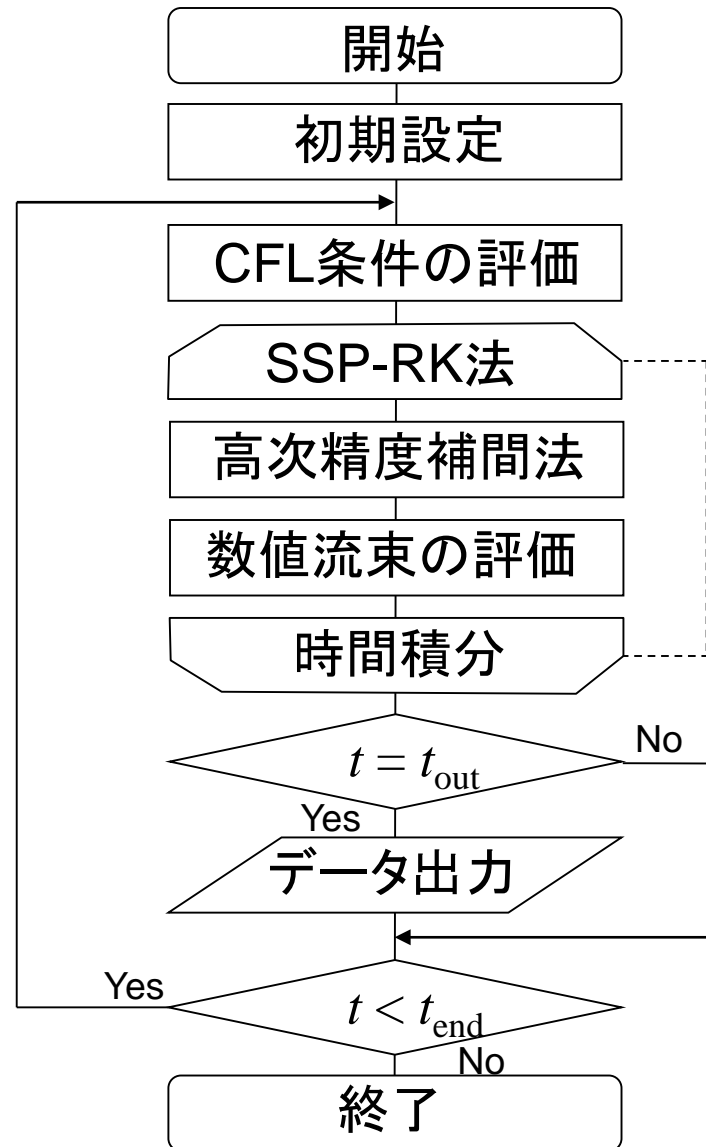


if  $t > t_{\text{out}}$  then  
Data Output  
 $t_{\text{out}} \leftarrow t_{\text{out}} + \Delta t_{\text{out}}$



# フローチャート

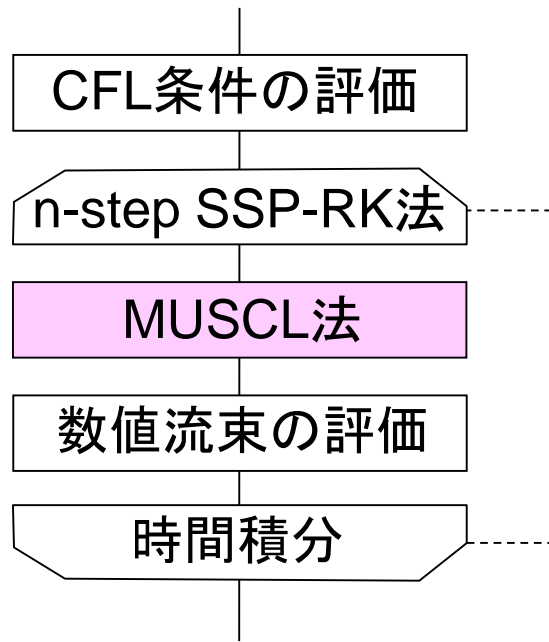
## □ 高次精度化





# フローチャート

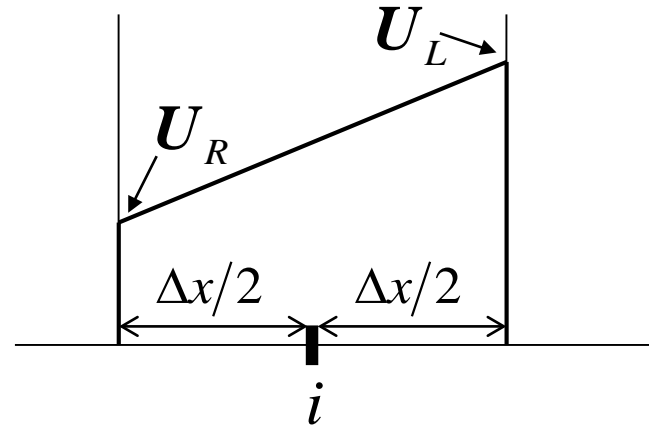
## □ MUSCL法



for  $i = 0, \dots, m + 1$

$$\mathbf{U}_R \leftarrow \mathbf{U}_i - \frac{\Delta x}{2} \text{Lim} \left( \frac{\Delta \mathbf{U}}{\Delta x} \right)$$

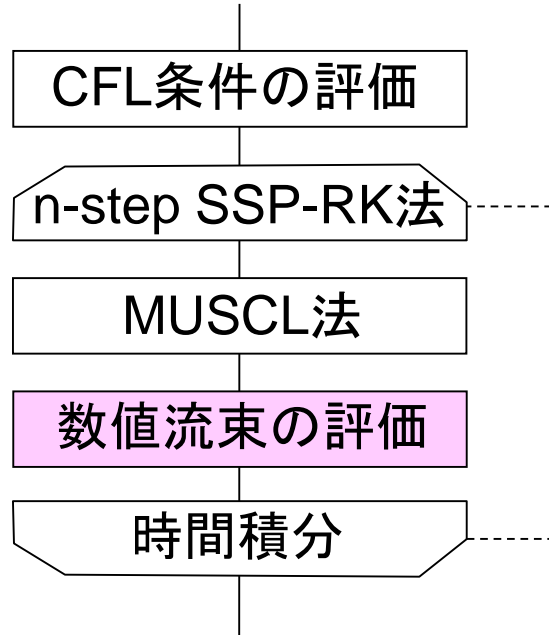
$$\mathbf{U}_L \leftarrow \mathbf{U}_i + \frac{\Delta x}{2} \text{Lim} \left( \frac{\Delta \mathbf{U}}{\Delta x} \right)$$





# フローチャート

## □ MUSCL法



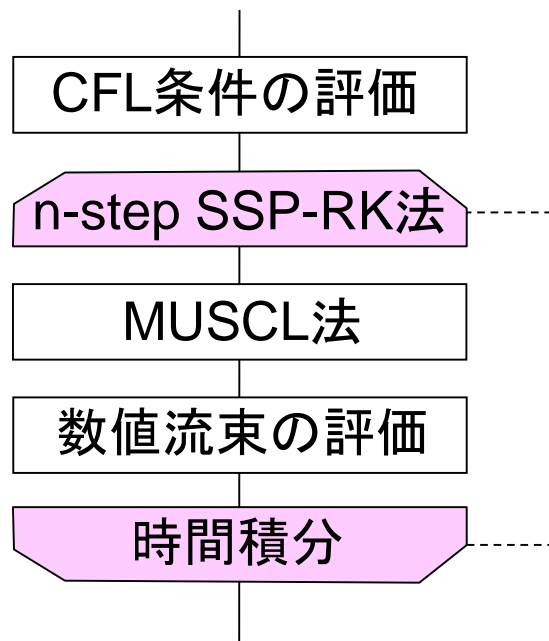
for  $i = 1, \dots, m + 1$

$$F_{1/2}(U_L, U_R)$$



# フローチャート

## □ MUSCL法



(2nd-order SSP(TVD)-RK)

$$\mathbf{U}^{(1)} = \mathbf{U}^n - \frac{\Delta t}{\Delta x} \Delta \mathbf{F}(\mathbf{U}^n)$$

$$\mathbf{U}^{n+1} = \frac{1}{2} \mathbf{U}^n + \frac{1}{2} \mathbf{U}^{(1)} - \frac{1}{2} \frac{\Delta t}{\Delta x} \Delta \mathbf{F}(\mathbf{U}^{(1)})$$

(3rd-order SSP(TVD)-RK)

$$\mathbf{U}^{(1)} = \mathbf{U}^n - \frac{\Delta t}{\Delta x} \Delta \mathbf{F}(\mathbf{U}^n)$$

$$\mathbf{U}^{(2)} = \frac{3}{4} \mathbf{U}^n + \frac{1}{4} \mathbf{U}^{(1)} - \frac{1}{4} \frac{\Delta t}{\Delta x} \Delta \mathbf{F}(\mathbf{U}^{(1)})$$

$$\mathbf{U}^{n+1} = \frac{1}{3} \mathbf{U}^n + \frac{2}{3} \mathbf{U}^{(2)} - \frac{2}{3} \frac{\Delta t}{\Delta x} \Delta \mathbf{F}(\mathbf{U}^{(2)})$$



# フローチャート

- FV-WENO法など変数補間で高次精度化を実現する数値解法は同様のフローチャートです。
  - 数値流束を高次精度補間する数値解法もあります。
  - 補間の実装は結構面倒です。飯島先生よろしく！
- 多次元化では、ざっくりと言って、Split法もUnsplit法も単に1次元の拡張です。
  - ただし、数値的な磁場発散の処理が必要です。これも大変面倒。飯島先生よろしく！



おしまい

お疲れ様でした